

上海碧云天生物技术有限公司
Beyotime Biotech Inc

📍 公司地址：上海市松江区新飞路1500弄松江科技创业中心5号/30号/68号楼

☎ 联系方式：400-1683301或800-8283301

✉ 订货邮件：order@beyotime.com

💬 订货QQ：4001683301

🔧 技术支持：电话4001683301/邮箱 info@beyotime.com

🛒 在线订购：www.beyotime.com



碧云天网站



微信公众号



2023—2024 蛋白相关产品 精选目录

*Serving Life Science
Benefiting Lives*

目录

INDEX

01	蛋白表达与纯化
04	蛋白样品制备
08	蛋白检测
25	一抗
38	二抗
39	抗体制备
40	酶及活性检测
44	多肽
46	重组蛋白
48	蛋白产品引用文献摘选

标注使用碧云天产品 文献总数突破150,000篇!



碧云天由在哈佛大学工作和学习的留学人员创办于2001年。20余年来专注于自主研发和生产。2007年成立上海碧云天生物技术有限公司，为国家级专精特新“小巨人”企业，并进一步入选第二批第一年建议支持的国家级专精特新“小巨人”企业，也是上海市科技小巨人企业、G60科创走廊一类重点扶持企业、上海市高新技术企业和上海市专精特新中小企业。江苏碧云天为江苏省高新技术企业，南通市双创优企。公司主要研发生产生物、医学研究用试剂、试剂盒、消耗品和仪器设备，同时提供生命科学研究的的技术服务和一站式实验仪器设备采购平台。

截止2022年，已有累计超过150000篇注明使用碧云天产品的研究论文发表在包括Cell、Nature、Science等国际高水平学术期刊。Beyotime品牌年度文献引用率国内领先，并跻身全球20强。碧云天将继续致力于科研用技术和产品的研发，用我们最顶尖的技术、最成熟的产品、最热情的服务，服务生命科学，造福人民健康!



灵活的订货方式:

网址: www.beyotime.com
E-mail: order@beyotime.com
QQ: 4001683301
电话: 400-1683301
800-8283301

快速的配送物流:

> 京津冀、江浙沪皖、粤桂黔和湘闽川渝地区: 次日达
> 其它主要大中城市: 隔日达

强大的技术支持:

电话: 400-1683301 QQ: 4001683301
E-mail: info@beyotime.com



碧云天网站



微信公众号

上海碧云天生物技术有限公司
Beyotime Blotech Inc
www.beyotime.com

蛋白表达与纯化

原核蛋白表达

产品编号	产品名称	产品包装	产品价格
D2006	pUCm-T 载体	20 次	279 元
D2902	pET-N-His-C-His	1μg/100μg	888/1169 元
D2905	pET-N-His-TEV	1μg/100μg	888/1169 元
D2908	pET-N-His-Thrombin-C-His	1μg/100μg	888/1169 元
D2911	pET-N-GST-Thrombin-C-His	1μg/100μg	888/1169 元
D2916	pET-N-GST-PreScission	1μg/100μg	888/1169 元
D2931	pET-Dual-N-GST	1μg/100μg	888/1169 元
D2933	pET-Dual-N-GST-PreScission	1μg/100μg	888/1169 元
ST098	IPTG	1g/5g/20g/100g	78/366/1098/4060 元
ST101	Kanamycin	1g	48 元
ST102	Kanamycin (10mg/ml,1000X)	5ml	78 元
ST156	BeyoPure™ LB Broth (premixed powder)	10 瓶共 5 升	91 元
ST158	BeyoPure™ LB Broth with Agar (premixed powder)	10 瓶共 5 升	123 元
ST800	Tryptone/胰蛋白胨	500g	452 元
ST802	BeyoPure™ Tryptone/BeyoPure™胰蛋白胨	500g	365 元
ST968	Yeast extract/酵母膏	500g	212 元
ST969	BeyoPure™ Yeast Extract/BeyoPure™酵母膏	500g	171 元

蛋白纯化

产品编号	产品名称	产品包装	产品价格
P2027	Protein G Agarose (Fast Flow, 5ml)预装柱	1 个	1319 元
P2028	Protein A+G Agarose (Fast Flow, 1ml)预装柱	1 个	405 元
P2029	Protein A+G Agarose (Fast Flow, 5ml)预装柱	1 个	1385 元
P2210	BeyoGold™ His-tag Purification Resin (耐还原螯合型)	10ml	249 元
P2218	BeyoGold™ His-tag Purification Resin (耐还原螯合型)	100ml	1933 元
P2220	BeyoGold™ His-tag Purification Resin (耐还原螯合型)	1000ml	15403 元
P2221	BeyoGold™ His-tag Purification Resin (Fast Flow, 耐还原螯合型)	10ml/100ml/1000ml	263/2018/16258 元
P2226	His 标签蛋白纯化试剂盒(耐还原螯合型)	10ml	421 元
P2229S	His 标签蛋白纯化试剂盒(耐变性剂型)	10ml	462 元
P2233	BeyoGold™ His-tag Purification Resin (耐变性剂型)	10ml/100ml/1000ml	243/1870/15043 元
P2236	BeyoGold™ His-tag Purification Resin (Fast Flow,耐变性剂型)	10ml/100ml/1000ml	269/2058/16668 元
P2250	BeyoGold™ GST-tag Purification Resin	1ml	65 元
P2251	BeyoGold™GST-tag Purification Resin	10ml	386 元
P2253	BeyoGold™ GST-tag Purification Resin	100ml	3076 元
P2255	BeyoGold™ GST-tag Purification Resin	1000ml	24551 元
P2262	GST 标签蛋白纯化试剂盒	10ml	651 元
P2006	Protein A Agarose (Fast Flow, 进口分装)	2ml	497 元
P2009	Protein G Agarose (Fast Flow, 进口分装)	2ml	550 元
P2012	Protein A+G Agarose (Fast Flow, 进口分装)	2ml	552 元
P2015	Protein A Agarose (Fast Flow, 抗体纯化用)	2ml/10ml/50ml/200ml	140/591/2507/7029 元
P2017	Protein G Agarose (Fast Flow, 抗体纯化用)	2ml/10ml/50ml/200ml	150/645/23677483/元
P2019	Protein A+G Agarose (Fast Flow, 抗体纯化用)	2ml/10ml/50ml/200ml	152/650/2693/7539 元

蛋白纯化

产品编号	产品名称	产品包装	产品价格
P2051	Protein A Agarose (Fast Flow, for IP)	2ml/10ml/50ml	153/656/2788 元
P2053	Protein G Agarose (Fast Flow, for IP)	2ml/10ml/50ml	168/718/2970 元
P2055	Protein A+G Agarose (Fast Flow, for IP)	2ml/10ml/50ml	169/722/2992 元
P2106	BeyoMag™ Protein G Plus 磁珠	1ml/5ml	381/1542 元
P2115	BeyoMag™ Anti-Flag Magnetic Beads (Anti-Flag 磁珠)	0.5ml/2ml	828/2609 元
P2118	BeyoMag™ Anti-Myc Magnetic Beads (Anti-Myc 磁珠)	0.5ml/2ml/10ml	828/2693/9322 元
P2121	BeyoMag™ Anti-HA Magnetic Beads (Anti-HA 磁珠)	0.5ml/2ml	827/2482 元
P2132	BeyoMag™ Anti-GFP Magnetic Beads (Anti-GFP 磁珠)	0.5ml/2ml	825/2482 元
P2135	BeyoMag™ Anti-His Magnetic Beads (Anti-His 磁珠)	0.5ml/2ml	827/2607 元
P2138	BeyoMag™ Anti-GST Magnetic Beads (Anti-GST 磁珠)	0.5ml/2ml	828/2485 元
P2141	BeyoMag™ Anti-V5 Magnetic Beads (Anti-V5 磁珠)	0.5ml/2ml	845/2712 元
P2151	BeyoMag™ Streptavidin Magnetic Beads (链霉亲和素磁珠)	200µl/1ml/5ml	196/785/2899 元
P2171	BeyoMag™ Mouse IgG Magnetic Beads (小鼠 IgG 磁珠)	1ml/5ml	621/2267 元
P2173	BeyoMag™ Rabbit IgG Magnetic Beads (兔 IgG 磁珠)	1ml/5ml	621/2267 元
P2175	免疫沉淀试剂盒(Protein A 磁珠法)	20-100 次/100-500 次	796/2681 元
P2177	免疫沉淀试剂盒(Protein G 磁珠法)	20-100 次/100-500 次	796/2681 元
P2179	免疫沉淀试剂盒(Protein A+G 磁珠法)	20-100 次/100-500 次	796/2681 元
P2181	Flag 标签蛋白免疫沉淀试剂盒(磁珠法)	20-100 次	1023 元
P2183	Myc 标签蛋白免疫沉淀试剂盒(磁珠法)	20-100 次/100-500 次	1035/3831 元
P2185	HA 标签蛋白免疫沉淀试剂盒(磁珠法)	20-100 次/100-500 次	1032/3800 元
P2187	V5 标签蛋白免疫沉淀试剂盒(磁珠法)	20-100 次/100-500 次	1046/3893 元
P2193	免疫沉淀试剂盒(Protein A 琼脂糖凝胶法)	20 次/100 次	699/2289 元
P2195	免疫沉淀试剂盒(Protein G 琼脂糖凝胶法)	20 次/100 次	699/2289 元
P2197	免疫沉淀试剂盒(Protein A+G 琼脂糖凝胶法)	20 次/100 次	733/2398 元
P2202	Flag 标签蛋白免疫沉淀试剂盒(琼脂糖凝胶法)	20 次/100 次	817/3106 元
P2204	Myc 标签蛋白免疫沉淀试剂盒(琼脂糖凝胶法)	20 次/100 次	817/3106 元
P2206	HA 标签蛋白免疫沉淀试剂盒(琼脂糖凝胶法)	20 次/100 次	817/3106 元
P2208	V5 标签蛋白免疫沉淀试剂盒(琼脂糖凝胶法)	20 次/100 次	817/3106 元
P2271	Anti-Flag Affinity Gel (Anti-Flag 亲和凝胶)	0.5ml/2ml/10ml	955/2868/11262 元
P2282	Anti-Flag Affinity Gel (Anti-Flag 亲和凝胶)	0.5ml/2ml/10ml	599/1798/5999 元
P2285	Anti-Myc Affinity Gel (Anti-Myc 亲和凝胶)	0.5ml/2ml/10ml	621/1863/6215 元
P2287	Anti-HA Affinity Gel (Anti-HA 亲和凝胶)	0.5ml/2ml/10ml	621/1863/6215 元
P2289	Anti-V5 Affinity Gel (Anti-V5 亲和凝胶)	0.5ml/2ml/10ml	621/1863/6215 元
P2302	PreScission Protease	100U	177 元
P2303	PreScission Protease	500U	692 元
P2307	TEV Protease (His-tag)	1000U	213 元
P2308	TEV Protease (His-tag)	10000U	1477 元
P2310	TEV Protease (GST/His-tag)	1000U/10000U	257/1759 元
P2312	SUMO Protease	200U/1000U/5000U	205/827/3282 元
P2314	重组 SENPEUH 蛋白酶(His-tag)	500U/2KU/10KU	321/968/3668 元
P9801	3X Flag Peptide (3X Flag 多肽)	5mg/ml×0.2ml /5mg/ml×1ml/25mg	208/658/2089 元
P9805	c-Myc Peptide (Myc 标签多肽)	5mg/ml×0.2ml /5mg/ml×1ml/25mg	196/620/2070 元

蛋白纯化

产品编号	产品名称	产品包装	产品价格
P9808	HA Peptide (HA 多肽)	5mg/ml×0.2ml /5mg/ml×1ml/25mg	203/621/2071 元
P9811	6X His Peptide (6X His 多肽)	5mg/ml×0.2ml /5mg/ml×1ml/25mg	182/617/2068 元
P9813	V5 Tag Peptide (V5 Tag 多肽)	5mg/ml×0.2ml /5mg/ml×1ml/25mg	185/617/2070 元
P9816	S Tag Peptide (S Tag 多肽)	5mg/ml×0.2ml /5mg/ml×1ml/25mg	185/617/2068 元
P9819	T7 Tag Peptide (T7 Tag 多肽)	5mg/ml×0.2ml /5mg/ml×1ml/25mg	183/618/2069 元
P9822	VSV-G Tag Peptide (VSV-G Tag 多肽)	5mg/ml×0.2ml /5mg/ml×1ml/25mg	186/609/2060 元
FCL01	亲和层析柱空柱管(1 毫升)	20 套/包	103 元/包
FCL03	亲和层析柱空柱管(3 毫升)	20 套/包	98 元/包
FCL06	亲和层析柱空柱管(6 毫升)	20 套/包	103 元/包
FCL12	亲和层析柱空柱管(12 毫升)	20 套/包	148 元/包
FCL30	亲和层析柱空柱管(30 毫升)	10 套/包	212 元/包
FCL60	亲和层析柱空柱管(60 毫升)	10 套/包	257 元/包
FCL108	离心空柱管(2 毫升, 5 微米孔径)	50 套/包	75 元/包
FCL122	离心空柱管(2 毫升, 20 微米孔径)	50 套/包	78 元/包
FUF051	超滤管(0.5ml, 10kDa MWCO, PES, Sartorius 分装)	5 个/袋 25 个/袋	227/977 元袋
FUF051	超滤管(0.5ml, 10kDa MWCO, PES, Sartorius 原装)	100 个/盒	3318 元/盒
FUF053	超滤管(0.5ml, 30kDa MWCO, PES, Sartorius 分装)	5 个/袋 25 个/袋	228/980 元/袋
FUF053	超滤管(0.5ml, 30kDa MWCO, PES, Sartorius 原装)	100 个/盒	3320 元/盒
FUF058	超滤管(0.5ml, 100kDa MWCO, PES, Sartorius 分装)	5 个/袋 25 个/袋	229/980 元/袋
FUF058	超滤管(0.5ml, 100kDa MWCO, PES, Sartorius 原装)	100 个/盒	3321 元/盒
FUF151	超滤管(15ml, 10kDa MWCO, PES, Sartorius 分装)	2 个/袋 12 个/袋	307/1571.0 元/袋
FUF151	超滤管(15ml, 10kDa MWCO, PES, Sartorius 原装)	48 个/盒	5325 元/盒
FUF153	超滤管(15ml, 30kDa MWCO, PES, Sartorius 分装)	2 个/袋 12 个/袋	309/1571.0 元/袋
FUF153-	超滤管(15ml, 30kDa MWCO, PES, Sartorius 原装)	48 个/盒	5328 元/盒
FUF158	超滤管(15ml, 100kDa MWCO, PES, Sartorius 分装)	2 个/袋 12 个/袋	310/1571.0 元/袋
FUF158	超滤管(15ml, 100kDa MWCO, PES, Sartorius 原装)	48 个/盒	5330 元/盒

裂解及蛋白抽提

产品编号	产品名称	产品包装	产品价格
P0013	Western 及 IP 细胞裂解液	100ml	189 元
P0013B	RIPA 裂解液(强)	100ml	209 元
P0013C	RIPA 裂解液(中)	100ml	209 元
P0013D	RIPA 裂解液(弱)	100ml	209 元
P0013E	RIPA 裂解液(强中弱套装)	共 150ml	281 元
P0013F	NP-40 裂解液	100ml	211 元
P0013G	SDS 裂解液	100ml	211 元
P0013J	Western 及 IP 细胞裂解液(无抑制剂)	100ml	131 元
P0013K	RIPA 裂解液(强, 无抑制剂)	100ml	152 元
P0013M	BeyoLytic™哺乳动物活性蛋白抽提试剂	100ml	258 元
P0013Q	BeyoLytic™细菌活性蛋白抽提试剂	100ml/500ml	196/686 元
P0013S	BeyoLytic™昆虫活性蛋白抽提试剂	100ml	298 元
P0027	细胞核蛋白与细胞浆蛋白抽提试剂盒	50 次	525 元
P0028	细胞核蛋白与细胞浆蛋白抽提试剂盒	100 次	879 元
P0033	细胞膜蛋白与细胞浆蛋白提取试剂盒	100 次	700 元
P0043	植物 Western 及 IP 细胞裂解液	100ml	198 元
P0045	植物 RIPA 裂解液(强)	100ml	218 元
ST206	Lysozyme/溶菌酶(>20KU/mg)	0.5g	40 元
C3601	细胞线粒体分离试剂盒	50-100 次	453 元
C3606	组织线粒体分离试剂盒	50-100 次	455 元
C3702	红细胞裂解液	120ml/500ml	82/260 元
D7121	BeyoZonase™超级核酸酶(≥99%)	5KU/25KU/100 KU 500KU/2000KU	81/309/1035/4142/14088 元
D7126	BeyoZonase™超级核酸酶(≥99%, with His-tag)	5KU/25KU/100 KU 500KU/2000KU	81/309/1035/4142/14088 元
P1005	蛋白酶抑制剂混合物(通用型, 100X)	1ml	307 元
P1006	蛋白酶抑制剂混合物(通用型, 100X)	5ml	1220 元
P1008	蛋白酶抑制剂混合物(通用型, 质谱兼容, 50X)	1ml	497 元
P1009	蛋白酶抑制剂混合物(通用型, 质谱兼容, 50X)	5ml	1991 元
P1010	蛋白酶抑制剂混合物(哺乳动物样品抽提用, 100X)	1ml	328 元
P1011	蛋白酶抑制剂混合物(哺乳动物样品抽提用, 100X)	5ml	1307 元
P1015	蛋白酶抑制剂混合物(植物样品抽提用, 100X)	1ml	428 元
P1016	蛋白酶抑制剂混合物(植物样品抽提用, 100X)	5ml	1715 元
P1020	蛋白酶抑制剂混合物(真菌或酵母抽提用, 100X)	1ml	303 元
P1021	蛋白酶抑制剂混合物(真菌或酵母抽提用, 100X)	5ml	1217 元
P1025	蛋白酶抑制剂混合物(细菌抽提用, 100X)	1ml	185 元
P1026	蛋白酶抑制剂混合物(细菌抽提用, 100X)	5ml	736 元
P1030	蛋白酶抑制剂混合物(His-Tag 蛋白纯化用, 100X)	1ml	337 元
P1031	蛋白酶抑制剂混合物(His-Tag 蛋白纯化用, 100X)	5ml	1350 元
P1081	磷酸酶抑制剂混合物 A (50X)	2ml	42 元
P1082	磷酸酶抑制剂混合物 A (50X)	10ml	175 元
P1086	磷酸酶抑制剂混合物 B (50X)	2ml	46 元
P1087	磷酸酶抑制剂混合物 B (50X)	10ml	178 元
P1091	磷酸酶抑制剂混合物 C (50X)	2ml	145 元
P1092	磷酸酶抑制剂混合物 C (50X)	10ml	581 元
P1096	磷酸酶抑制剂混合物 D (50X)	2ml	295 元

蛋白样品制备

裂解及蛋白抽提

产品编号	产品名称	产品包装	产品价格
P1097	磷酸酶抑制剂混合物 D (50X)	10ml	1176 元
P1112	去乙酰化酶抑制剂混合物(100X)	1ml	182 元
P1113	去乙酰化酶抑制剂混合物(100X)	5ml	722 元
R0121	AllProtect™动物组织核酸、蛋白稳定保存液	25ml/100ml	351/1131 元
S3090	细胞与组织裂解液(一氧化氮检测用)	100ml	227 元
ST506	PMSF (100mM)	10ml	112 元

蛋白酶抑制剂

产品编号	产品名称	产品包装	产品价格
P1005	蛋白酶抑制剂混合物(通用型, 100X)	1ml	307 元
P1006	蛋白酶抑制剂混合物(通用型, 100X)	5ml	1220 元
P1008	蛋白酶抑制剂混合物(通用型, 质谱兼容, 50X)	1ml	497 元
P1009	蛋白酶抑制剂混合物(通用型, 质谱兼容, 50X)	5ml	1991 元
P1010	蛋白酶抑制剂混合物(哺乳动物样品抽提用, 100X)	1ml	328 元
P1011	蛋白酶抑制剂混合物(哺乳动物样品抽提用, 100X)	5ml	1307 元
P1015	蛋白酶抑制剂混合物(植物样品抽提用, 100X)	1ml	428 元
P1016	蛋白酶抑制剂混合物(植物样品抽提用, 100X)	5ml	1715 元
P1020	蛋白酶抑制剂混合物(真菌或酵母抽提用, 100X)	1ml	303 元
P1021	蛋白酶抑制剂混合物(真菌或酵母抽提用, 100X)	5ml	1217 元
P1025	蛋白酶抑制剂混合物(细菌抽提用, 100X)	1ml	185 元
P1026	蛋白酶抑制剂混合物(细菌抽提用, 100X)	5ml	736 元
P1030	蛋白酶抑制剂混合物(His-Tag 蛋白纯化用, 100X)	1ml	337 元
P1031	蛋白酶抑制剂混合物(His-Tag 蛋白纯化用, 100X)	5ml	1350 元
P1045	蛋白酶磷酸酶抑制剂混合物(通用型 , 50X)	各 2ml	338 元
P1046	蛋白酶磷酸酶抑制剂混合物(通用型, 50X)	各 10ml	1350 元
P1048	蛋白酶磷酸酶抑制剂混合物(通用型, 质谱兼容, 50X)	各 1ml	535 元
P1049	蛋白酶磷酸酶抑制剂混合物(通用型, 质谱兼容, 50X)	各 5ml	2120 元
P1050	蛋白酶磷酸酶抑制剂混合物(哺乳动物样品抽提用, 50X)	各 2ml	358 元
P1051	蛋白酶磷酸酶抑制剂混合物(哺乳动物样品抽提用, 50X)	各 10ml	1429 元
P1055	蛋白酶磷酸酶抑制剂混合物(植物样品抽提用, 50X)	各 2ml	461 元
P1056	蛋白酶磷酸酶抑制剂混合物(植物样品抽提用, 50X)	各 10ml	1845 元
P1060	蛋白酶磷酸酶抑制剂混合物(真菌或酵母抽提用, 50X)	各 2ml	337 元
P1061	蛋白酶磷酸酶抑制剂混合物(真菌或酵母抽提用, 50X)	各 10ml	1350 元
P1065	蛋白酶磷酸酶抑制剂混合物(细菌抽提用, 50X)	各 2ml	215 元
P1066	蛋白酶磷酸酶抑制剂混合物(细菌抽提用, 50X)	各 10ml	865 元
SG2000	AEBSF (丝氨酸蛋白酶抑制剂)	10mM×0.2ml /5ml/25ml/100mg	130/97/207/548 元
SG2004	Aprotinin (丝氨酸蛋白酶抑制剂)	10mM×0.2ml /5ml/25ml/100mg	218/109/439/1539 元
SG2008	Bestatin (氨肽酶抑制剂)	10mM×0.2ml /5ml/25ml/100mg	130/97/173/317 元
SG2012	Leupeptin (丝氨酸/半胱氨酸蛋白酶抑制剂)	10mM×0.2ml /5ml/25ml/100mg	427/405/1528/4071 元
SG2016	Pepstatin A (天冬氨酸蛋白酶抑制剂)	10mM×0.2ml /5ml/25ml/100mg	229/218/770/2200 元

蛋白样品制备

蛋白酶抑制剂

产品编号	产品名称	产品包装	产品价格
SG2020	1,10-Phenanthrolin (金属蛋白酶抑制剂)	2g/10g	106/240 元
SG2024	Phosphoramidon (金属蛋白酶抑制剂)	10mM×0.2ml/5mg	468/1586 元
SG2031	大豆胰蛋白酶凝乳蛋白酶抑制剂(BioReagent)	50mg/200mg/1g	163/443/1521 元
SG2033	大豆胰蛋白酶抑制剂(BioPlus)	50mg/200mg/1g	203/558/1935 元
SG2036	大豆胰蛋白酶凝乳蛋白酶抑制剂(BioPremium)	10mg/50mg/200mg/1g	189/659/1832/6215 元
C1202	Caspase 抑制剂 Z-VAD-FMK	20mM×0.02ml /20mM×0.1ml/5mg	372/725/1792 元
C1206	Caspase 3 抑制剂 Ac-DEVD-CHO	10mM×0.1ml/5mg	476/2847 元
ST505	PMSF	1g	135 元
ST506	PMSF (100mM)	10ml	112 元
ST507	PMSF Solution (100mM)	10ml	122 元
ST2573	PMSF (≥98.5%, Reagent grade)	5g/25g/100g	258/698/1868 元

磷酸酶抑制剂

产品编号	产品名称	产品包装	产品价格
P1081	磷酸酶抑制剂混合物 A (50X)	2ml	42 元
P1082	磷酸酶抑制剂混合物 A (50X)	10ml	175 元
P1086	磷酸酶抑制剂混合物 B (50X)	2ml	46 元
P1087	磷酸酶抑制剂混合物 B (50X)	10ml	178 元
P1091	磷酸酶抑制剂混合物 C (50X)	2ml	145 元
P1092	磷酸酶抑制剂混合物 C (50X)	10ml	581 元
P1096	磷酸酶抑制剂混合物 D (50X)	2ml	295 元
P1097	磷酸酶抑制剂混合物 D (50X)	10ml	1176 元
ST019	(-)-p-Bromotetramisole oxalate (碱性磷酸酶抑制剂)	10mM×0.2ml/5mg /25mg/100mg	339/317/1189/3620 元
ST637	β-Glycerophosphate (磷酸酶抑制剂)	2g/10g	240/879 元
ST640	Sodium pyrophosphate (磷酸酶抑制剂)	2g/10g/50g	29/65/257 元
P1045	蛋白酶磷酸酶抑制剂混合物(通用型 , 50X)	各 2ml	338 元
P1046	蛋白酶磷酸酶抑制剂混合物(通用型, 50X)	各 10ml	1350 元
P1048	蛋白酶磷酸酶抑制剂混合物(通用型, 质谱兼容, 50X)	各 1ml	535 元
P1049	蛋白酶磷酸酶抑制剂混合物(通用型, 质谱兼容, 50X)	各 5ml	2120 元
P1050	蛋白酶磷酸酶抑制剂混合物(哺乳动物样品抽提用, 50X)	各 2ml	358 元
P1051	蛋白酶磷酸酶抑制剂混合物(哺乳动物样品抽提用, 50X)	各 10ml	1429 元
P1055	蛋白酶磷酸酶抑制剂混合物(植物样品抽提用, 50X)	各 2ml	461 元
P1056	蛋白酶磷酸酶抑制剂混合物(植物样品抽提用, 50X)	各 10ml	1845 元
P1060	蛋白酶磷酸酶抑制剂混合物(真菌或酵母抽提用, 50X)	各 2ml	337 元
P1061	蛋白酶磷酸酶抑制剂混合物(真菌或酵母抽提用, 50X)	各 10ml	1350 元
P1065	蛋白酶磷酸酶抑制剂混合物(细菌抽提用, 50X)	各 2ml	215 元
P1066	蛋白酶磷酸酶抑制剂混合物(细菌抽提用, 50X)	各 10ml	865 元

蛋白修饰酶抑制剂

产品编号	产品名称	产品包装	产品价格
P1112	去乙酰化酶抑制剂混合物(100X)	1ml	182 元
P1113	去乙酰化酶抑制剂混合物(100X)	5ml	722 元



蛋白修饰酶抑制剂

产品编号	产品名称	产品包装	产品价格
S1748	MG-132 (Proteasome 抑制剂)	20mg/ml×0.05ml /5mg/25mg	325/415/1461 元
SC0263	Bortzeomib (PS-341) (Proteasome 抑制剂)	10mM×0.2ml/5mg	126/392/1506 元
SF4157	Carfilzomib (proteasome 抑制剂)	10mM×0.2ml/5mg /25mg	393/910/2180 元
SG0002	ML323 (DUB 抑制剂)	10mM×0.2ml/5mg /25mg	179/779/3171 元
SG0020	b-AP15 (DUB 抑制剂)	10mM×0.2ml/5mg /25mg	141//347/1130 元

蛋白检测

蛋白定量

产品编号	产品名称	产品包装	产品价格
P0006	Bradford 蛋白浓度测定试剂盒	1000 次	120 元
P0006C	Bradford 蛋白浓度测定试剂盒(去垢剂兼容型)	800 次	390 元
P0007	蛋白标准(5mg/ml BSA)	1ml	23.50 元
P0009	BCA 蛋白浓度测定试剂盒(增强型)	5000 次	1726 元
P0010	BCA 蛋白浓度测定试剂盒(增强型)	500 次	375 元
P0010S	BCA 蛋白浓度测定试剂盒(增强型)	200 次	196 元
P0011	BCA 蛋白浓度测定试剂盒	5000 次	1592 元
P0012	BCA 蛋白浓度测定试剂盒	500 次	329 元
P0012S	BCA 蛋白浓度测定试剂盒	200 次	172 元
ST030	Coomassie brilliant blue G250	5g	109 元
ST031	Coomassie brilliant blue R250	5g	93 元
ST1119	考马斯亮蓝 G250 (Reagent grade)	1g/5g/25g	38/95/296 元
ST1123	考马斯亮蓝 R250 (Reagent grade)	1g/5g/25g	38/95/296 元

蛋白电泳

产品编号	产品名称	产品包装	产品价格
P0012A	SDS-PAGE 凝胶配制试剂盒	可制 30-50 块胶	163 元
P0012AC	SDS-PAGE 凝胶快速配制试剂盒	可制 30-50 块胶	171 元
P0014A/B	SDS-PAGE 电泳液(Tris-Gly, Powder)	1L/10L	32/235 元
P0014A	SDS-PAGE 电泳液(Tris-Gly, Powder, 袋装)	2L/10L/50L	53/203/858 元
P0014C/D	SDS-PAGE 电泳液(Tris-Gly, 10X)	100ml/500ml	36/141 元
P0014F/G	非变性 PAGE 电泳液(Tris-Gly, Powder)	1L/10L	36/251 元
P0015	SDS-PAGE 蛋白上样缓冲液(5X)	2ml	37 元
P0015A	SDS-PAGE 蛋白上样缓冲液(1X)	10ml	37 元
P0015B	SDS-PAGE 蛋白上样缓冲液(2X)	5ml	38 元
P0015F	SDS-PAGE 蛋白上样缓冲液(6X)	2ml	50 元
P0015L	SDS-PAGE 蛋白上样缓冲液(5X)	15ml	161 元
P0016	非变性 PAGE 蛋白上样缓冲液(5X)	2ml	50 元
P0016N	非变性非还原性蛋白上样缓冲液(5X)	2ml	50 元
P0017	考马斯亮蓝快速染色液	250ml	140 元
P0017A	考马斯亮蓝染色试剂盒(常规法)	1 盒	135 元
P0017B	考马斯亮蓝染色液(常规法)	250ml	120 元
P0017C	考马斯亮蓝染色脱色液(常规法)	500ml	81 元
P0017F	BeyoBlue™考马斯亮蓝超快染色液	250ml	185 元
P0017S	快速银染试剂盒	25 次	548 元
P0280	InstantView™ SDS-PAGE 蛋白染色及上样缓冲液(5X)	1ml	295 元
P0281S	InstantView™ SDS-PAGE 蛋白染色及上样缓冲液(5X, 无气味)	1ml	319 元
P0283	红色 SDS-PAGE 蛋白上样缓冲液(5X)	2ml/15ml	33/151 元
P0285	双色 SDS-PAGE 蛋白上样缓冲液(5X)	2ml/15ml	40/175 元
P0286	SDS-PAGE 蛋白上样缓冲液(5X, 无气味)	2ml/15ml	40/176 元
P0287	SDS-PAGE 蛋白上样缓冲液(1X, 无气味)	10ml	41 元
P0288	SDS-PAGE 蛋白上样缓冲液(2X, 无气味)	5ml	42 元
P0289	SDS-PAGE 蛋白上样缓冲液(6X, 无气味)	2ml	55 元
P0292	非变性 PAGE 蛋白上样缓冲液(5X, 无气味)	2ml	55 元

蛋白电泳

产品编号	产品名称	产品包装	产品价格
P0295	双色 SDS-PAGE 蛋白上样缓冲液(5X, 无气味)	2ml/15ml	48/203 元
P0296	双色 SDS-PAGE 蛋白上样缓冲液(1X, 无气味)	10ml	50 元
P0297	双色 SDS-PAGE 蛋白上样缓冲液(2X, 无气味)	5ml	51 元
P0298	双色 SDS-PAGE 蛋白上样缓冲液(6X, 无气味)	2ml	67 元
P0299	双色非变性 PAGE 蛋白上样缓冲液(5X, 无气味)	2ml	67 元
P0552	BeyoGel™ Plus SDS-PAGE Hepes 电泳液(20X)	100ml/500ml	36/143 元
P0556	BeyoGel™ Plus Native-PAGE Hepes 电泳液(20X)	100ml/500ml	36/143 元
P0561	SDS-PAGE 快速电泳液(Tris-Gly, 20X)	100ml/500ml	79/286 元
P0562	SDS-PAGE 快速电泳液(Tris-Gly, Powder)	1L/10L	36/261 元
P0670	10% SDS-PAGE 下层胶预混液	250ml/500ml	133/238 元
P0672	12% SDS-PAGE 下层胶预混液	250ml/500ml	133/238 元
P0675	15% SDS-PAGE 下层胶预混液	250ml/500ml	133/238 元
P0676	6% SDS-PAGE 下层胶预混液	250ml/500ml	133/238 元
P0678	8% SDS-PAGE 下层胶预混液	250ml/500ml	133/238 元
P0683	SDS-PAGE 上层胶预混液	250ml/500ml	133/238 元
P0686	6% SDS-PAGE 凝胶超快速配制试剂盒	可制 30-50 块胶	196 元
P0688	8% SDS-PAGE 凝胶超快速配制试剂盒	可制 30-50 块胶	196 元
P0690	10% SDS-PAGE 凝胶超快速配制试剂盒	可制 30-50 块胶	196 元
P0692	12% SDS-PAGE 凝胶超快速配制试剂盒	可制 30-50 块胶	196 元
P0695	15% SDS-PAGE 凝胶超快速配制试剂盒	可制 30-50 块胶	196 元
P0701	PAGE 上层胶蓝色染料(500X)	0.2ml/1ml	27/103 元
P0705	PAGE 上层胶红色染料(500X)	0.2ml/1ml	27/103 元
P0712	PAGE 上层胶红色染料(500X, 无迁移)	0.2ml/1ml	26/103 元
P0060	蛋白质分子量标准(10-150kD, 非预染)	1ml/200μl	45/179 元
P0061	蛋白质分子量标准(14.4-116kD, 非预染)	200μl	97 元
P0062	蛋白质分子量标准(14.4-116kD, 非预染)	1ml	309 元
P0063	Protein Ladder (10-200kD, 非预染)	100μl	172 元
P0066	预染蛋白质分子量标准(19-117kD)	200μl	227 元
P0067	预染蛋白质分子量标准(19-117kD)	1ml	938 元
P0068	彩色预染蛋白质分子量标准(10-180kD)	200μl	369 元
P0069	彩色预染蛋白质分子量标准(10-180kD)	600μl	992 元
P0071	BeyoColor™彩色预染蛋白分子量标准(6.5-270kD)	200μl	327 元
P0072	BeyoColor™彩色预染蛋白分子量标准(6.5-270kD)	600μl	887 元
P0075	BeyoColor™彩色预染蛋白分子量标准(10-170kD)	200μl	195 元
P0076	BeyoColor™彩色预染蛋白分子量标准(10-170kD)	600μl	492 元
P0077	BeyoColor™彩色预染蛋白分子量标准(10-170kD)	3ml	2081 元
P0078	BeyoColor™彩色预染蛋白分子量标准(15-120kD)	200μl	135 元
P0079	BeyoColor™彩色预染蛋白分子量标准(15-120kD)	600μl	339 元
P0080	BeyoColor™彩色预染蛋白分子量标准(15-120kD)	3ml	1430 元
P0050	BeyoGel™ SDS-PAGE 预制胶(Tris-Gly, 6%, 12 孔)	10 块/50 块	225/982 元
P0051	BeyoGel™ SDS-PAGE 预制胶(Tris-Gly, 8%, 12 孔)	10 块/50 块	225/982 元
P0052	BeyoGel™ SDS-PAGE 预制胶(Tris-Gly, 10%, 12 孔)	10 块/50 块	225/982 元
P0053	BeyoGel™ SDS-PAGE 预制胶(Tris-Gly, 12%, 12 孔)	10 块/50 块	225/982 元
P0055	BeyoGel™ SDS-PAGE 预制胶(Tris-Gly, 15%, 12 孔)	10 块/50 块	225/982 元
P0056	BeyoGel™ SDS-PAGE 预制胶(Tris-Gly, 4-12%, 12 孔)	10 块/50 块	225/982 元

蛋白电泳

产品编号	产品名称	产品包装	产品价格
P0057	BeyoGel™ SDS-PAGE 预制胶(Tris-Gly, 4-20%, 12 孔)	10 块/50 块	225/982 元
P0058	BeyoGel™ SDS-PAGE 预制胶(Tris-Gly, 8-16%, 12 孔)	10 块/50 块	225/982 元
P0448	BeyoGel™ Plus PAGE 预制胶(Tris-Gly, 6%, 10 孔)	10 块/50 块	263/1166 元
P0449	BeyoGel™ Plus PAGE 预制胶(Tris-Gly, 6%, 15 孔)	10 块/50 块	263/1166 元
P0451	BeyoGel™ Plus PAGE 预制胶(Tris-Gly, 8%, 10 孔)	10 块/50 块	263/1166 元
P0452	BeyoGel™ Plus PAGE 预制胶(Tris-Gly, 8%, 15 孔)	10 块/50 块	263/1166 元
P0455	BeyoGel™ Plus PAGE 预制胶(Tris-Gly, 10%, 10 孔)	10 块/50 块	263/1166 元
P0456	BeyoGel™ Plus PAGE 预制胶(Tris-Gly, 10%, 15 孔)	10 块/50 块	263/1166 元
P0458	BeyoGel™ Plus PAGE 预制胶(Tris-Gly, 12%, 10 孔)	10 块/50 块	263/1166 元
P0459	BeyoGel™ Plus PAGE 预制胶(Tris-Gly, 12%, 15 孔)	10 块/50 块	263/1166 元
P0461	BeyoGel™ Plus PAGE 预制胶(Tris-Gly, 15%, 10 孔)	10 块/50 块	263/1166 元
P0462	BeyoGel™ Plus PAGE 预制胶(Tris-Gly, 15%, 15 孔)	10 块/50 块	263/1166 元
P0465	BeyoGel™ Plus PAGE 预制胶(Tris-Gly, 4-15%, 10 孔)	10 块/50 块	263/1166 元
P0466	BeyoGel™ Plus PAGE 预制胶(Tris-Gly, 4-15%, 15 孔)	10 块/50 块	263/1166 元
P0468	BeyoGel™ Plus PAGE 预制胶(Tris-Gly, 4-20%, 10 孔)	10 块/50 块	263/1166 元
P0469	BeyoGel™ Plus PAGE 预制胶(Tris-Gly, 4-20%, 15 孔)	10 块/50 块	263/1166 元
P0471	BeyoGel™ Plus PAGE 预制胶(Tris-Gly, 8-20%, 10 孔)	10 块/50 块	263/1166 元
P0472	BeyoGel™ Plus PAGE 预制胶(Tris-Gly, 8-20%, 15 孔)	10 块/50 块	263/1166 元
P0501	BeyoGel™ Plus PAGE 预制胶(Hepes, 6%, 10 孔)	10 块/50 块	326/1471 元
P0502	BeyoGel™ Plus PAGE 预制胶(Hepes, 6%, 15 孔)	10 块/50 块	326/1471 元
P0505	BeyoGel™ Plus PAGE 预制胶(Hepes, 8%, 10 孔)	10 块/50 块	326/1471 元
P0506	BeyoGel™ Plus PAGE 预制胶(Hepes, 8%, 15 孔)	10 块/50 块	326/1471 元
P0508	BeyoGel™ Plus PAGE 预制胶(Hepes, 10%, 10 孔)	10 块/50 块	326/1471 元
P0509	BeyoGel™ Plus PAGE 预制胶(Hepes, 10%, 15 孔)	10 块/50 块	326/1471 元
P0511	BeyoGel™ Plus PAGE 预制胶(Hepes, 12%, 10 孔)	10 块/50 块	326/1471 元
P0512	BeyoGel™ Plus PAGE 预制胶(Hepes, 12%, 15 孔)	10 块/50 块	326/1471 元
P0515	BeyoGel™ Plus PAGE 预制胶(Hepes, 15%, 10 孔)	10 块/50 块	326/1471 元
P0516M	BeyoGel™ Plus PAGE 预制胶(Hepes, 15%, 15 孔)	50 块	1471 元
P0519	BeyoGel™ Plus PAGE 预制胶(Hepes, 4-15%, 10 孔)	10 块/50 块	326/1471 元
P0520	BeyoGel™ Plus PAGE 预制胶(Hepes, 4-15%, 15 孔)	10 块/50 块	326/1471 元
P0523	BeyoGel™ Plus PAGE 预制胶(Hepes, 4-20%, 10 孔)	10 块/50 块	326/1471 元
P0524	BeyoGel™ Plus PAGE 预制胶(Hepes, 4-20%, 15 孔)	10 块/50 块	326/1471 元
P0527	BeyoGel™ Plus PAGE 预制胶(Hepes, 8-20%, 10 孔)	10 块/50 块	326/1471 元
P0528	BeyoGel™ Plus PAGE 预制胶(Hepes, 8-20%, 15 孔)	10 块/50 块	326/1471 元
P0532S	BeyoGel™小分子量蛋白预制胶(Tricine, 16.5%, 10 孔)	10 块	1598 元
P0533S	BeyoGel™小分子量蛋白预制胶(Tricine, 16.5%, 15 孔)	10 块	1598 元
P0535S	BeyoGel™大分子量蛋白预制胶(Tris-Acetate, 7%, 10 孔)	10 块	398 元
P0536S	BeyoGel™大分子量蛋白预制胶(Tris-Acetate, 7%, 15 孔)	10 块	398 元
P0538S	BeyoGel™大分子量蛋白预制胶(Tris-Acetate, 3-8%, 10 孔)	10 块	398 元
P0539S	BeyoGel™大分子量蛋白预制胶(Tris-Acetate, 3-8%, 15 孔)	10 块	398 元
P0545S	BeyoGel™ Blue Native PAGE 预制胶(4-13%, 10 孔)	10 块	1199 元
P0546S	BeyoGel™ Blue Native PAGE 预制胶(4-13%, 15 孔)	10 块	1199 元
ST003	30% Acr-Bis (29:1)	100ml/500ml	75/288 元
ST004	40% Acr-Bis (39:1)	100ml	83 元
ST004B	40% Acr-Bis (19:1, Nuclease free)	100ml	103 元

蛋白电泳

产品编号	产品名称	产品包装	产品价格
ST005	Ammonium persulfate substitute (APS substitute)	10g	76 元
ST030	Coomassie brilliant blue G250	5g	109 元
ST031	Coomassie brilliant blue R250	5g	93 元
ST045	TCEP (DTT Substitute)	1g/25g/100g	100/1319/3961 元
ST046	0.5M TCEP (pH6.8, Adjusted with NaOH)	2ml/10ml	57/205 元
ST045	TCEP (DTT Substitute)	5g	362 元
ST049	0.5M TCEP (pH7.0, for Mass Spectrometry)	1ml/5ml	65/240 元
ST085	Glycine/甘氨酸	500g	156 元
ST085M	Glycine/甘氨酸	5000g	925 元
ST626	SDS	80g	47 元
ST627	SDS	80g	92 元
ST728	TEMED	10ml	50 元
ST768	1M Tris-HCl, pH6.8	100ml/500ml	36/130 元
ST788	1M Tris-HCl, pH8.8	100ml/500ml	37/131 元
ST789	1.5M Tris-HCl, pH8.8	100ml/500ml	40/146 元

预制胶

产品编号	产品名称	产品包装	产品价格
P0050	BeyoGel™ SDS-PAGE 预制胶(Tris-Gly, 6%, 12 孔)	10 块/50 块	225/982 元
P0051	BeyoGel™ SDS-PAGE 预制胶(Tris-Gly, 8%, 12 孔)	10 块/50 块	225/982 元
P0052	BeyoGel™ SDS-PAGE 预制胶(Tris-Gly, 10%, 12 孔)	10 块/50 块	225/982 元
P0053	BeyoGel™ SDS-PAGE 预制胶(Tris-Gly, 12%, 12 孔)	10 块/50 块	225/982 元
P0055	BeyoGel™ SDS-PAGE 预制胶(Tris-Gly, 15%, 12 孔)	10 块/50 块	225/982 元
P0056	BeyoGel™ SDS-PAGE 预制胶(Tris-Gly, 4-12%, 12 孔)	10 块/50 块	225/982 元
P0057	BeyoGel™ SDS-PAGE 预制胶(Tris-Gly, 4-20%, 12 孔)	10 块/50 块	225/982 元
P0058	BeyoGel™ SDS-PAGE 预制胶(Tris-Gly, 8-16%, 12 孔)	10 块/50 块	225/982 元
P0448	BeyoGel™ Plus PAGE 预制胶(Tris-Gly, 6%, 10 孔)	10 块/50 块	263/1166 元
P0449	BeyoGel™ Plus PAGE 预制胶(Tris-Gly, 6%, 15 孔)	10 块/50 块	263/1166 元
P0451	BeyoGel™ Plus PAGE 预制胶(Tris-Gly, 8%, 10 孔)	10 块/50 块	263/1166 元
P0452	BeyoGel™ Plus PAGE 预制胶(Tris-Gly, 8%, 15 孔)	10 块/50 块	263/1166 元
P0455	BeyoGel™ Plus PAGE 预制胶(Tris-Gly, 10%, 10 孔)	10 块/50 块	263/1166 元
P0456	BeyoGel™ Plus PAGE 预制胶(Tris-Gly, 10%, 15 孔)	10 块/50 块	263/1166 元
P0458	BeyoGel™ Plus PAGE 预制胶(Tris-Gly, 12%, 10 孔)	10 块/50 块	263/1166 元
P0459	BeyoGel™ Plus PAGE 预制胶(Tris-Gly, 12%, 15 孔)	10 块/50 块	263/1166 元
P0461	BeyoGel™ Plus PAGE 预制胶(Tris-Gly, 15%, 10 孔)	10 块/50 块	263/1166 元
P0462	BeyoGel™ Plus PAGE 预制胶(Tris-Gly, 15%, 15 孔)	10 块/50 块	263/1166 元
P0465	BeyoGel™ Plus PAGE 预制胶(Tris-Gly, 4-15%, 10 孔)	10 块/50 块	263/1166 元
P0466	BeyoGel™ Plus PAGE 预制胶(Tris-Gly, 4-15%, 15 孔)	10 块/50 块	263/1166 元
P0468	BeyoGel™ Plus PAGE 预制胶(Tris-Gly, 4-20%, 10 孔)	10 块/50 块	263/1166 元
P0469	BeyoGel™ Plus PAGE 预制胶(Tris-Gly, 4-20%, 15 孔)	10 块/50 块	263/1166 元
P0471	BeyoGel™ Plus PAGE 预制胶(Tris-Gly, 8-20%, 10 孔)	10 块/50 块	263/1166 元
P0472	BeyoGel™ Plus PAGE 预制胶(Tris-Gly, 8-20%, 15 孔)	10 块/50 块	263/1166 元
P0501	BeyoGel™ Plus PAGE 预制胶(Hepes, 6%, 10 孔)	10 块/50 块	326/1471 元
P0502	BeyoGel™ Plus PAGE 预制胶(Hepes, 6%, 15 孔)	10 块/50 块	326/1471 元

预制胶

产品编号	产品名称	产品包装	产品价格
P0505	BeyoGel™ Plus PAGE 预制胶(Hepes, 8%, 10 孔)	10 块/50 块	326/1471 元
P0506	BeyoGel™ Plus PAGE 预制胶(Hepes, 8%, 15 孔)	10 块/50 块	326/1471 元
P0508	BeyoGel™ Plus PAGE 预制胶(Hepes, 10%, 10 孔)	10 块/50 块	326/1471 元
P0509	BeyoGel™ Plus PAGE 预制胶(Hepes, 10%, 15 孔)	10 块/50 块	326/1471 元
P0511	BeyoGel™ Plus PAGE 预制胶(Hepes, 12%, 10 孔)	10 块/50 块	326/1471 元
P0512	BeyoGel™ Plus PAGE 预制胶(Hepes, 12%, 15 孔)	10 块/50 块	326/1471 元
P0515	BeyoGel™ Plus PAGE 预制胶(Hepes, 15%, 10 孔)	10 块/50 块	326/1471 元
P0516	BeyoGel™ Plus PAGE 预制胶(Hepes, 15%, 15 孔)	10 块/50 块	326/1471 元
P0519	BeyoGel™ Plus PAGE 预制胶(Hepes, 4-15%, 10 孔)	10 块/50 块	326/1471 元
P0520	BeyoGel™ Plus PAGE 预制胶(Hepes, 4-15%, 15 孔)	10 块/50 块	326/1471 元
P0523	BeyoGel™ Plus PAGE 预制胶(Hepes, 4-20%, 10 孔)	10 块/50 块	326/1471 元
P0524	BeyoGel™ Plus PAGE 预制胶(Hepes, 4-20%, 15 孔)	10 块/50 块	326/1471 元
P0527	BeyoGel™ Plus PAGE 预制胶(Hepes, 8-20%, 10 孔)	10 块/50 块	326/1471 元
P0528	BeyoGel™ Plus PAGE 预制胶(Hepes, 8-20%, 15 孔)	10 块/50 块	326/1471 元
P0532S	BeyoGel™小分子量蛋白预制胶(Tricine, 16.5%, 10 孔)	10 块	1598 元
P0533S	BeyoGel™小分子量蛋白预制胶(Tricine, 16.5%, 15 孔)	10 块	1598 元
P0535S	BeyoGel™大分子量蛋白预制胶(Tris-Acetate, 7%, 10 孔)	10 块	398 元
P0536S	BeyoGel™大分子量蛋白预制胶(Tris-Acetate, 7%, 15 孔)	10 块	398 元
P0538S	BeyoGel™大分子量蛋白预制胶(Tris-Acetate, 3-8%, 10 孔)	10 块	398 元
P0539S	BeyoGel™大分子量蛋白预制胶(Tris-Acetate, 3-8%, 15 孔)	10 块	398 元
P0545S	BeyoGel™ Blue Native PAGE 预制胶(4-13%, 10 孔)	10 块	1199 元
P0546S	BeyoGel™ Blue Native PAGE 预制胶(4-13%, 15 孔)	10 块	1199 元

蛋白分子量标准

产品编号	产品名称	产品包装	产品价格
P0060	蛋白质分子量标准(10-150kD, 非预染)	200μl/1ml	45/179 元
P0061	蛋白质分子量标准(14.4-116kD, 非预染)	200μl	97 元
P0062	蛋白质分子量标准(14.4-116kD, 非预染)	1ml	309 元
P0063	Protein Ladder (10-200kD, 非预染)	100μl	172 元
P0066	预染蛋白质分子量标准(19-117kD)	200μl	227 元
P0067	预染蛋白质分子量标准(19-117kD)	1ml	938 元
P0068	彩色预染蛋白质分子量标准(10-180kD)	200μl	369 元
P0069	彩色预染蛋白质分子量标准(10-180kD)	600μl	992 元
P0071	BeyoColor™彩色预染蛋白分子量标准(6.5-270kD)	200μl	327 元
P0072	BeyoColor™彩色预染蛋白分子量标准(6.5-270kD)	600μl	887 元
P0075	BeyoColor™彩色预染蛋白分子量标准(10-170kD)	200μl	195 元
P0076	BeyoColor™彩色预染蛋白分子量标准(10-170kD)	600μl	492 元
P0077	BeyoColor™彩色预染蛋白分子量标准(10-170kD)	3ml	2081 元
P0078	BeyoColor™彩色预染蛋白分子量标准(15-120kD)	200μl	135 元
P0079	BeyoColor™彩色预染蛋白分子量标准(15-120kD)	600μl	339 元
P0080	BeyoColor™彩色预染蛋白分子量标准(15-120kD)	3ml	1380 元

Western 检测

产品编号	产品名称	产品包装	产品价格
P0018	BeyoECL Plus (超敏 ECL 化学发光试剂盒)	100ml/500ml	305/988 元
P0018A	BeyoECL Star (特超敏 ECL 化学发光试剂盒)	100ml/500ml	356/1166 元
P0018FS	BeyoECL Moon (极超敏 ECL 化学发光试剂盒)	100ml	415 元
P0018FM	BeyoECL Moon (极超敏 ECL 化学发光试剂盒)	500ml	1352 元
P0019	显影定影试剂盒	各 1 加仑	169 元
P0020	显影定影试剂盒	各 1 升	131 元
P0021A/B	Western 转膜液	1L/10×1L	39/255 元
P0021C/D	Western 半干法转膜液	1L/10×1L	40/265 元
P0021S	PVDF 膜浸润活化液	250ml/2×500ml	67/176 元
P0022	丽春红染色液	120ml/500ml	106/328 元
P0023	Western 溶液套装(封闭液、洗涤液、一抗和二抗稀释液)	共 400ml	373 元
P0023A	Western 一抗稀释液	100ml/500ml	122/503 元
P0023B	Western 封闭液	100ml/500ml	122/503 元
P0023C	Western 洗涤液	250ml/2×500ml	53/119 元
P0023C3	Western 洗涤液(10X)	100ml	38 元
P0023C6	Western 洗涤液(10X)	10×100ml	260 元
P0023D	Western 二抗稀释液	100ml/500ml	123/505 元
P0025	Western 一抗二抗去除液(强碱性)	250ml/1L	188/568 元
P0025B	Western 一抗二抗去除液(弱碱性)	250ml	227 元
P0025N	Western 一抗二抗去除液(中性)	250ml	293 元
P0025S	Western 一抗二抗去除液(酸性)	250ml	212 元
P0059	Recombinant 16-Tag Protein	200µl/1ml	326/1098 元
P0202	DAB 辣根过氧化物酶显色试剂盒	共 20ml	83 元
P0203	DAB 辣根过氧化物酶显色试剂盒	共 100ml	241 元
P0209	TMB 显色液(ELISA HRP 显色用)	100ml/500ml	243/898 元
P0211	TMB 显色液(组化或膜 HRP 显色用)	100ml	252 元
P0216	脱脂奶粉(Blotting Grade)	300g/1500g	86/317 元
P0210	增强型 TMB 显色液(ELISA HRP 显色用)	100ml/500ml	268/988 元
P0220	QuickBlock™封闭液(PBS)	100ml	123 元
P0222	QuickBlock™封闭液(PBSTw)	100ml	123 元
P0226	QuickBlock™封闭液(PBSTx)	100ml	123 元
P0228	QuickBlock™封闭液(TBS)	100ml	123 元
P0231	QuickBlock™封闭液(TBSTw)	100ml	123 元
P0233	QuickBlock™封闭液(TBSTx)	100ml	123 元
P0235	QuickBlock™封闭液(10X)	100ml	873 元
P0239	QuickBlock™ Western 溶液套装 (封闭液、洗涤液、一抗和二抗稀释液)	共 400ml	378 元
P0252	QuickBlock™ Western 封闭液	100ml/500ml	123/498 元
P0256	QuickBlock™ Western 一抗稀释液	100ml/500ml	123/498 元
P0258	QuickBlock™ Western 二抗稀释液	100ml/500ml	123/498 元
P0272	SignalUp™ Western 检测增敏剂	100ml/500ml	299/1032 元
P0273	SignalUp™ Western 一抗稀释液	100ml/500ml	296/1028 元
P0274	SignalUp™ Western 二抗稀释液	100ml/500ml	296/1028 元
P0572-	Western 快速转膜液(10X)	100ml/500ml/4×500ml	45/151/476 元
P0575	Western 快速转膜液(Powder)	1L/10×1L	45/288 元

Western 检测

产品编号	产品名称	产品包装	产品价格
ST023	BSA, Fraction V	50g/200g/1000g	475/1200/5178 元
ST626	SDS	80g	47 元
ST627	SDS	80g	92 元
ST728	TEMED	10ml	50 元
FS035	WB 专用镊子(12cm, 翘方头)	1 把/袋	20 元/袋
C3206	BCIP/NBT 碱性磷酸酯酶显色试剂盒	共 100ml	246 元
FFN02	硝酸纤维素膜(进口分装, 6.3×8.3cm, 0.45μm)	20 张/包装	526 元/件
FFN03	硝酸纤维素膜(进口分装, 6.3×8.3cm, 0.45μm)	100 张/包装	2228 元/件
FFN05	硝酸纤维素膜(进口分装, 15.6×16.6cm, 0.45μm)	5 张/包装	646 元/件
FFN08	硝酸纤维素膜(进口原装, 33cm×3m/卷, 0.45μm)	1 卷/包装	2998 元/件
FFN10	尼龙膜(带正电荷, 进口分装, 7.5×8.25cm, 0.45μm)	20 张/包装	819 元/件
FFN11	尼龙膜(带正电荷, 进口分装, 7.5×8.25cm, 0.45μm)	100 张/包装	3508 元/件
FFN13	尼龙膜(带正电荷, 进口分装, 15×16.5cm, 0.45μm)	5 张/包装	819 元/件
FFN15	尼龙膜(带正电荷, 进口原装, 30cm×3.3m/卷, 0.45μm)	1 卷/包装	4169 元/件
FFP24	PVDF 膜(进口分装, 6.6×8.5cm, 0.2μm)	20 张/包装	651 元/件
FFP26	PVDF 膜(进口分装, 6.6×8.5cm, 0.2μm)	100 张/包装	2350 元/件
FFP28	PVDF 膜(进口原装, 26.5cm×3.75m/卷, 0.2μm)	1 卷/包装	3210 元/件
FFP32	PVDF 膜(进口分装, 6.6×8.5cm, 0.45μm)	20 张/包装	495 元/件
FFP33	PVDF 膜(进口分装, 6.6×8.5cm, 0.45μm)	100 张/包装	2099 元/件
FFP36	PVDF 膜(进口分装, 8.5×13.2cm, 0.45μm)	10 张/包装	493 元/件
FFP39	PVDF 膜(进口原装, 26.5cm×3.75m/卷, 0.45μm)	1 卷/包装	2698 元/件
FFP51	转印滤纸(7.5×10cm)	100 张/包装	83 元/件
FFX050	Western 洗膜盒(9.0×6.0×3.3cm)	1 个/包装	9 元/件
FFX052	Western 洗膜盒(9.0×6.6×3.0cm)	1 个/包装	12 元/件
FFN53	硝酸纤维素膜(进口分装, 6.5×8.5cm, 0.22μm)	20 张/包装	359 元/件
FFX055	Western 洗膜盒(5 格,14.5×9.8×3.5cm)	1 个/包装	15 元/件
FFN54	硝酸纤维素膜(进口分装, 6.5×8.5cm, 0.22μm)	100 张/包装	1436 元/件
FF057	X-OMAT BT 胶片(5×7 英寸)	100 张/盒	259 元/盒
FFN56	硝酸纤维素膜(进口分装, 8.5×13cm, 0.22μm)	10 张/包装	356 元/件
FF058	X 射线胶片(感蓝, 5×7 英寸)	100 张/盒	236 元/盒
FF082	X 射线胶片(感蓝, 8×10 英寸)	100 张/盒	516 元/盒
FFC58	压片暗盒(5×7 英寸)	1 个/包	157 元/包
FFN60	硝酸纤维素膜(进口分装, 6.5×8.5cm, 0.45μm)	20 张/包装	359 元/件
FFN61	硝酸纤维素膜(进口分装, 6.5×8.5cm, 0.45μm)	100 张/包装	1436 元/件
FFC83	压片暗盒(8×10 英寸)	1 个/包	200 元/包
FFN63	硝酸纤维素膜(进口分装, 8.5×13cm, 0.45μm)	10 张/包装	356 元/件
FFF59	稀土高速增感屏(感蓝,5×7 英寸)	1 个/包	86 元/包
FFF86	稀土高速增感屏(感蓝,8×10 英寸)	1 个/包	202 元/包
FFP70	PVDF 膜(进口分装, 6.5×8.5cm, 0.22μm)	20 张/包装	398 元/件
FFP71	PVDF 膜(进口分装, 6.5×8.5cm, 0.22μm)	100 张/包装	1598 元/件
FFP73	PVDF 膜(进口分装, 8.5×13cm, 0.22μm)	10 张/包装	396 元/件
FFP77	PVDF 膜(进口分装, 6.5×8.5cm, 0.45μm)	20 张/包装	398 元/件
FFP78	PVDF 膜(进口分装, 6.5×8.5cm, 0.45μm)	100 张/包装	1598 元/件
FFP80	PVDF 膜(进口分装, 8.5×13cm, 0.45μm)	10 张/包装	396 元/件
P0101	生物素检测封闭试剂盒	200 次	251 元

Western 检测

产品编号	产品名称	产品包装	产品价格
P0215	TMB 显色终止液(450nm, 不含硫酸)	100ml/500ml	141/516 元
P0217	TMB 显色终止液(650nm, 无腐蚀性)	100ml	153 元
P0603	SABC-HRP Kit (IHC, ICC, Blotting & ELISA)	1000 次	370 元
P0606	SABC-AP Kit (IHC, ICC, Blotting&ELISA)	1000 次	358 元
ST085	Glycine/甘氨酸	500g	156 元
ST085M	Glycine/甘氨酸	5000g	925 元

免疫沉淀

产品编号	产品名称	产品包装	产品价格
P2006	Protein A Agarose (Fast Flow, 进口分装)	2ml	497 元
P2012	Protein A+G Agarose (Fast Flow, 进口分装)	2ml	552 元
P2009	Protein G Agarose (Fast Flow, 进口分装)	2ml	550 元
P2015	Protein A Agarose (Fast Flow, 抗体纯化用)	2ml/10ml/50ml/200ml	140/591/2507/7029 元
P2017	Protein G Agarose (Fast Flow, 抗体纯化用)	2ml/10ml/50ml/200ml	150/645/2673/7483 元
P2019	Protein A+G Agarose (Fast Flow, 抗体纯化用)	2ml/10ml/50ml/200ml	152/650/2693/7539 元
P2051	Protein A Agarose (Fast Flow, for IP)	2ml/10ml/50ml	153/656/2788 元
P2053	Protein G Agarose (Fast Flow, for IP)	2ml/10ml/50ml	168/718/2970 元
P2055	Protein A+G Agarose (Fast Flow, for IP)	2ml/10ml/50ml	169/722/2992 元
P2061	Rhotekin-RBD Agarose (活性 Rho 结合琼脂糖凝胶)	1ml	2989 元
P2078	ChIP Assay Kit	22 次	1651 元
P2080S	BeyoChIP™ ChIP Assay Kit (Protein A/G 磁珠)	22 次	1998 元
P2083S	BeyoChIP™ Enzymatic ChIP Assay Kit (Protein A/G 磁珠)	22 次	2358 元
P2102	BeyoMag™ Protein A 磁珠	1ml/5ml	309/1241 元
P2105	BeyoMag™ Protein G 磁珠	1ml/5ml	309/1241 元
P2106	BeyoMag™ Protein G Plus 磁珠	1ml/5ml	381/1542 元
P2108	BeyoMag™ Protein A+G 磁珠	1ml/5ml	309/1241 元
P2115	BeyoMag™ Anti-Flag Magnetic Beads (Anti-Flag 磁珠)	0.5ml/2ml	828/2609 元
P2118	BeyoMag™ Anti-Myc Magnetic Beads (Anti-Myc 磁珠)	0.5ml/2ml/10ml	828/2693/9322 元
P2121	BeyoMag™ Anti-HA Magnetic Beads (Anti-HA 磁珠)	0.5ml/2ml	827/2482 元
P2132	BeyoMag™ Anti-GFP Magnetic Beads (Anti-GFP 磁珠)	0.5ml/2ml	825/2482 元
P2135	BeyoMag™ Anti-His Magnetic Beads (Anti-His 磁珠)	0.5ml/2ml	827/2607 元
P2138	BeyoMag™ Anti-GST Magnetic Beads (Anti-GST 磁珠)	0.5ml/2ml	828/2485 元
P2141	BeyoMag™ Anti-V5 Magnetic Beads (Anti-V5 磁珠)	0.5ml/2ml	845/2712 元
P2151	BeyoMag™ Streptavidin Magnetic Beads (链霉亲和素磁珠)	200μl/1ml/5ml	196/785/2899 元
P2156	BeyoMag™ Concanavalin A Magnetic Beads (刀豆素 A 磁珠)	200μl/1ml/5ml	186/688/2598 元
P2171	BeyoMag™ Mouse IgG Magnetic Beads (小鼠 IgG 磁珠)	1ml/5ml	621/2267 元
P2173	BeyoMag™ Rabbit IgG Magnetic Beads (兔 IgG 磁珠)	1ml/5ml	621/2267 元
P2175	免疫沉淀试剂盒(Protein A 磁珠法)	20-100 次/100-500 次	796/2681 元
P2177	免疫沉淀试剂盒(Protein G 磁珠法)	20-100 次/100-500 次	796/2681 元
P2179	免疫沉淀试剂盒(Protein A+G 磁珠法)	20-100 次/100-500 次	796/2681 元
P2181	Flag 标签蛋白免疫沉淀试剂盒(磁珠法)	20-100 次/100-500 次	1023/3821 元
P2183	Myc 标签蛋白免疫沉淀试剂盒(磁珠法)	20-100 次/100-500 次	1035/3831 元
P2185	HA 标签蛋白免疫沉淀试剂盒(磁珠法)	20-100 次/100-500 次	1032/3800 元
P2187	V5 标签蛋白免疫沉淀试剂盒(磁珠法)	20-100 次/100-500 次	1046/3893 元

免疫沉淀

产品编号	产品名称	产品包装	产品价格
P2193	免疫沉淀试剂盒(Protein A 琼脂糖凝胶法)	20 次/100 次	699/2289 元
P2195	免疫沉淀试剂盒(Protein G 琼脂糖凝胶法)	20 次/100 次	699/2289 元
P2197	免疫沉淀试剂盒(Protein A+G 琼脂糖凝胶法)	20 次/100 次	733/2398 元
P2202	Flag 标签蛋白免疫沉淀试剂盒(琼脂糖凝胶法)	20 次/100 次	817/3106 元
P2204	Myc 标签蛋白免疫沉淀试剂盒(琼脂糖凝胶法)	20 次/100 次	817/3106 元
P2206	HA 标签蛋白免疫沉淀试剂盒(琼脂糖凝胶法)	20 次/100 次	817/3106 元
P2208	V5 标签蛋白免疫沉淀试剂盒(琼脂糖凝胶法)	20 次/100 次	817/3106 元
P2265	Mouse IgG Agarose (小鼠 IgG 琼脂糖凝胶)	1ml/5ml	215/858 元
P2267	Rabbit IgG Agarose (兔 IgG 琼脂糖凝胶)	1ml/5ml	217/859 元
P2271	Anti-Flag Affinity Gel (Anti-Flag 亲和凝胶)	0.5ml/2ml/10ml	955/2868/11262 元
P2282	Anti-Flag Affinity Gel (Anti-Flag 亲和凝胶)	0.5ml/2ml/10ml	599/1798/5999 元
P2285	Anti-Myc Affinity Gel (Anti-Myc 亲和凝胶)	0.5ml/2ml/10ml	621/1863/6215 元
P2287	Anti-HA Affinity Gel (Anti-HA 亲和凝胶)	0.5ml/2ml/10ml	621/1863/6215 元
P2289	Anti-V5 Affinity Gel (Anti-V5 亲和凝胶)	0.5ml/2ml/10ml	621/1863/6215 元
A7001	人 IgG	250μg	369 元
P0630	Avi 标签蛋白生物素标记试剂盒(BirA 法)	20 次/100 次/500 次	368/1168/3868 元
A7007	山羊 IgG	250μg	330 元
A7016	兔 IgG	250μg	333 元
A7028	小鼠 IgG	250μg	369 元
A7031	大鼠 IgG	250μg	369 元
A7039	驴 IgG	250μg	329 元
A7050	小鼠 IgG (Lyophilized Powder, ≥95%)	2mg/10mg/50mg	139/458/1298 元
A7052	大鼠 IgG (Lyophilized Powder, ≥95%)	2mg/10mg/50mg	139/458/1298 元
A7054	山羊 IgG (Lyophilized Powder, ≥95%)	2mg/10mg/50mg	139/458/1298 元
A7056	绵羊 IgG (Lyophilized Powder, ≥95%)	2mg/10mg/50mg	139/458/1298 元
A7058	兔 IgG (Lyophilized Powder, ≥95%)	2mg/10mg/50mg	139/458/1298 元
A7060	牛 IgG (Lyophilized Powder, ≥95%)	2mg/10mg/50mg	139/458/1298 元
A7062	鸡 IgY (Lyophilized Powder, ≥95%)	2mg/10mg/50mg	139/458/1298 元
D3031	pCMV-3X Flag-p53	1μg/100μg	888/1169 元
D3032	pCMV-3X Flag-LTA	1μg/100μg	888/1169 元
D3033	pCMV-HA-p53	1μg/100μg	888/1169 元
D3036	pCMV-Myc-LTA	1μg/100μg	888/1169 元
D3041	Flag&Myc Co-IP 阳性对照质粒对	各 1μg/各 100μg	1776/2338 元
D3043	Flag&HA Co-IP 阳性对照质粒对	各 1μg/各 100μg	1776/2338 元
D3045	HA&Myc Co-IP 阳性对照质粒对	各 1μg/各 100μg	1776/2338 元
D7201	微球菌核酸酶(Micrococcal Nuclease, MNase)	320KU/1600KU	398/1296 元
P2024	Protein A Agarose (Fast Flow, 1ml)预装柱	1 个	387 元
P2025	Protein A Agarose (Fast Flow, 5ml)预装柱	1 个	1317 元
P2026	Protein G Agarose (Fast Flow, 1ml)预装柱	1 个	395 元
P2028	Protein A+G Agarose (Fast Flow, 1ml)预装柱	1 个	405 元
P2029	Protein A+G Agarose (Fast Flow, 5ml)预装柱	1 个	1385 元
P2027	Protein G Agarose (Fast Flow, 5ml)预装柱	1 个	1319 元
P9801	3X Flag Peptide (3X Flag 多肽)	5mg/ml×0.2ml 5mg/ml×1ml/25mg	208/658/2089 元

免疫沉淀

产品编号	产品名称	产品包装	产品价格
P9805	c-Myc Peptide (Myc 标签多肽)	5mg/ml×0.2ml 5mg/ml×1ml/25mg	196/620/2070 元
P9808	HA Peptide (HA 多肽)	5mg/ml×0.2ml 5mg/ml×1ml/25mg	203/621/2071 元
P9811	6X His Peptide (6X His 多肽)	5mg/ml×0.2ml 5mg/ml×1ml/25mg	182/617/2068 元
P9813	V5 Tag Peptide (V5 Tag 多肽)	5mg/ml×0.2ml 5mg/ml×1ml/25mg	185/617/2070 元
P9816	S Tag Peptide (S Tag 多肽)	5mg/ml×0.2ml 5mg/ml×1ml/25mg	185/617/2068 元
P9819	T7 Tag Peptide (T7 Tag 多肽)	5mg/ml×0.2ml 5mg/ml×1ml/25mg	183/618/2069 元
P9822	VSV-G Tag Peptide (VSV-G Tag 多肽)	5mg/ml×0.2ml 5mg/ml×1ml/25mg	186/609/2060 元

免疫染色

产品编号	产品名称	产品包装	产品价格
FPP06B	Liquid Blocker Super PAP Pen (免疫组化笔, 蓝色)	1 个	37 元
FPP06R	Liquid Blocker Super PAP Pen (免疫组化笔, 红色)	1 个	37 元
P0081	柠檬酸钠抗原修复液(50X)	100ml	85 元
P0083	改进型柠檬酸钠抗原修复液(50X)	100ml	109 元
P0085	EDTA 抗原修复液(50X)	100ml	85 元
P0086	柠檬酸钠-EDTA 抗原修复液(40X)	125ml	109 元
P0088	通用型强力抗原修复液(10X)	100ml	123 元
P0090	冰冻切片快速抗原修复液(5X)	100ml	98 元
P0092	漂片抗原修复液(10X)	100ml	98 元
P0095	免疫染色通透液(Saponin)	100ml/500ml	45/153 元
P0096	免疫染色通透液(Triton X-100)	100ml/500ml	40/143 元
P0097I	免疫染色强力通透液	100ml/500ml	60/207 元
P0098	免疫染色固定液	100ml/500ml	60/233 元
P0099	4%多聚甲醛固定液	100ml/500ml	50/192 元
P0100A	内源性过氧化物酶封闭液	100ml	57 元
P0100B	内源性过氧化物酶强力封闭液	100ml	106 元
P0100C	内源性碱性磷酸酶封闭液(20X)	6ml	119 元
P0101	生物素检测封闭试剂盒	200 次	251 元
P0102	免疫染色封闭液	100ml	156 元
P0103	免疫染色一抗稀释液	100ml	156 元
P0106	免疫染色洗涤液	250ml	53 元
P0106	免疫染色洗涤液(10X)	100ml/10×100ml	36/257 元
P0108	免疫荧光染色二抗稀释液	100ml	156 元
P0110	免疫染色(非荧光)二抗稀释液	100ml	169 元
P0123	抗荧光淬灭 PVP 封片液	5ml/25ml	109/292 元
P0126	抗荧光淬灭封片液	5ml/25ml	113/299 元
P0128	抗荧光淬灭封片液(强)	5ml/25ml	106/282 元
P0131	抗荧光淬灭封片液(含 DAPI)	5ml/25ml	119/317 元

免疫染色

产品编号	产品名称	产品包装	产品价格
P0133	抗荧光淬灭封片液(含 Hoechst 33342)	5ml/25ml	119/317 元
P0135	抗荧光淬灭封片液(含 PI)	5ml/25ml	119/317 元
P0137	抗荧光淬灭封片液(含 Hoechst 33342 和 PI)	5ml/25ml	140/370 元
P0153	免疫荧光染色试剂盒-抗大鼠 Cy3	>300 次	573 元
P0166	免疫荧光染色试剂盒-抗人 FITC	>300 次	573 元
P0173	免疫荧光染色试剂盒-抗山羊 Cy3	>300 次	563 元
P0175	免疫荧光染色试剂盒-抗兔 Alexa Fluor 350	>300 次	598 元
P0175A	免疫荧光染色试剂盒-抗兔 AMCA	>300 次	598 元
P0176	免疫荧光染色试剂盒-抗兔 Alexa Fluor 488	>300 次	576 元
P0179	免疫荧光染色试剂盒-抗兔 Alexa Fluor 555	>300 次	570 元
P0260	QuickBlock™免疫染色封闭液	100ml	123 元
P0180	免疫荧光染色试剂盒-抗兔 Alexa Fluor 647	>300 次	612 元
P0183	免疫荧光染色试剂盒-抗兔 Cy3	>300 次	513 元
P0185D	免疫荧光染色试剂盒-抗兔 DyLight 405	>300 次	586 元
P0186	免疫荧光染色试剂盒-抗兔 FITC	>300 次	513 元
P0188	免疫荧光染色试剂盒-抗小鼠 Alexa Fluor 488	>300 次	586 元
P0190	免疫荧光染色试剂盒-抗小鼠 Alexa Fluor 555	>300 次	573 元
P0191	免疫荧光染色试剂盒-抗小鼠 Alexa Fluor 647	>300 次	611 元
P0187	免疫荧光染色试剂盒-抗小鼠 Alexa Fluor350	>300 次	603 元
P0187A	免疫荧光染色试剂盒-抗小鼠 AMCA	>300 次	603 元
P0193	免疫荧光染色试剂盒-抗小鼠 Cy3	>300 次	515 元
P0195D	免疫荧光染色试剂盒-抗小鼠 DyLight 405	>300 次	591 元
P0196	免疫荧光染色试剂盒-抗小鼠 FITC	>300 次	513 元
P0262	QuickBlock™免疫染色一抗稀释液	100ml	123 元
P0265	QuickBlock™免疫荧光染色二抗稀释液	100ml	123 元
P0267	QuickBlock™免疫组化染色二抗稀释液	100ml	123 元
P0276	SignalUp™免疫染色检测增敏剂	100ml/500ml	303/1036 元
P0277	SignalUp™免疫染色一抗稀释液	100ml/500ml	299/1033 元
P0278	SignalUp™免疫染色二抗稀释液	100ml/500ml	299/1033 元
P0603	SABC-HRP Kit (IHC, ICC, Blotting & ELISA)	1000 次	370 元
P0606	SABC-AP Kit (IHC, ICC, Blotting&ELISA)	1000 次	358 元
P0612	SABC-HRP Kit with Anti-Mouse IgG (IHC&ICC)	500 次	497 元
P0615	SABC-HRP Kit with Anti-Rabbit IgG (IHC&ICC)	500 次	502 元
P0625	SABC-AP Kit with Anti-Mouse IgG (IHC&ICC)	500 次	438 元
P0628	SABC-AP Kit with Anti-Rabbit IgG (IHC&ICC)	500 次	440 元
A0279	生物素高效标记山羊抗兔 IgG(H+L)	0.5ml	262 元
A0288	生物素高效标记山羊抗小鼠 IgG(H+L)	0.5ml	265 元
C0181	Kisser 封片液	10ml	50 元
C0183	Kisser 封片液(phenol free)	10ml	53 元
C0185	PVP 封片液	10ml	73 元
C0187	甘油明胶封片液	10ml	50 元
C0265	山羊血清	50ml	89 元
C3206	BCIP/NBT 碱性磷酸酯酶显色试剂盒	共 100ml	246 元
FAM906	多用途防蒸发膜(6 孔板用)	16 个/张, 5 张/袋 /16 个/张, 25 张/袋	29/109 元/袋

免疫染色

产品编号	产品名称	产品包装	产品价格
FAM912	多用途防蒸发膜(12 孔板或载玻片用)	24 个/张, 5 张/袋 /24 个/张, 25 张/袋	30/110 元/袋
FAM924	多用途防蒸发膜(24 孔板或载玻片用)	32 个/张, 5 张/袋 /32 个/张, 25 张/袋	31/112 元/袋
P0202	DAB 辣根过氧化物酶显色试剂盒	共 20ml	83 元
P0203	DAB 辣根过氧化物酶显色试剂盒	共 100ml	241 元
P0211	TMB 显色液(组化或膜 HRP 显色用)	100ml	252 元
P0220	QuickBlock™封闭液(PBS)	100ml	123 元
P0222	QuickBlock™封闭液(PBSTw)	100ml	123 元
P0226	QuickBlock™封闭液(PBSTx)	100ml	123 元
P0228	QuickBlock™封闭液(TBS)	100ml	123 元
P0231	QuickBlock™封闭液(TBSTw)	100ml	123 元
P0233	QuickBlock™封闭液(TBSTx)	100ml	123 元
P0235	QuickBlock™封闭液(10X)	100ml	873 元

ELISA

产品编号	产品名称	产品包装	产品价格
P0205	SignalUp™ ELISA 超敏检测试剂盒(HRP 荧光法)	100 次/500 次/2000 次	96/338/998 元
P0215	TMB 显色终止液(450nm, 不含硫酸)	100ml/500ml	141/516 元
P0217	TMB 显色终止液(650nm, 无腐蚀性)	100ml	153 元
PA008	Human Adiponectin ELISA Kit	96 次	3198 元
PA002	Mouse Adiponectin ELISA Kit	96 次	3198 元
PA005	Rat Adiponectin ELISA Kit	96 次	3396 元
PA009	Human/Mouse/Rat ACTH ELISA Kit	96 次	3399 元
PA015	Human ALCAM ELISA Kit	96 次	3198 元
PA016	Mouse AFP ELISA Kit	96 次	3405 元
PA023	Human Angiogenin ELISA Kit	96 次	3198 元
PA024	Mouse ACE ELISA Kit	96 次	3407 元
PA026	Human ACE ELISA Kit	96 次	3409 元
PA030	Human ApoE ELISA Kit	96 次	3198 元
PA033	Human Angiopoietin-1 ELISA Kit	96 次	3198 元
PA035	Human Angiopoietin-2 ELISA Kit	96 次	3198 元
PA038	Human AXL ELISA Kit	96 次	3198 元
PA079	Human Amyloid β-Peptide (1-40) ELISA Kit	96 次	5788 元
PA082	Human Amyloid β-Peptide (1-42) ELISA Kit	96 次	5788 元
PB045	Human BMP-2 ELISA Kit	96 次	3198 元
PB060	Human BMP-9 ELISA Kit	96 次	3198 元
PB062	Mouse BAFF/BLyS/TNFSF13B ELISA Kit	96 次	3396 元
PB067	Human BAFF/BLyS/TNFSF13B ELISA Kit	96 次	3397 元
PB070	Human/Mouse/Rat BDNF ELISA Kit	96 次	3198 元
PB076	Human BMP-6 ELISA Kit	96 次	3398 元
PC088	Human Complement Factor D ELISA Kit	96 次	3198 元
PC091	Human C3a ELISA Kit	96 次	3198 元
PC094	Human C5a ELISA Kit	96 次	3198 元
PC095	Human Coagulation Factor III/Tissue Factor ELISA Kit	96 次	3198 元

ELISA

产品编号	产品名称	产品包装	产品价格
PC100	Corticosterone ELISA Kit	96 次	3408 元
PC108	Human CA15-3 ELISA Kit	96 次	3198 元
PC115	Human CCL11/Eotaxin ELISA Kit	96 次	3198 元
PC123	Human CCL19/MIP-3β ELISA Kit	96 次	3198 元
PC130	Human CCL2/MCP-1 ELISA Kit	96 次	2798 元
PC138	Human CCL21/6Ckine ELISA Kit	96 次	3398 元
PC125	Mouse CCL2/JE/MCP-1 ELISA Kit	96 次	2798 元
PC128	Rat CCL2/JE/MCP-1 ELISA Kit	96 次	2798 元
PC145	Human CCL3/MIP-1α ELISA Kit	96 次	3198 元
PC153	Human CCL4/MIP-1β ELISA Kit	96 次	3198 元
PC160	Human CCL5/RANTES ELISA Kit	96 次	3198 元
PC168	Human CD14 ELISA Kit	96 次	3198 元
PC169	Human Cortisol ELISA Kit	96 次	3198 元
PC177	Human CXCL1/GROα ELISA Kit	96 次	3198 元
PC173	Mouse CXCL1/KC/N51 ELISA Kit	96 次	3198 元
PC179	Mouse/Rat Clusterin ELISA Kit	96 次	3198 元
PC175	Rat CXCL1/CINC-1 ELISA Kit	96 次	3198 元
PC183	Human Clusterin ELISA Kit	96 次	3198 元
PC190	Human CRP ELISA Kit	96 次	3198 元
PC198	Human CRP ELISA Kit (Ultrasensitive)	96 次	3198 元
PC186	Mouse CRP ELISA Kit	96 次	3198 元
PC188	Rat CRP ELISA Kit	96 次	3198 元
PC205	Human CXCL12/SDF-1 ELISA Kit	96 次	3198 元
PC206	Mouse CXCL10/IP-10 ELISA Kit	96 次	2935 元
PC201	Mouse CXCL12/SDF-1α ELISA Kit	96 次	3198 元
PC208	HumanCXCL10/IP-10ELISA Kit	96 次	3198 元
PC213	Human CXCL14 ELISA Kit	96 次	3198 元
PC220	Human Cys-C ELISA Kit	96 次	3198 元
PC215	Mouse Cys-C ELISA Kit	96 次	3198 元
PD235	Human Dtk/Tyro3/SKY ELISA Kit	96 次	3198 元
PE223	Estradiol ELISA Kit	96 次	3198 元
PE228	Mouse EPO ELISA Kit	96 次	2925 元
PE230	Human EPO ELISA Kit	96 次	3518 元
PE278	Mouse EGF ELISA Kit	96 次	2926 元
PE280	Human EGF ELISA Kit	96 次	2798 元
PF295	Human FGF-19 ELISA Kit	96 次	3198 元
PF298	Mouse FGF-23 ELISA Kit	96 次	3399 元
PF300	Human FGF-23 ELISA Kit	96 次	3519 元
PF311	Mouse FGF-21 ELISA Kit	96 次	2927 元
PF313	Human FGF-21 ELISA Kit	96 次	3198 元
PF317	Mouse FGF-acidic ELISA Kit	96 次	3401 元
PF319	Human FGF-acidic ELISA Kit	96 次	3198 元
PF322	Human FSL-1 ELISA Kit	96 次	3198 元
PF323	Human/Rat FGF basic ELISA Kit	96 次	3198 元
PF324	Mouse FGF-basic ELISA Kit	96 次	3402 元

ELISA

产品编号	产品名称	产品包装	产品价格
PG340	Human G-CSF ELISA Kit	96 次	2798 元
PG348	Human GDNF ELISA Kit	96 次	3198 元
PG355	Human GM-CSF ELISA Kit	96 次	2798 元
PG357	Human/Mouse/Rat Glucagon ELISA Kit	96 次	4598 元
PG363	Human Galectin-3/Mac-2 ELISA Kit	96 次	3198 元
PG367	Human GDF-11/BMP-11 ELISA Kit	96 次	3397 元
PG411	Human Ghrelin ELISA Kit	96 次	3398 元
PH368	Human/Mouse HIF-1α ELISA Kit	96 次	4598 元
PH378	Human Hepcidin ELISA Kit	96 次	3520 元
PH385	Human HGF ELISA Kit	96 次	3198 元
PH395	Mouse HGF ELISA Kit	96 次	3198 元
PH406	Human/Mouse/Rat HMGB1 ELISA Kit	96 次	3396 元
PI301	Mouse IL-1β ELISA Kit	96 次	2798 元
PI303	Rat IL-1β ELISA Kit	96 次	2798 元
PI305	Human IL-1β ELISA Kit	96 次	2798 元
PI307	Porcine IL-1β ELISA Kit	96 次	3198 元
PI325	Human IL-6 ELISA Kit (High-sensitive)	96 次	3198 元
PI326	Mouse IL-6 ELISA Kit	96 次	2798 元
PI328	Rat IL-6 ELISA Kit	96 次	2798 元
PI330	Human IL-6 ELISA Kit	96 次	2798 元
PI332	Porcine IL-6 ELISA Kit	96 次	3198 元
PI335	Rabbit IL-6 ELISA Kit	96 次	3398 元
PI458	Human IgG1 ELISA Kit	96 次	2936 元
PI461	Human IGFBP4 (C-terminal Fragment) ELISA Kit	96 次	3521 元
PI468	Human IGFBP4 (N-terminal Fragment) ELISA Kit	96 次	3518 元
PI470	Human/Rat/Mouse Irisin ELISA Kit	96 次	3399 元
PI471	Mouse IgA ELISA Kit	96 次	3198 元
PI473	Rat IgA ELISA Kit	96 次	3198 元
PI475	Human IgA ELISA Kit	96 次	3198 元
PI476	Mouse IgE ELISA Kit	96 次	3198 元
PI479	Human IgE ELISA Kit	96 次	3198 元
PI480	Mouse IgG ELISA Kit	96 次	3198 元
PI482	Rat IgG ELISA Kit	96 次	3198 元
PI484	Human IgG ELISA Kit	96 次	3198 元
PI485	Mouse/Rat IGF-I ELISA Kit	96 次	3198 元
PI488	Human IGF-I ELISA Kit	96 次	3198 元
PI489	Mouse IgM ELISA Kit	96 次	3198 元
PI490	Rat IgM ELISA Kit	96 次	3198 元
PI492	Human IgM ELISA Kit	96 次	3198 元
PI493	Mouse ICAM-1/CD54 ELISA Kit	96 次	3198 元
PI495	Rat ICAM-1/CD54 ELISA Kit	96 次	3198 元
PI498	Human ICAM-1/CD54 ELISA Kit	96 次	3198 元
PI505	Human IFN-α ELISA Kit	96 次	3198 元
PI507	Mouse IFN-γ ELISA Kit (High-sensitive)	96 次	3198 元
PI508	Mouse IFN-γ ELISA Kit	96 次	2798 元

ELISA

产品编号	产品名称	产品包装	产品价格
PI510	Rat IFN-γ ELISA Kit	96 次	2798 元
PI511	Human IFN-γ ELISA Kit	96 次	2798 元
PI521	Human IFN-γ ELISA Kit (High-sensitive)	96 次	3198 元
PI522	Mouse IL-10 ELISA Kit	96 次	2798 元
PI523	Mouse IL-10 ELISA Kit (High-sensitive)	96 次	3198 元
PI525	Rat IL-10 ELISA Kit	96 次	2798 元
PI528	Human IL-10 ELISA Kit	96 次	2798 元
PI529	Porcine IL-10 ELISA Kit	96 次	3198 元
PI530	Mouse IL-12 p70 ELISA Kit	96 次	2798 元
PI535	Human IL-12 p70 ELISA Kit	96 次	2798 元
PI536	Human IL-10 ELISA Kit (High-sensitive)	96 次	3198 元
PI539	Mouse IL-13 ELISA Kit	96 次	2918 元
PI543	Human IL-13 ELISA Kit	96 次	2798 元
PI545	Mouse IL-17A ELISA Kit	96 次	2798 元
PI548	Rat IL-17A ELISA Kit	96 次	2798 元
PI550	Human IL-17 ELISA Kit	96 次	2798 元
PI553	Mouse IL-18 ELISA Kit	96 次	3198 元
PI555	Rat IL-18 ELISA Kit	96 次	3396 元
PI558	Human IL-18/IL-1F4 ELISA Kit	96 次	4598 元
PI561	Mouse IL-1α ELISA Kit	96 次	3198 元
PI563	Rat IL-1α ELISA Kit	96 次	3198 元
PI565	Human IL-1α ELISA Kit	96 次	2798 元
PI568	Mouse IFN-β ELISA Kit	96 次	3397 元
PI572	Human IFN-β ELISA Kit	96 次	3398 元
PI575	Mouse IL-2 ELISA Kit	96 次	2798 元
PI577	Rat IL-2 ELISA Kit	96 次	2798 元
PI580	Human IL-2 ELISA Kit	96 次	2798 元
PI581	Human IL-2 ELISA Kit (High-sensitive)	96 次	3198 元
PI583	Mouse IL-21 ELISA Kit	96 次	3198 元
PI588	Human IL-21 ELISA Kit	96 次	3198 元
PI591	Mouse IL-22 ELISA Kit	96 次	3198 元
PI595	Human IL-22 ELISA Kit	96 次	3198 元
PI598	Mouse IL-11 ELISA Kit	96 次	2927 元
PI600	Human IL-11 ELISA Kit	96 次	3198 元
PI602	Mouse Insulin ELISA Kit (Ultrasensitive)	96 次	3519 元
PI606	Rat Insulin ELISA Kit (Ultrasensitive)	96 次	3520 元
PI608	Human Insulin ELISA Kit (Ultrasensitive)	96 次	3521 元
PI612	Mouse IL-4 ELISA Kit	96 次	2798 元
PI613	Mouse IL-4 ELISA Kit (High-sensitive)	96 次	3198 元
PI615	Rat IL-4 ELISA Kit	96 次	2798 元
PI618	Human IL-4 ELISA Kit	96 次	2798 元
PI619	Human IL-4 ELISA Kit (High-sensitive)	96 次	3198 元
PI620	Mouse IL-5 ELISA Kit	96 次	2798 元
PI625	Human IL-5 ELISA Kit	96 次	2798 元
PI627	Mouse IL-33 ELISA Kit	96 次	3198 元

ELISA

产品编号	产品名称	产品包装	产品价格
PI631	Human IL-33 ELISA Kit	96 次	3198 元
PI635	Human IL-36γ ELISA Kit	96 次	3423 元
PI638	Human IL-36β ELISA Kit	96 次	3518 元
PI640	Human IL-8 ELISA Kit	96 次	2798 元
PI641	Human IL-8 ELISA Kit (High-sensitive)	96 次	3198 元
PI643	Mouse IL-9 ELISA Kit	96 次	3198 元
PI648	Human IL-9 ELISA Kit	96 次	3198 元
PI652	Human IL-37 ELISA Kit	96 次	2922 元
PI655	Mouse IL-23 ELISA Kit	96 次	3198 元
PI660	Human IL-23 ELISA Kit	96 次	3198 元
PI664	Human IL-38/IL-1F10 ELISA Kit	96 次	3403 元
PK678	Human KGF/FGF-7 ELISA Kit	96 次	3198 元
PK682	Mouse TIM-1/KIM-1/HAVCR ELISA Kit	96 次	2924 元
PK683	Rat TIM-1/KIM-1/HAVCR ELISA Kit	96 次	3198 元
PL689	Mouse L-selectin/CD62L ELISA Kit	96 次	2930 元
PL695	Human LIF ELISA Kit	96 次	3397 元
PL696	Mouse Leptin ELISA Kit	96 次	3198 元
PL698	Rat Leptin ELISA Kit	96 次	3198 元
PL700	Human Leptin ELISA Kit	96 次	3198 元
PM574	Human Myeloperoxidase ELISA Kit	96 次	3198 元
PM708	Human Total Mer ELISA Kit	96 次	4598 元
PM715	Human MIF ELISA Kit	96 次	3198 元
PM723	Human Total MMP-1 ELISA Kit	96 次	3198 元
PM730	Human MMP-2 ELISA Kit	96 次	3198 元
PM733	Mouse MMP-9 ELISA Kit	96 次	3398 元
PM735	Rat MMP-9 ELISA Kit	96 次	3519 元
PM738	Human MMP-9 ELISA Kit	96 次	3198 元
PM745	Human MSP ELISA Kit	96 次	3398 元
PM750	Human TotalMMP-3 ELISA Kit	96 次	3198 元
PM748	Mouse MMP-3 ELISA Kit	96 次	3404 元
PN755	2019-nCoV Nucleocapsid Protein ELISA Kit	96 次	2070 元
PN757	Mouse NGAL/Lipocalin-2 ELISA Kit	96 次	2923 元
PN758	Rat NGAL ELISA Kit	96 次	3198 元
PN768	Human β-NGF ELISA Kit	96 次	3198 元
PO809	Human Osteopontin ELISA Kit	96 次	3198 元
PP772	Human Pentraxin 3/TSG-14 ELISA Kit	96 次	3398 元
PP773	Progesterone ELISA Kit	96 次	3198 元
PP775	Human/Rat PDGF-BB ELISA Kit	96 次	3198 元
PP778	Mouse PD-1 ELISA Kit	96 次	3198 元
PP781	Mouse P-selectin/CD62P ELISA Kit	96 次	2931 元
PP784	Mouse Serpin E1/PAI-1 ELISA Kit	96 次	3421 元
PP785	Human Serpin E1/PAI-1 ELISA Kit	96 次	3398 元
PP790	Human PCT ELISA Kit	96 次	3198 元
PP801	Mouse Periostin/OSF-2 ELISA Kit	96 次	3198 元
PP805	Human Periostin/OSF-2/OSF-2 ELISA Kit	96 次	3198 元

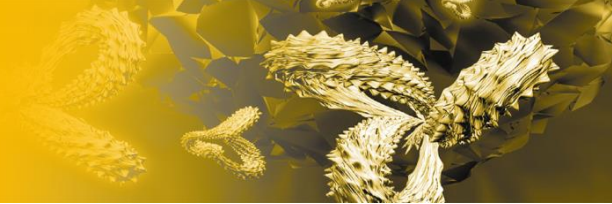
ELISA

产品编号	产品名称	产品包装	产品价格
PR793	Mouse Resistin ELISA Kit	96 次	3198 元
PR798	Human Resistin ELISA Kit	96 次	3198 元
PS820	Human SCF ELISA Kit	96 次	3198 元
PS823	Mouse SAA ELISA Kit	96 次	3520 元
PS835	Human SOST/Sclerostin ELISA Kit	96 次	3198 元
PS842	Human S100B ELISA Kit	96 次	3521 元
PS843	Mouse ST2/IL-33 R ELISA Kit	96 次	3398 元
PS848	Human ST2/IL-33 R ELISA Kit	96 次	3520 元
PS850	2019-nCoV Spike Protein RBD ELISA Kit	96 次	2070 元
PT512	Mouse TNF-α ELISA Kit	96 次	2798 元
PT513	Mouse TNF-α ELISA Kit (High-sensitive)	96 次	2941 元
PT516	Rat TNF-α ELISA Kit	96 次	2798 元
PT518	Human TNF-α ELISA Kit	96 次	2798 元
PT520	Porcine TNF-α ELISA Kit	96 次	3198 元
PT872	Testosterone ELISA Kit	96 次	3198 元
PT877	Human TGF-β3 ELISA Kit	96 次	2942 元
PT878	Mouse/Rat TGF-β1 ELISA Kit	96 次	2798 元
PT880	Human TGF-β1 ELISA Kit	96 次	2798 元
PT883	Mouse TIMP-1 ELISA Kit	96 次	3398 元
PT885	Rat TIMP-1 ELISA Kit	96 次	3398 元
PT888	Human TIMP-1 ELISA Kit	96 次	3198 元
PT897	Human Tie-2/Tek ELISA Kit	96 次	3198 元
PT903	Human TNF-β ELISA Kit	96 次	3198 元
PT910	Human TREM-1 ELISA Kit	96 次	3198 元
PV917	Human Visfatin/PBEF/NAMPT ELISA Kit	96 次	3398 元
PV951	Mouse VCAM-1/CD106 ELISA Kit	96 次	3198 元
PV955	Human VCAM-1/CD106 ELISA Kit	96 次	3198 元
PV957	Mouse VEGF ELISA Kit	96 次	2798 元
PV960	Rat VEGF ELISA Kit	96 次	2798 元
PV963	Human VEGF ELISA Kit	96 次	2798 元
PV970	Human Vaspın/Serpin A12 ELISA Kit	96 次	3198 元
PV977	Human vWF ELISA Kit	96 次	3198 元
ST746	TMB	250mg	169 元
P0209	TMB 显色液(ELISA HRP 显色用)	100ml/500ml	243/898 元
P0210	增强型 TMB 显色液(ELISA HRP 显色用)	100ml/500ml	268/988 元
P0603	SABC-HRP Kit (IHC, ICC, Blotting & ELISA)	1000 次	370 元
P0606	SABC-AP Kit (IHC, ICC, Blotting&ELISA)	1000 次	358 元

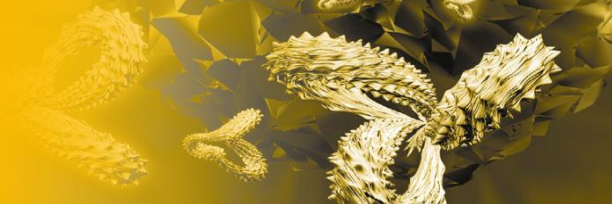
新生蛋白质检测

产品编号	产品名称	产品包装	产品价格
ST2057	L-Homopropargylglycine (HPG) (≥98%, BioReagent)	5mg/25mg/100mg	398/1489/4258 元

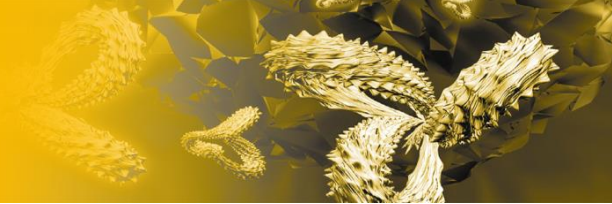
抗体靶点	来源		类型		用途					
	Ms	Rb	mAb	pAb	WB	IP	IF	ICC	IHC	FC
ACC, Phospho(Ser79)										
Actin										
Actin, α -Smooth Muscle										
AFP										
AIF										
Akt										
Akt, Phospho(Ser473)										
Akt, Phospho(Thr308)										
Akt1										
AMPK α , Phospho(Thr172)										
Atg7										
ATM, Phospho(Ser1981)										
ATR, Phospho(Ser428)										
AU1-tag										
Aurora A										
Aurora, Phospho										
Bad										
Bad, Phospho(Ser112)										
Bak										
Bax										
BAX										
Bcl-2										
Bcl-2										
Bcl-2, Phospho(Ser70)										
Bcl-Xl										
BDNF										
BiP										
BMI1										
BMP2										
BRCA1, Phospho(Ser1423)										
Cadherin-E										
Calnexin										
Calpain 1 Large Subunit										
Cardiac Troponin T										
Caspase-3										
Caspase-3										
Caspase-3(激活型)										
Caspase-8										
Caspase-9										
Catenin- β										
Catalase										



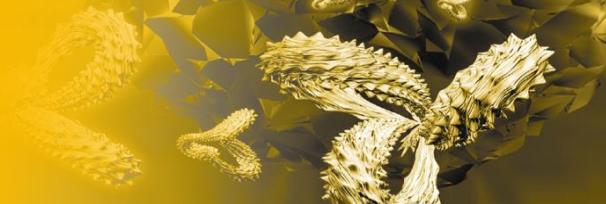
抗体靶点	来源		类型		用途					
	Ms	Rb	mAb	pAb	WB	IP	IF	ICC	IHC	FC
Caveolin-1										
CD133										
CD19										
CD31										
CD34										
CD44										
CD9										
cdc2, Phospho(Tyr15)										
CDk1										
CDK4										
CDK6										
CDK6										
CENP, A-Phospho(Ser7)										
CENP-A										
Chk2, Phospho(Thr68)										
Chkl, Phospho(Ser345)										
CHOP										
Chromogranin A										
cMet										
COX IV										
CRISPR-Cas9										
Cyclin D1										
Cyclin D1										
Cyclin D3										
Cytochrome C										
Cytokeratin-7										
Desmin										
DsRed Tag										
EPCAM										
ERK1										
ERK2										
ERp44										
Estrogen Receptor α										
Estrogen Receptor α , Phospho(Ser118)										
E-tag										
FGFR2/CD332										
Fibrillarin										
FLAG Tag										
FoxO1										
FoxO1(Thr24)/ FoxO3aPhospho-(Thr32)										
FoxO3a										



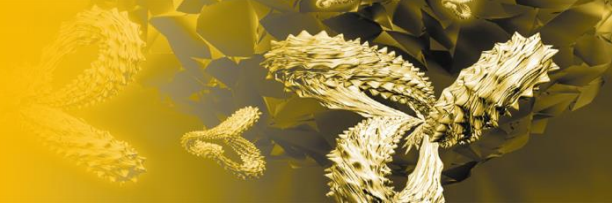
抗体靶点	来源		类型		用途					
	Ms	Rb	mAb	pAb	WB	IP	IF	ICC	IHC	FC
FoxO4										
FUBP1										
GAP43										
GAPDH										
GFAP										
GFAP										
GFP										
Glu-Glu Tag										
Glutathione Peroxidase 1										
GPR49/ LGR5										
GRB2										
GRP78										
GSK-3β										
GSK-3β, Phospho(Ser9)										
GST										
HA										
HA Tag										
HDAC1										
HDAC2										
HDAC3										
HDAC4										
HDAC5										
HDAC6										
HDAC7										
HER2/ ErbB2										
HER2/ ErbB2										
HER2/ ErbB2, Phospho(Tyr1221/1222)										
HIF-1α										
His-tag										
Histone H2A										
Histone H2B										
Histone H3										
Histone H3 , Phospho(Ser10)										
Histone H3, Acetyl(Lys56)										
Histone H3, Di-Methyl(Lys4)										
Histone H3, Mono/Di-Methyl (Lys79)										
Histone H3, Mono-Methyl (Lys18)										
Histone H3, Mono-Methyl (Lys36)										
Histone H3.3										
Histone H4										
HMGB1										



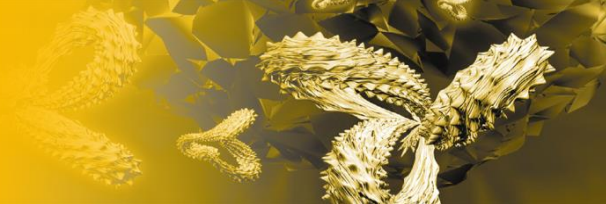
抗体靶点	来源		类型		用途					
	Ms	Rb	mAb	pAb	WB	IP	IF	ICC	IHC	FC
HSP27										
HSP60										
HSP70										
HSP70										
HSP90										
HSP90β										
ICAM1										
IκB-α										
IKKα										
IKKα										
IKKα/β, Phospho(Ser176/ 180)										
IKKβ										
IL-6										
Insulin										
IRE1α										
IRS1										
IRS1, Phospho(Ser302)										
IRS1, Phospho(Ser307)										
JNK/ SAPK										
JNK/ SAPK, Phospho										
Ku70										
Lamin B1										
LC3B										
LDHA										
LHistone H3, Di-Methy(Lys9)										
LKB1										
LMNB2										
Integrinβ1/ CD29										
Isocitrate dehydrogenase /IDH1										
Maltose Binding										
MAP1b(MAP5)										
MAPK14										
MATER										
MBP Tag										
MGMT										
MMP1										
MMP2										
MSH6										
mTOR										
MuERVL-Gag										
Myc										



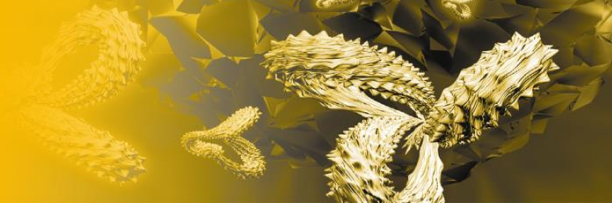
抗体靶点	来源		类型		用途					
	Ms	Rb	mAb	pAb	WB	IP	IF	ICC	IHC	FC
Myc Tag										
N-Cadherin										
Nestin-AN205										
NF-κB p65										
NF-κB p65, Phospho(Ser536)										
NUP98										
Oct4										
OOEP										
p21										
p27										
p35										
p35 / p25										
p38 MAPK										
p38 MAPK, Phospho										
p44 / 42 MAPK, Phospho										
p44/ 42 MAPK										
p53										
p53, Phospho(Ser15)										
p70 S6 Kinase β										
PA Tag										
Par-4										
PARP										
PCNA										
PDI										
PDI										
PERK, Phospho(Thr980)										
PKCα										
PRMT5										
PTEN										
PUMA										
Rab5										
Ras										
Rb, Phospho(Ser807/811)										
ROCK1										
RSK1/ p90RSK										
RSK1/ p90RSK, Phospho(Ser380)										
Sequestosome-1										
SIRT1										
Sirt1/ Sir2										
S-tag										
Stat-1 α/β										



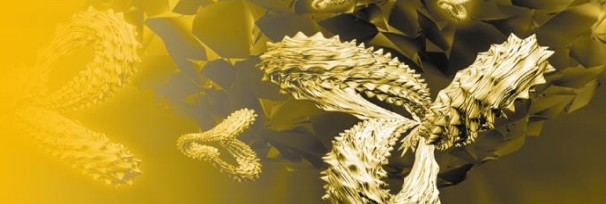
抗体靶点	来源		类型		用途					
	Ms	Rb	mAb	pAb	WB	IP	IF	ICC	IHC	FC
Stat6										
Survivin										
T7-tag										
TGF- β 1/ 2										
TLR7										
TOP2A										
Tubulin Neuronal Class III(Tuj1- β)										
Tubulin- α										
Tubulin- β										
Ubiquitin										
VCP										
VEGF										
VEGF										
VEGFR-1										
Vimentin										
XIAP										
ZO1										
α -Cardiac Actin/ACTC1										
StrepII Tag										
S Tag										
TEV-His Tag										
Target Tag										
TRX Tag										
AVI Tag										
GST Tag										
GFP Tag										
Phospho-CENP-A(Ser7)										
LMNB2										
Cytokeratin 19										
Cytokeratin 20										
LAMP2a										
Cytokeratin 17										
Cytokeratin 18										
Cytokeratin 8+18										
Cytokeratin 15										
SSEA1/CD15/FUT4										
PODXL/TRA-1-81										
StrepII Tag										
Human IgD										
J-chain										
Lambda Light Chain										



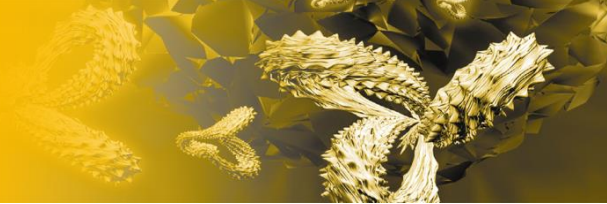
抗体靶点	来源		类型		用途					
	Ms	Rb	mAb	pAb	WB	IP	IF	ICC	IHC	FC
Kappa Light Chain										
Asymmetric Di-Methyl Arginine										
Kappa Light Chain										
Tri-Methyl-Lysine										
Symmetric Di-Methyl Arginine										
Tri-Methyl-Lysine										
Butyryl-Lysine										
Phospho-Tyrosine										
3-Nitrotyrosine										
Acetyl-Lysine										
ABAT										
ACADM										
PAP										
α -Actinin										
Activin Receptor Type-1B/ACVR1B										
ADH1B										
PARP1										
Cleaved PARP-1 (Asp214)										
Cleaved PARP-1 p85										
β 2-Adrenergic Receptor										
GRK2										
α -Fetoprotein/AFP										
HSA/Albumin										
ALDH1A1										
ALDOA										
ALOX15										
CD13/APN										
Annexin A1										
Annexin IV										
Serum Amyloid P/SAP										
APOE										
PSA/KLK3										
CD95/Fas										
HIF-1 β /ARNT										
ASGR1										
GET3										
Antithrombin III										
Na,K-ATPase α 1										
ATP5A1										
Pan-Actin										
α -Tubulin										



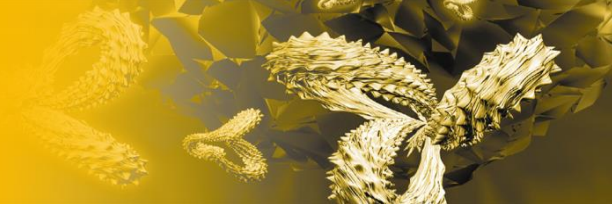
抗体靶点	来源		类型		用途					
	Ms	Rb	mAb	pAb	WB	IP	IF	ICC	IHC	FC
α-Tubulin (PE)										
Neuron-specific beta-III Tubulin										
Histone H2A.X (CT)										
Histone H2B										
Histone H2B (CT)										
Histone H2B (NT)										
Histone H3 (NT)										
Histone H4 (NT)										
IgM										
mCherry-Tag										
Phospho-Threonine										
3-Nitrotyrosine										
Glutaryl-Lysine										
Malonyl-Lysine										
Phospho-Tyrosine										
ABCA1										
α-Actinin 2										
CD156c/ADAM10										
AFM										
α-Fetoprotein/AFP										
Annexin V										
ATR										
BCL2										
CD66a/CEACAM1										
RUNX2										
CD8 alpha										
CD38										
CD68										
CDK2										
CREB										
eIF2α/EIF2S1										
ACSL4/FACL4										
GFAP (NT)										
CD42b										
Granzyme B										
Histone H1.4, Acetyl(Lys25)										
Histone H1.B, Phospho (Thr146)										
HIF-1alpha/HIF1A										
IL-1β										
CD49a/Integrin α1										
Pan Keratin										



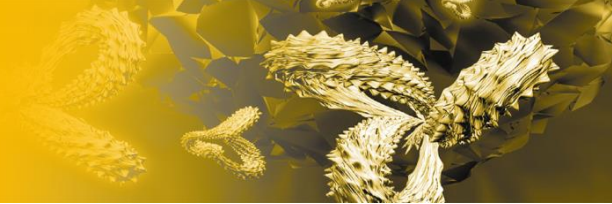
抗体靶点	来源		类型		用途					
	Ms	Rb	mAb	pAb	WB	IP	IF	ICC	IHC	FC
MCM3										
c-Myc										
PDK1/PDHK1										
CD31/PECAM-1										
PIK3CA/PI3 Kinase p110α										
PP2C-α/PPM1A										
AMPKβ1										
MEK2/MAP2K2										
CRALBP										
SOD2										
p53, Phospho(Ser15)										
ARD1A										
Histone H2A, Acetyl (Lys118)										
Histone H2A, Acetyl (Lys15)										
Histone H2A, Acetyl (Lys5)										
Histone H2A, Butyryl (Lys5)										
Histone H2A, Phospho (Thr120)										
Histone H2A, Propionyl (Lys125)										
Histone H2A/H4, Mono-Methyl (Arg3)										
Histone H2B, Acetyl (Lys12)										
Histone H4, Acetyl (Lys8)										
CBX4										
LONP1										
ATG5										
PGRMC1										
MALT1/MLT										
F4/80										
PD-L1										
HDAC8										
CDK9										
CCDC101										
NeuN										
Occludin										
ATP5F1B										
ATP5O										
BACH1										
BAX										
BCL2										
CD66a/CEACAM1										
BHMT										
Bid										



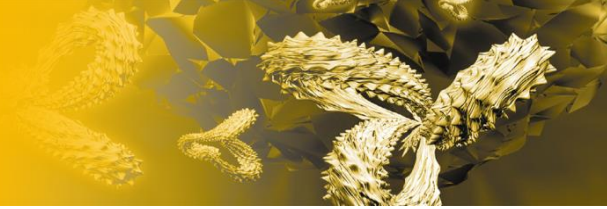
抗体靶点	来源		类型		用途					
	Ms	Rb	mAb	pAb	WB	IP	IF	ICC	IHC	FC
PRDM1/Blimp-1										
CA3										
Calbindin/D28K										
Calmodulin 1/2/3										
CaMKII										
CAPG										
CAPZA1										
Caspase-6										
Catalase										
Caveolin-1										
CD1a										
CD2										
CD3 epsilon										
CD3G										
CD22/Siglec-2										
CD79a										
CD79b										
SEPT7										
CDC27/APC3										
E-Cadherin										
N-Cadherin										
CDK4										
p14ARF										
CENP-A										
Cofilin 1										
hCG beta										
RCC1										
CHUK/IKKα										
CIC-2										
CCR4										
Calponin-1										
Collagen I/COL1A1										
COX IV										
CD21/CR2										
CREB1										
CSE1L										
CD115/CSF-1R										
IL-3RB										
CTBP1										
CYP11A1										
CD55/DAF										



抗体靶点	来源		类型		用途					
	Ms	Rb	mAb	pAb	WB	IP	IF	ICC	IHC	FC
DDB1										
Desmin										
DHCR24/Seladin-1										
PSD95										
CRMP2										
ECHS1										
EEF1A1										
EGFR										
eIF2α/EIF2S1										
4EBP1										
eIF5A										
ENO3										
hENT1										
EPHX2										
HER2/ErbB2										
ERG										
ETV5/ERM										
EZH2										
FABP2										
FAP										
CD32/FCGR2A										
FER										
FGFR2										
FoxO3a										
CD15/SSEA1										
GATA3										
GLUD1										
GOLGA2/GM130										
14-3-3 sigma										
CD42b										
GST3/GSTP1										
HLA-DPA1										
PRMT1										
IFIT3										
IL-7R/CD127										
CD213a2/IL-13RA2										
eIF3E										
STT3A										
Keratin 4										
LAMA3										
Laminin Receptor/RPSA										



抗体靶点	来源		类型		用途					
	Ms	Rb	mAb	pAb	WB	IP	IF	ICC	IHC	FC
Lamin A/C										
Lamin B1										
Smad2										
IκBα										
NRF1										
P2RX4										
PAK3										
PITX2/RGS										
Cyclophilin B										
AMPK Gamma 1										
PKN1/PRK1										
p44/42 MAPK (Erk1/2)										
MEK2/MAP2K2										
PSMA1										
PTEN										
FAK										
PYCR1										
Rab27A										
RARS										
NFκB p65										
RPL17										
SATB1										
Sox2										
STAT1										
STK3/MST2										
STK4/MST1										
CD231										
p53										
PABPN1/PABP2										
Histone H2B, Ubiquityl (Lys120)										
Histone H3, Acetyl (Lys14)										
Histone H3, Phospho (Ser10)										
AKR7A2										
p63										
SNAP										
IST1										
PPP4R1										
TFG										
IPO7										
ATG7										
ERp29										



抗体靶点	来源		类型		用途					
	Ms	Rb	mAb	pAb	WB	IP	IF	ICC	IHC	FC
CDC37										
HDAC6										
VEGF Receptor 2										
ERC1										
ATG4B										
FOX2										
CXCR7										
NAPRT1										
NAPRT1										
Cytoglobin										
SATB2										
NRBP2										
Amy2										
C4b										

HRP 标记二抗

产品编号	产品名称	产品包装	产品价格
A0181	辣根过氧化物酶标记驴抗山羊 IgG(H+L)	0.2ml	213 元
A0192	辣根过氧化物酶标记山羊抗大鼠 IgG(H+L)	0.5ml	246 元
A0201	辣根过氧化物酶标记山羊抗人 IgG(H+L)	1ml	248 元
A0208	辣根过氧化物酶标记山羊抗兔 IgG(H+L)	1ml	227 元
A0216	辣根过氧化物酶标记山羊抗小鼠 IgG(H+L)	1ml	226 元
A0303	辣根过氧化物酶标记 Streptavidin	0.2ml	230 元
A0305	辣根过氧化物酶标记 Streptavidin	0.2ml/1ml/5ml	198/799/2998 元
A0308	Biotin 标记辣根过氧化物酶	0.2ml	141 元

Biotin 标记二抗

产品编号	产品名称	产品包装	产品价格
A0277	生物素标记山羊抗兔 IgG(H+L)	1ml	350 元
A0279	生物素高效标记山羊抗兔 IgG(H+L)	0.5ml	262 元
A0286	生物素标记山羊抗小鼠 IgG(H+L)	1ml	328 元
A0288	生物素高效标记山羊抗小鼠 IgG(H+L)	0.5ml	265 元
A0308	Biotin 标记辣根过氧化物酶	0.2ml	141 元

ALP 标记二抗

产品编号	产品名称	产品包装	产品价格
A0239	碱性磷酸酯酶标记山羊抗兔 IgG(H+L)	0.5ml	282 元
A0258	碱性磷酸酯酶标记山羊抗小鼠 IgG(H+L)	0.5ml	285 元
A0266	碱性磷酸酯酶标记驴抗山羊 IgG(H+L)	0.5ml	469 元
A0312	碱性磷酸酯酶标记 Streptavidin	0.2ml	282 元

荧光标记二抗

产品编号	产品名称	产品包装	产品价格
A0408	Alexa Fluor 350 标记山羊抗兔 IgG(H+L)	100μl	529 元
A0409	AMCA 标记山羊抗兔 IgG(H+L)	200μl	529 元
A0412	Alexa Fluor 350 标记山羊抗小鼠 IgG(H+L)	100μl	528 元
A0413	AMCA 标记山羊抗小鼠 IgG(H+L)	200μl	528 元
A0423	Alexa Fluor 488 标记山羊抗兔 IgG(H+L)	100μl	503 元
A0428	Alexa Fluor 488 标记山羊抗小鼠 IgG(H+L)	100μl	502 元
A0453	Alexa Fluor 555 标记驴抗兔 IgG(H+L)	100μl	487 元
A0460	Alexa Fluor 555 标记驴抗小鼠 IgG(H+L)	100μl	483 元
A0468	Alexa Fluor 647 标记山羊抗兔 IgG(H+L)	100μl	565 元
A0473	Alexa Fluor 647 标记山羊抗小鼠 IgG(H+L)	100μl	563 元
A0502	Cy3 标记驴抗山羊 IgG(H+L)	50μl	462 元
A0507	Cy3 标记山羊抗大鼠 IgG(H+L)	100μl	438 元
A0516	Cy3 标记山羊抗兔 IgG(H+L)	100μl	395 元
A0521	Cy3 标记山羊抗小鼠 IgG(H+L)	100μl	403 元
A0556	FITC 标记山羊抗人 IgG(H+L)	100μl	370 元
A0562	FITC 标记山羊抗兔 IgG(H+L)	100μl	353 元
A0568	FITC 标记山羊抗小鼠 IgG(H+L)	100μl	352 元
A0605	Dylight 405 标记山羊抗兔 IgG(H+L)	100μl	492 元
A0609	Dylight 405 标记山羊抗小鼠 IgG(H+L)	100μl	490 元

免疫佐剂

产品编号	产品名称	产品包装	产品价格
P2031	弗氏不完全佐剂	10ml/50ml	83/369 元
P2036	弗氏完全佐剂	10ml/50ml	105/471 元

抗体纯化

产品编号	产品名称	产品包装	产品价格
P2051	Protein A Agarose (Fast Flow, for IP)	2ml/10ml/50ml	153/656/2788 元
P2053	Protein G Agarose (Fast Flow, for IP)	2ml/10ml/50ml	168/718/2970 元
P2055	Protein A+G Agarose (Fast Flow, for IP)	2ml/10ml/50ml	169/722/2992 元

酶及活性检测

蛋白酶

产品编号	产品名称	产品包装	产品价格
P2302	PreScission Protease	100U	177 元
P2303	PreScission Protease	500U	692 元
P2307	TEV Protease (His-tag)	1000U	213 元
P2308	TEV Protease (His-tag)	10000U	1477 元
P2310	TEV Protease (GST/His-tag)	1000U/10000U	257/1759 元
P2312	SUMO Protease	200U/1000U/5000U	205/827/3282 元
P2313	重组 SENP2 蛋白酶(His-tag)	500U/2KU/10KU/50KU	298/899/3398/11898.0 元
P2314	重组 SENPEUH 蛋白酶(His-tag)	500U/2KU/10KU	321/968/3668 元
P2320	2019-nCoV Main Protease (新型冠状病毒主蛋白酶)	200µg/1mg	2071/7251 元
P2520	Recombinant Active Human BACE1 (His-Tag)	10µg/100µg/1mg	598/2389/13999 元
P4201	重组人胰蛋白酶	100mg/1g	2559/12795 元
P4205	重组猪胰蛋白酶	10mg/100mg	362/2530 元
P4209	测序级重组胰蛋白酶	100µg	517 元
P4221	重组羧肽酶 B	1mg/10mg	621/1958 元
P4225	测序级重组羧肽酶 B	100µg/1mg	377/1260 元
P4229	重组 Kex2 蛋白酶	50µg	1145 元
P4233	重组抑肽酶	1mg/10mg	293/1446 元
P4237	重组肠激酶	100U/500U/1000U	336/1175/1865 元

生化酶

产品编号	产品名称	产品包装	产品价格
P2316	Lambda Protein Phosphatase	20kU/100kU	265/1007 元
P2369	Horseradish Peroxidase (High Purity, ≥340U/mg)	20mg/100mg/500mg	392/1429/5378 元
P2372	Glutathione Reductase (Yeast, Recombinant)	60U/300U/1500U	288/1118/4458 元
P3501	Secondary Alcohol Dehydrogenase (Crude Enzyme, for NADH Regeneration)	100ml/1L	5103/11325 元
P3510	R-Carbonyl Reductase (Crude Enzyme, for NADH Regeneration)	100ml/1L	5103/11325 元
P3514-	S-Carbonyl Reductase (Crude Enzyme, for NADH Regeneration)	100ml/1L	5103/11325 元
P3532	L-Lactate Dehydrogenase (Crude Enzyme)	100ml/1L	5103/11325 元
P3537	Glucose Dehydrogenase (Crude Enzyme)	100ml/1L	5103/11325 元
P3541	Catalase (Crude Enzyme)	100ml/1L	5103/11325 元
P3550	L-2-Hydroxyisocaproic Acid Dehydrogenase (Crude Enzyme)	100ml/1L	5103/11325 元
P3555	D-2-Hydroxyisocaproic Acid Dehydrogenase (Crude Enzyme)	100ml/1L	5103/11325 元
P3559	Formate Dehydrogenase (Crude Enzyme)	100ml/1L	5103/11325 元
P3564	Phosphite Dehydrogenase (Crude Enzyme)	100ml/1L	5103/11325 元
P3568	Alanine Dehydrogenase (Crude Enzyme)	100ml/1L	5103/11325 元
P3573	L-Glutamate Dehydrogenase (Crude Enzyme)	100ml/1L	5103/11325 元
P3577	L-Phenylalanine Dehydrogenase (Crude Enzyme)	100ml/1L	5103/11325 元
P3582	Valine Dehydrogenase (Crude Enzyme)	100ml/1L	5103/11325 元
P3586	L-leucine Dehydrogenase (Crude Enzyme)	100ml/1L	5103/11325 元
P3591	L-Glutamate Oxidase (Crude Enzyme)	100ml/1L	5103/11325 元

生化酶

产品编号	产品名称	产品包装	产品价格
P3595	D-Amino Acid Oxidase (Crude Enzyme)	100ml/1L	5103/11325 元
P3609	Acetolactate Synthase (Crude Enzyme)	100ml/1L	5103/11325 元
P3613	Simvastatin Acyltransferase (Crude Enzyme)	100ml/1L	5103/11325 元
P3618	Cyclodextrin Glucanotransferase (Crude Enzyme)	100ml/1L	5103/11325 元
P3627	Alpha,Alpha-Trehalose Synthase (Crude Enzyme)	100ml/1L	5103/11325 元
P3636	Aspartate Transaminase (Crude Enzyme)	100ml/1L	5103/11325 元
P3640	ω -Transaminase(R-amine) (Crude Enzyme)	100ml/1L	5103/11325 元
P3645	ω -Transaminase(S-amine) (Crude Enzyme)	100ml/1L	5103/11325 元
P3654	Alanine-Valine Aminotransferase (Crude Enzyme)	100ml/1L	5103/11325 元
P3663	L- α -Amino Acid Transaminase (Crude Enzyme)	100ml/1L	5103/11325 元
P3672	NAD Kinase (Crude Enzyme)	100ml/1L	5103/11325 元
P3676	Choline Kinase (Crude Enzyme)	100ml/1L	5103/11325 元
P3681	Acetate Kinase (Crude Enzyme)	100ml/1L	5103/11325 元
P3690	(d)CMP Kinase (Crude Enzyme)	100ml/1L	5103/11325 元
P3694	Nucleoside-Diphosphate Kinase (Crude Enzyme)	100ml/1L	5103/11325 元
P3699	Nicotinamide Mononucleotide Adenylyltransferase (Crude Enzyme)	100ml/1L	5103/11325 元
P3703	Choline-Phosphate Cytidylyltransferase (Crude Enzyme)	100ml/1L	5103/11325 元
P3708	Cephalosporin-C Deacetylase (Crude Enzyme)	100ml/1L	5103/11325 元
P3712	α -Amino Acid Ester Acyl Transferase (Crude Enzyme)	100ml/1L	5103/11325 元
P3717	Maltooligosyl Trehalose Trehalohydrolase (Crude Enzyme)	100ml/1L	5103/11325 元
P3721	L-Aminoacylase (Crude Enzyme)	100ml/1L	5103/11325 元
P3726	N-Carbamoyl-D-Amino-Acid Hydrolase (Crude Enzyme)	100ml/1L	5103/11325 元
P3730	N-Acyl-D-Amino-Acid Deacylase (Crude Enzyme)	100ml/1L	5103/11325 元
P3735	D-Hydantoinase (Crude Enzyme)	100ml/1L	5103/11325 元
P3744	Arginase (Crude Enzyme)	100ml/1L	5103/11325 元
P3748	Arginine Deiminase (Crude Enzyme)	100ml/1L	5103/11325 元
P3753	Nitrilase (Crude Enzyme)	100ml/1L	5103/11325 元
P3757	Inorganic Diphosphatase (Crude Enzyme)	100ml/1L	5103/11325 元
P3762	Halohydrin Dehalogenases (Crude Enzyme)	100ml/1L	5103/11325 元
P3766	Aspartate α -Decarboxylase (Crude Enzyme)	100ml/1L	5103/11325 元
P3771	L-Glutamate Decarboxylase (Crude Enzyme)	100ml/1L	5103/11325 元
P3775	D-Threonine Aldolase (Crude Enzyme)	100ml/1L	5103/11325 元
P3780	L-Threonine Aldolase (Crude Enzyme)	100ml/1L	5103/11325 元
P3784	Chloroacetaldehyde Aldolase (Crude Enzyme)	100ml/1L	5103/11325 元
P3789	N-Acetyl-D-Neuraminic Acid Aldolase (Crude Enzyme)	100ml/1L	5103/11325 元
P3793	Tryptophanase (Crude Enzyme)	100ml/1L	5103/11325 元
P3798	Nitrile Hydratase (Crude Enzyme)	100ml/1L	5103/11325 元
P3802	Threonine Deaminase (Crude Enzyme)	100ml/1L	5103/11325 元
P3807	Alanine Racemase (Crude Enzyme)	100ml/1L	5103/11325 元
P3811	Hydantoin Racemase (Crude Enzyme)	100ml/1L	5103/11325 元
P3816	Glucosamine-2-Epimerase (Crude Enzyme)	100ml/1L	5103/11325 元
P3820	Fructose Isomerase (Crude Enzyme)	100ml/1L	5103/11325 元
P3825	Maltose Alpha-D-Glucosyltransferase (Crude Enzyme)	100ml/1L	5103/11325 元

酶及活性检测

生化酶

产品编号	产品名称	产品包装	产品价格
P3829	Bifunctional Chimeras of Glutamylcysteine Synthetase and Glutathione Synthetase (Crude Enzyme)	100ml/1L	5103/11325 元
P3834	Glutathione Synthase 1 (Crude Enzyme)	100ml/1L	5103/11325 元
P3838	Glutathione Synthase 2 (Crude Enzyme)	100ml/1L	5103/11325 元
P3843	CTP Synthase (Crude Enzyme)	100ml/1L	5103/11325 元
A0308	Biotin 标记辣根过氧化物酶	0.2ml	141 元

酶活性检测

产品编号	产品名称	产品包装	产品价格
P0306	神经氨酸酶检测试剂盒	100 次	769 元
P0309	神经氨酸酶抑制剂筛选试剂盒	100 次	1055 元
P0312	新型冠状病毒 Mpro/3CLpro 抑制剂筛选试剂盒	100 次/500 次	1656/6216 元
P0313	冠状病毒 Mpro/3CLpro 活性荧光检测试剂盒	100 次/500 次	723/2768 元
P0315	新型冠状病毒 Mpro/3CLpro 抑制剂筛选试剂盒(增强型)	100 次/500 次	1863/6908 元
P0319	血管紧张素转换酶 2(ACE2)活性荧光检测试剂盒	100 次/500 次	726/2776 元
P0320	血管紧张素转换酶 2 (ACE2)抑制剂筛选试剂盒	100 次/500 次	2060/7250 元
P0321	碱性磷酸酶检测试剂盒	100 次/500 次	327/1209 元
P0326	酸性磷酸酶检测试剂盒	120 次	318 元
P0329	胎盘碱性磷酸酶检测试剂盒	100 次	326 元
P0332	抗酒石酸性磷酸酶检测试剂盒	120 次	348 元
P0335	抗氟离子酸性磷酸酶检测试剂盒	120 次	350 元
P0338	基质金属蛋白酶 3 (MMP-3)活性荧光检测试剂盒	100 次/500 次	1036/4142 元
P0339	基质金属蛋白酶 3 (MMP-3)抑制剂筛选试剂盒	100 次/500 次	2060/7250 元
P0345	DNase 活性荧光检测试剂盒	100 次/500 次	799/2998 元
P0346	DNase I 残留检测试剂盒	100 次/500 次	799/2998 元
P0347	RNase 活性荧光检测试剂盒	100 次/500 次	998/3698 元
P0349	Benzonase 核酸酶残留检测试剂盒	100 次/500 次	980/3298 元
S0059S	总谷胱甘肽过氧化物酶检测试剂盒(DTNB 法)	100 次	770 元
S0057S	谷胱甘肽过氧化物酶检测试剂盒(DTNB 法)	100 次	676 元
S0150	Kinase-Lumi™化学发光法激酶活性检测试剂盒	1000 次/10000 次	328/1647 元
S0155	Kinase-Lumi™增强型化学发光法激酶活性检测试剂盒	1000 次/10000 次	421/2100 元
S0158	Kinase-Lumi™超增强型化学发光法激酶活性检测试剂盒	1000 次/10000 次	516/2556 元
S0168	环氧化酶-2(COX-2)抑制剂筛选试剂盒	100 次	1832 元
ST362	NBT	100mg	143 元
ST429	ONPG	200mg	58 元
C1077	活细胞 Caspase-3 活性与 Annexin V 细胞凋亡检测试剂盒	20 次/50 次	828/1449 元
C1101	Caspase 1 活性检测试剂盒	20 次	572 元
C1102	Caspase 1 活性检测试剂盒	100 次	1957 元
C1107	Caspase 2 活性检测试剂盒	20 次	601 元
C1108	Caspase 2 活性检测试剂盒	100 次	2065 元
C1115	Caspase 3 活性检测试剂盒	20 次	530 元
C1116	Caspase 3 活性检测试剂盒	100 次	1845 元
C1121	Caspase 4 活性检测试剂盒	20 次	601 元
C1122	Caspase 4 活性检测试剂盒	100 次	2073 元
C1135	Caspase 6 活性检测试剂盒	20 次	601 元

酶活性检测

产品编号	产品名称	产品包装	产品价格
C1136	Caspase 6 活性检测试剂盒	100 次	2073 元
C1151	Caspase 8 活性检测试剂盒	20 次	576 元
C1152	Caspase 8 活性检测试剂盒	100 次	1993 元
C1157	Caspase 9 活性检测试剂盒	20 次	591 元
C1158	Caspase 9 活性检测试剂盒	100 次	2005 元
C1168	GreenNuc™活细胞 Caspase-3 活性检测试剂盒	20-40 次/100-200 次	441/1715 元
C3206	BCIP/NBT 碱性磷酸酯酶显色试剂盒	共 100ml	246 元
FAM906-80	多用途防蒸发膜(6 孔板用)	16 个/张, 5 张/袋	29 元/袋
FAM906-400	多用途防蒸发膜(6 孔板用)	16 个/张, 25 张/袋	109 元/袋
FAM912-120	多用途防蒸发膜(12 孔板或载玻片用)	24 个/张, 5 张/袋	30 元/袋
FAM912-600	多用途防蒸发膜(12 孔板或载玻片用)	24 个/张, 25 张/袋	110 元/袋
FAM924-160	多用途防蒸发膜(24 孔板或载玻片用)	32 个/张, 5 张/袋	31 元/袋
FAM924-800	多用途防蒸发膜(24 孔板或载玻片用)	32 个/张, 25 张/袋	112 元/袋
P0205S/M/L	SignalUp™ ELISA 超敏检测试剂盒(HRP 荧光法)	100 次/500 次/2000 次	96/338/998 元
P2061	Rhotekin-RBD Agarose (活性 Rho 结合琼脂糖凝胶)	1ml	2989 元
P2063	Recombinant Human RhoA (Flag-Tag)	10μg/100μg/1mg	358/1198/7598 元
S0192S/M	Phosphate Sensor Assay Kit (磷酸根荧光检测试剂盒)	200 次/1000 次	2692/10358 元

多肽激素

产品编号	产品名称	产品包装	产品价格
P9019	ACTH(1-24) human (人促肾上腺皮质激素, 1-24)	1mg/5mg/25mg	306/1131/4239 元
P9023	ACTH(1-39) human (人促肾上腺皮质激素, 1-39)	1mg/5mg/25mg	591/2197/8229 元
P9028	ACTH(18-39) human (人促肾上腺皮质激素, 18-39)	1mg/5mg/25mg	338/1269/4753 元
P9032	ACTH(1-17) human (人促肾上腺皮质激素, 1-17)	1mg/5mg/25mg	227/836/3139 元
P9037	ACTH(1-10) human (人促肾上腺皮质激素, 1-10)	1mg/5mg/25mg	95/347/1291 元
P9041	ACTH(7-38) human (人促肾上腺皮质激素, 7-38)	1mg/5mg/25mg	456/1665/6238 元
P9046	Octreotide Acetate (醋酸奥曲肽)	5mg/25mg/100mg	106/398/1268 元
P9050	Desmopressin Acetate (醋酸去氨加压素)	5mg/25mg/100mg	131/496/1585 元
P9055	Leuporelin Acetate (醋酸亮丙瑞林)	5mg/25mg/100mg	157/601/1912 元
P9059	Mechano Growth Factor (机械生长因子)	1mg/5mg/25mg	102/378/1427 元
P9064	Cetrorelix Acetate (醋酸西曲瑞克)	1mg/5mg/25mg	120/453/1719 元
P9068	Deslorelin Acetate (醋酸德舍瑞林)	1mg/5mg/25mg	212/793/2969 元
P9073	Teriparatide Acetate (醋酸特立帕肽)	1mg/5mg/25mg	109/405/1498 元
P9077	Somatostatin Acetate (醋酸生长抑素)	5mg/25mg/100mg	111/418/1339 元
P9082	Oxytocin Acetate (醋酸催产素)	5mg/25mg/100mg	181/680/2178 元

活性多肽

产品编号	产品名称	产品包装	产品价格
P9001	Amyloid β Peptide(1-42) human	0.2mg/1mg/5mg	240/906/3388 元
P9005	Amyloid β Peptide(42-1) human	0.2mg/1mg/5mg	240/906/3388 元
P9010	Amyloid β Peptide(1-40) human	0.2mg/1mg/5mg	233/871/3261 元
P9014	Amyloid β Peptide(40-1) human	0.2mg/1mg/5mg	233/871/3261 元

多肽底物

产品编号	产品名称	产品包装	产品价格
P9731	MCA-AVLQSGFR-Lys(Dnp)-Lys-NH ₂ (冠状病毒主蛋白酶荧光底物)	20mM \times 0.1ml /5mg/25mg	621/726/2900 元
P9733	Dabcyl-KTSAVLQSGFRKME-Edans (冠状病毒主蛋白酶荧光底物)	20mM \times 0.1ml /5mg/25mg	652/726/2900 元
P9735	MCA-YVADAPK(Dnp)-OH (ACE2 荧光底物)	20mM \times 0.1ml /5mg/25mg	621/726/2900 元
P9737	MCA-APK(Dnp)-OH (ACE2 荧光底物)	20mM \times 0.1ml /5mg/25mg	621/726/2900 元
P9701	Ac-YVAD-pNA (Caspase 1 显色底物)	20mM \times 0.1ml /5mg/25mg	431/441/1539 元
P9705	Ac-VDQQD-pNA (Caspase 2 显色底物)	20mM \times 0.1ml /5mg/25mg	431/441/1539 元
P9710	Ac-DEVD-pNA (Caspase 3 显色底物)	20mM \times 0.1ml /5mg/25mg	431/441/1539 元
P9714	Ac-LEVD-pNA (Caspase 4 显色底物)	20mM \times 0.1ml /5mg/25mg	431/441/1539 元
P9719	Ac-VEID-pNA (Caspase 6 显色底物)	20mM \times 0.1ml /5mg/25mg	431/441/1539 元

多肽底物

产品编号	产品名称	产品包装	产品价格
P9723	Ac-IETD-pNA (Caspase 8 显色底物)	20mM×0.1ml /5mg/25mg	431/441/1539 元
P9728a	Ac-LEHD-pNA (Caspase 9 显色底物)	20mM×0.1ml /5mg/25mg	431/441/1539 元

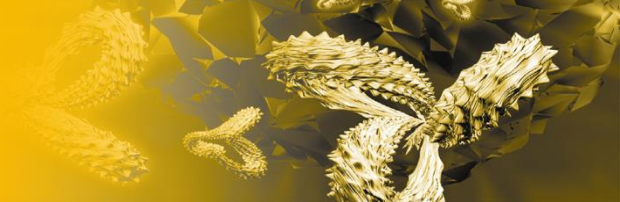
竞争性多肽

产品编号	产品名称	产品包装	产品价格
P9801	3X Flag Peptide (3X Flag 多肽)	5mg/ml×0.2ml 5mg/ml×1ml/25mg	208/658/2089 元
P9805	c-Myc Peptide (Myc 标签多肽)	5mg/ml×0.2ml 5mg/ml×1ml/25mg	196/620/2070 元
P9808	HA Peptide (HA 多肽)	5mg/ml×0.2ml 5mg/ml×1ml/25mg	203/621/2071 元
P9811	6X His Peptide (6X His 多肽)	5mg/ml×0.2ml 5mg/ml×1ml/25mg	182/617/2068 元
P9813	V5 Tag Peptide (V5 Tag 多肽)	5mg/ml×0.2ml 5mg/ml×1ml/25mg	185/617/2070 元
P9816	S Tag Peptide (S Tag 多肽)	5mg/ml×0.2ml 5mg/ml×1ml/25mg	185/617/2068 元
P9819	T7 Tag Peptide (T7 Tag 多肽)	5mg/ml×0.2ml 5mg/ml×1ml/25mg	183/618/2069 元
P9822	VSV-G Tag Peptide (VSV-G Tag 多肽)	5mg/ml×0.2ml 5mg/ml×1ml/25mg	186/609/2060 元

重组蛋白

★ 4-1BB Receptor/TNFRSF9, 4-1BBL/TNFSF9
A ACE2, Aeromonas Aminopeptidase, aFGF, AITR Ligand/TNFSF18, Amphiregulin, Angiostatin, ApoA-I, Apo-SAA, Apo-SAA1
B BACE1, BAFF Receptor/TNFRSF13C, BAFF/TNFSF13B, BCA-1/CXCL13, BCA-1/CXCL13, Bcl-2, Bcl-w, Bcl-xL, BCMA/TNFRSF17, BD-1, BD-1, 47a.a.; BD-14, BD-2, BD-3, BD-4, BD-5, Betacellulin, bFGF, BMP-2, BMP-3, BMP-4, β -lactamase, TEM-1, BMP-7, BNP, BRAK/CXCL14, Brugia malayi AsnRS
C C10/CCL6, C5a, CDNF, Cholera Toxin B subunit, CINC-1/CXCL1, CINC-2 α /CXCL3, CINC-2 β /CXCL3, CINC-3/CXCL2, CNTF, CT-1, CTACK/CCL27, cTnT, Cu/Zn SOD, CXCL16, CyP-D, CYR61, Cystatin-C
D DCIP-1/CXCL3, DES1-3 IGF-1, DHH C23II
E EGF, eGFP, EG-VEGF, EK, EMAP-II, ENA-78, Endostatin, Eotaxin/CCL11, Eotaxin-2/CCL24, Eotaxin-3/CCL26, Epigen, Epiregulin, Exendin-4, Exodus-2/CCL21
F FABP1, FABP2, FABP6, FGF-12, FGF-13, FGF-16, FGF-17, FGF-18, FGF-19, FGF-21, FGF-23, FGF-4, FGF-8, FGF-9, Flagellin, His-tag; FltAH, Flt-3 Ligand, Fractalkine/CX3CL1
G Galectin-1, Galectin-3, GCP-2/CXCL6, G-CSF, GDF-5/BMP-14, GDF-6/BMP-13, GDF-7/BMP-12, GDNF, GH, GM-CSF, GM-CSF GMP, GMF- β , GRO- α /CXCL1, GRO- β /CXCL2, GRO- γ /CXCL3
H HB-EGF, HBsAgadr, HCC-1, 66a.a./CCL14; HCC-1/CCL14, HMGB1, His-tag; HVEM-Fc/TNFRSF14
I I-309/CCL1, IFN- α 1a, IFN- α 1b, IFN- α 2a, IFN- α 2b, E. coli; IFN- α 2b, Yeast; IFN- α 2c, Yeast; IFN- β 1b, IFN- γ , IFN- γ GMP, IFN- λ 1/IL-29, IFN- λ 2/IL-28A, IFN- λ 3/IL-28B, IFN- τ , IFN- ω , IGF-1, IGF-2, IGF-BP3, IGF-BP5, IGF-BP7, IHH C28II, IL-1 RA, IL-10, IL-11, IL-12, IL-13, IL-13, 113a.a.; IL-15, IL-16, IL-16, 121a.a.; IL-16, 130a.a.; IL-17, IL-17A, IL-17B, IL-17F, IL-19, IL-1RA, IL-1 α , IL-1 β , IL-2, IL-2 Cys141Ser, IL-2, Liquid, IL-20, IL-21, IL-21 GMP, IL-22, IL-3, IL-3 GMP, IL-31, IL-33, IL-36 Receptor Antagonist, IL-36 α , 153a.a.; IL-36 α , 158a.a.; IL-36 α , 160a.a.; IL-36 β , 153a.a.; IL-36 β , 157a.a.; IL-36 β , 183a.a.; IL-36 γ , 152a.a.; IL-36 γ , 169a.a.; IL-3 β , IL-4, IL-4 GMP, IL-5, IL-6, IL-6 GMP, IL-7, IL-7 GMP, IL-8, 77a.a./CXCL8; IL-8/CXCL8, IL-9, IP-10/CXCL10, I-TAC/CXCL11
K KC/CXCL1, KGF-1/FGF-7, KGF-2/FGF-10
L LAG-1/CCL4L1, LCN2, LD78 β /CCL3L1, LEC/CCL16, Leptin, LIF, LIGHT/TNFSF14, LIX, 70a.a./CXCL5; LIX/CXCL5, LR3 IGF-1, Lungkine/CXCL15, Lymphotactin/XCL1
M MANF, Maspin, MCP-1/CCL2, MCP-2/CCL8, MCP-3/CCL7, MCP-4/CCL13, MCP-5/CCL12, M-CSF, MDC/CCL22, ME2, His-tag; MEC/CCL28, MIA, MIA-2, MIC-A, His-tag; MIC-B, Midkine, MIF, MIG/CXCL9, MIP-1 α /CCL3, MIP-1 β /CCL4, MIP-1 γ /CCL9/CCL10, MIP-2/CXCL2, MIP-3/CCL23, MIP-3 β /CCL19, MIP-4/CCL18, MIP-5, 68a.a./CCL15; MIP-5/CCL15, mMP-14
N NAP-2/CXCL7, Nesfatin-1, Neuritin, Neuropoietin, Neuroserpin, NNT-1/BCSF-3, Noggin, NOV, NRG1- α , NRG1- β 1, 177-241a.a.; NRG1- β 2, NSE, NT-4, NT-pro-BNP
O OPG, OPG-Fc, OSM, OSM, 195a.a.; OSM, 209a.a.; OTOR

重组蛋白



P p16-INK4a, p16-INK4a-TAT, PAI-2, PCT/Procalcitonin, PDGF-AA, PDGF-BB, PDGF-BB GMP, PDI, PEDF, Persephin, PF-4/CXCL4, PlGF-2, Ppase, Proinsulin C-Peptide Analogue, Prolactin, Protein A, Protein A/G, Protein G, Protein L, Proteinase K, PSA/Kallikrein-3, PTH1-34, PTH1-84, PTH1-84, 15N; PTH7-34, PTH7-84, PTH7-84, 15N; PTHrP, PTHrP, 15N; PTN
R RANTES/CCL5, Rb137, His-tag; Resistin, RhoA (Flag-Tag)
S S100B, SAA1, SAK, sAPRIL/TNFSF13, sCD23, sCD40 Ligand/TNFSF5, SCF, SDF-1 α /CXCL12 α , SDF-1 β /CXCL12 β , SDF-1 γ /CXCL12 γ , SF-20/IL-25, sFasR/TNFRSF6, SHH, SK, Soluble TNF- α (Trimeric form), SOX2-TAT, SPARC, SPARC, His-tag; sRANK Receptor/TNFRSF11A, SSB, sTNF RI/TNFRSF1A, sTNF RII/TNFRSF1B, sTRAILR2/TNFRSF10B, Streptavidin, Streptolysin O, SYND4
T TACI/TNFRSF13B, TAFA-2, TARC/CCL17, TECK/CCL25, TFF1, TFF2, TFF3, TIGAR, TIGAR-TAT, TIMP-2, TL-1A/TNFSF15, TNF- α /TNFSF2, TNF- β /TNFSF1, Tobacco EV, TPO, TRAIL/TNFSF10, Tropic1808, His-tag; TSLP, TWEAK Receptor/TNFRSF12A, T β -4
U UBE2B, His-tag; UBE2C, His-tag; UBE2D3, His-tag; UBE2I, His-tag; UBE2K, His-tag; UBE2L3, His-tag; UBE2M, UBE2R1, Uteroglobin
V Vaspin, VCC-1/CXCL17, VEGF120, VEGF120, Yeast; VEGF121, VEGF164, VEGF164, Yeast; VEGF165, Vimentin, Viral MIP-2

碧云天新品不断推出，目录所列价格仅供参考，具体信息请以官网为准

多肽与蛋白>重组蛋白

1. Wang S, Lin Y, Li F, Qin Z, Zhou Z, Gao L, Yang Z, Wang Z, Wu B. An NF- κ B-driven lncRNA orchestrates colitis and circadian clock. **Science Advances** 2020 Oct 14;6(42):eabb5202. doi: 10.1126/sciadv.abb5202. PMID: 33055157; PMCID: PMC7556837. (2020) (IF14.957)
2. Xie GB, Zhou YQ, Tu XH, et al. Centrosomal Localization of RXR α Promotes PLK1 Activation and Mitotic Progression and Constitutes a Tumor Vulnerability. **Developmental Cell**, Volume 55, ISSUE 6, P707-722.E9, DECEMBER 21, 2020. (2020) (IF13.417)
3. Liu J, Cheng Y, Zhang X, et al. Glycosyltransferase Ext1 promotes CCR7-mediated dendritic cell migration to restrain infection and autoimmunity. **Cell Reports**. Volume 42, ISSUE 1, 111991 (2023) (IF9.995)

蛋白样品制备>裂解及蛋白抽提

1. Xu WF, Che Y, Zhang Q, et al. Apaf-1 Pyroptosome Senses Mitochondrial Permeability Transition. **Cell Metabolism**, Volume 33, ISSUE 2, P424-436.E10, FEBRUARY 02, 2021. (2021) (IF31.373)
2. Fu Y, Sun Y, Wang M, et al. Elevation of JAML Promotes Diabetic Kidney Disease by Modulating Pooocyte Lipid Metabolism. **Cell Metabolism**. Volume 32, ISSUE 6, P1052-1062.E8, DECEMBER 01, 2020. (2020) (IF31.373)
3. Lou FZ, Sun Y, Xu ZY, et al. Excessive Polyamine Generation in Keratinocytes Promotes Self-RNA Sensing by Dendritic Cells in Psoriasis. **Immunity**. Volume 53, ISSUE 1, P204-216.E10, JULY 14, 2020 (2020) (IF43.474)
4. Xiao J, Li WY, Zheng X., et al. Targeting 7-Dehydrocholesterol Reductase Integrates Cholesterol Metabolism and IRF3 Activation to Eliminate Infection. **Immunity**, Volume 52, Issue 1, 14 January 2020, Pages 109-122.e6. (2020) (IF43.474)
5. Ma ZP, et al. PTC-bearing mRNA elicits a genetic compensation response via Upf3a and COMPASS components. **Nature**, Volume 568, pages 259–263 (2019). (IF69.504)
6. Xue JW, et al. Neutrophil-mediated anticancer drug delivery for suppression of postoperative malignant glioma recurrence. **Nature Nanotechnology**, Volume 12, pages 692–700. (2017) (IF40.523)
7. Wang S, Lin Y, Li F, Qin Z, Zhou Z, Gao L, Yang Z, Wang Z, Wu B. An NF- κ B-driven lncRNA orchestrates colitis and circadian clock. **Science Advances** 2020 Oct 14;6(42):eabb5202. doi: 10.1126/sciadv.abb5202. PMID: 33055157; PMCID: PMC7556837. (2020) (IF14.957)
8. He T, Yang D, Li XQ, Jiang M, Islam MS, Chen S, Chen Y, Yang Y, Chou CK, Trivett AL, Oppenheim JJ, Chen X. Inhibition of two-pore channels in antigen-presenting cells promotes the expansion of TNFR2-expressing CD4⁺Foxp3⁺ regulatory T cells. **Science Advances** 2020 Sep 30;6(40):eaba6584. doi: 10.1126/sciadv.aba6584. PMID: 32998896; PMCID: PMC7527222. (2020) (IF14.957)
9. Qin Y, Chen W, Jiang G, Zhou L, Yang X, Li H, He X, Wang HL, Zhou YB, Huang S, Liu S. Interfering MSN-NONO complex-activated CREB signaling serves as a therapeutic strategy for triple-negative breast cancer. **Science Advances** 2020 Feb 19;6(8):eaaw9960. doi: 10.1126/sciadv.aaw9960. PMID: 32128390; PMCID: PMC7030932. (2020) (IF14.957)
10. Zhang FF, Ma DS, Zhao WL, et al., Obesity-induced overexpression of miR-802 impairs insulin transcription and secretion. **Nature Communications**, Volume 11, Article number: 1822 (2020). (2020) (IF17.694)
11. Zhu S, Wang JZ, Chen D, et al., An oncopeptide regulates m6A recognition by the m6A reader IGF2BP1 and tumorigenesis. **Nature Communications**, Volume 11, Article number: 1685 (2020). (2020) (IF17.694)
12. Xie ST, Du YL, Zhang Y, et al., Aptamer-based optical manipulation of protein subcellular localization in cells. **Nature Communications**, Volume 11, Article number: 1347 (2020). (2020) (IF17.694)
13. Wang LJ, You XL, Lotinun S., et al., Mechanical sensing protein PIEZO1 regulates bone homeostasis via osteoblast-osteoclast crosstalk. **Nature Communications** Volume 11, Article number: 282 (2020). (2020) (IF17.694)
14. Qin Y, Chen W, Jiang G, et al. Interfering MSN-NONO complex-activated CREB signaling serves as a therapeutic strategy for triple-negative breast cancer. **Science Advances** 2020;6(8):eaaw9960. Published 2020 Feb 19. doi:10.1126/sciadv. aaw9960. (2020) (IF14.957)
15. Pei JF, Li XK, Li WQ., et al., Diurnal oscillations of endogenous H2O2 sustained by p66Shc regulate circadian clocks. **Nature Cell Biology** 2019 Nov 25. (2019) (IF 28.213)
16. Jiang CL., et al., Lnc-TALC promotes O6-methylguanine-DNA methyltransferase expression via regulating the c-Met pathway by competitively binding with miR-20b-3p. **Nature Communications** 10, Article number: 2045 (2019) (IF17.694)
17. Li YP., et al., Bioinspired lipoproteins-mediated photothermia remodels tumor stroma to improve cancer cell accessibility of second nanoparticles. **Nature Communications**, volume 10, Article number: 3322 (2019) (IF17.694)
18. Tan WH., et al., Phosphorylated lipid-conjugated oligonucleotide selectively anchors on cell membranes with high alkaline phosphatase

- expression. **Nature Communications** volume 10, Article number: 2704 (2019) (IF17.694)
19. Wang CM., et al., A toll-like receptor agonist mimicking microbial signal to generate tumor-suppressive macrophages. **Nature Communications** 10, Article number: 2272 (2019) (IF17.694)
20. Wu CY., et al., Kindlin-2 links mechano-environment to proline synthesis and tumor growth. **Nature Communications**, Volume 10, Article number: 845 (2019) (IF17.694)
21. Liu CH., et al., A Mycobacterium tuberculosis surface protein recruits ubiquitin to trigger host xenophagy. **Nature Communications**, Volume 10, Article number: 1973 (2019) (IF17.694)
22. Chen LF., et al., Macrophage achieves self-protection against oxidative stress-induced ageing through the Mst-Nrf2 axis. **Nature Communications**, Volume 10, Article number: 755 (2019) (IF17.694)
23. Jiang CL., et al., Lnc-TALC promotes O6-methylguanine-DNA methyltransferase expression via regulating the c-Met pathway by competitively binding with miR-20b-3p. **Nature Communications** 10, Article number: 2045 (2019) (IF17.694)
24. Jiang F, Shen J, Cheng J, et al., N-terminal signal peptides facilitate the engineering of PVC complex as a potent protein delivery system. **Science Advances**. Volume 8. Article Number: 2343. (2022) (IF14.957)
25. Yang H, Ting X, Geng YH, et al., The risk variant rs11836367 contributes to breast cancer onset and metastasis by attenuating Wnt signaling via regulating NTN4 expression. **Science Advances**. Volume 8. Article number: 3509. (2022) (IF14.957)
26. Chai Q, Yu S, Zhong Y, et al., A bacterial phospholipid phosphatase inhibits host pyroptosis by hijacking ubiquitin. **Science**. Volume 378. Article number: 0132. (2022) (IF63.714)
27. Li S, Li R, Iqbal Ahmad, et al., Cul3-KLHL20 E3 ubiquitin ligase plays a key role in the arms race between HIV-1 Nef and host SERINC5 restriction. **Nature Communications**. Volume 13, Article number: 2242 (2022) (IF17.694)
28. Zhang Y, Li S, Jin P, et al., Dual functions of microRNA-17 in maintaining cartilage homeostasis and protection against osteoarthritis. **Nature Communications**. Volume 13, Article number: 2447 (2022) (IF17.694)
29. Wang X, Zhang X, Cao K, et al., Cardiac disruption of SDHAF4-mediated mitochondrial complex II assembly promotes dilated cardiomyopathy. **Nature Communications**. Volume 13, Article number: 3947 (2022) (IF17.694)
30. Zhong J, Yang X, Chen J, et al., Circular EZH2-encoded EZH2-92aa mediates immune evasion in glioblastoma via inhibition of surface NKG2D ligands. **Nature Communications**. Volume 13, Article number: 4795 (2022) (IF17.694)
31. Zhang Q, Fei L, Han R, et al., Single-cell transcriptome reveals cellular hierarchies and guides p-EMT-targeted trial in skull base chordoma. **Cell Discovery**. Volume 8, Article number: 94 (2022) (IF38.079)
32. Wang Z, Lu Z, Lin S, et al., Leucine-tRNA-synthase-2-expressing B cells contribute to colorectal cancer immunoevasion. **Immunity**. Volume 55, Pages1067-1081 (2022) (IF43.474)
33. Che Y, Xu W, Ding C, et al. Bile acids target mitofusin 2 to differentially regulate innate immunity in physiological versus cholestatic conditions. **Cell Reports**. Volume 42, ISSUE 1, 112011. (2022) (IF9.995)
34. Zhao S, Xu Q, Cui Y, et al. Salmonella effector SopB reorganizes cytoskeletal vimentin to maintain replication vacuoles for efficient infection. **Nature Communications**. Volume 14, Article number: 478 (2023) (IF17.694)
35. Li B, Xi W, Bai Y, et al. FTO-dependent m⁶A modification of Plpp3 in circSCMH1-regulated vascular repair and functional recovery following stroke. **Nature Communications**. Volume 14, Article number: 489 (2023) (IF17.694)
36. Li Y, Niu Z, Yang J, et al. Rapid metabolic reprogramming mediated by the AMP-activated protein kinase during the lytic cycle of Toxoplasma gondii. **Nature Communications**. Volume 14, Article number: 422 (2023) (IF17.694)
37. Huang T, Wu T, Wu Y, et al. Long-term statins administration exacerbates diabetic nephropathy via ectopic fat deposition in diabetic mice. **Nature Communications**. Volume 14, Article number: 390 (2023) (IF17.694)
38. Deng T, Gao D, Song X, et al. A natural biological adhesive from snail mucus for wound repair. **Nature Communications**. Volume 14, Article number: 396 (2023) (IF17.694)
39. Li X, Zhang G, Huang S, et al. Development of a versatile nuclease prime editor with upgraded precision. **Nature Communications**. Volume 14, Article number: 305 (2023) (IF17.694)
40. Xie X, Yang Y, Wang Q, et al. Targeting ATAD3A-PINK1-mitophagy axis overcomes chemoimmunotherapy resistance by redirecting PD-L1 to mitochondria. **Cell Research**. ISSN 1748-7838 (online) (2023) (IF46.297)

RIPA 裂解液

1. Li QK, Chen Q, Klauser PC., et al., Developing Covalent Protein Drugs via Proximity-Enabled Reactive Therapeutics. **Cell**, Volume 182, ISSUE 1, P85-97.E16, JULY 09, 2020. (2020) (IF66.85)
2. Zhu GY, Xie JJ, Kong WN, et al., Phase Separation of Disease-Associated SHP2 Mutants Underlies MAPK Hyperactivation. **Cell**, Volume 183, ISSUE 2, P490-502.E18, OCTOBER 15, 2020. (2020) (IF66.85)
3. Shi HL, Zhang XL, Weng YL, Lu ZY., et al., m^{*}A facilitates hippocampus-dependent learning and memory through YTHDF1. **Nature**, Pub Date : 2018-10-31 , DOI: 10.1038/s41586-018-0666-1 (2018) (IF69.504)
4. Lv HW, Lv GS, Chen C, et al., NAD⁺ Metabolism Maintains Inducible PD-L1 Expression to Drive Tumor Immune Evasion. **Cell Metabolism**, Volume 33, ISSUE 1, P110-127.E5, JANUARY 05, 2021. (IF31.373)
5. Zheng X, Chen T, Jiang R, et al. Hyocholic acid species improve glucose homeostasis through a distinct TGR5 and FXR signaling mechanism[J]. **Cell Metabolism**, 2021, 33: 1-13. (2020) (IF31.373)
6. Liu D, Zhang P, Zhou JJ, et al., TNFAIP3 Interacting Protein 3 Overexpression Suppresses Nonalcoholic Steatohepatitis by Blocking TAK1 Activation. **Cell Metabolism**, Volume 31, ISSUE 4, P726-740.e8, April 07, 2020. (2020) (IF31.373)
7. Zheng J, Li HL, Tian N, et al. Interneuron Accumulation of Phosphorylated tau Impairs Adult Hippocampal Neurogenesis by Suppressing GABAergic Transmission. **Cell Stem Cell**, 2020;26(3):462-466. doi:10.1016/j.stem. (2020) (IF20.860)
8. Wang Y, Zhang L, Wu GR, Zhou Q, Yue H, Rao LZ, Yuan T, Mo B, Wang FX, Chen LM, Sun F, Song J, Xiong F, Zhang S, Yu Q, Yang P, Xu Y, Zhao J, Zhang H, Xiong W, Wang CY. MBD2 serves as a viable target against pulmonary fibrosis by inhibiting macrophage M2 program. **Science Advances** 2021 Jan 1;7(1):eabb6075. doi: 10.1126/sciadv.abb6075. PMID: 33277324; PMCID: PMC7775789. (2021) (IF14.957)
9. Zhou J, Wu Z, Hu J, Yang D, Chen X, Wang Q, Liu J, Dou M, Peng W, Wu Y, Wang W, Xie C, Wang M, Song Y, Zeng H, Bai C. High-throughput single-EV liquid biopsy: Rapid, simultaneous, and multiplexed detection of nucleic acids, proteins, and their combinations. **Science Advances** 2020 Nov 20;6(47):eabc1204. doi: 10.1126/sciadv.abc1204. PMID: 33219024; PMCID: PMC7679165. (2020) (IF14.957)
10. Li J, Shang Y, Wang L, Zhao B, Sun C, Li J, Liu S, Li C, Tang M, Meng FL, Zheng P. Genome integrity and neurogenesis of postnatal hippocampal neural stem/progenitor cells require a unique regulator Filia. **Science Advances** 2020 Oct 28;6(44):eaba0682. doi: 10.1126/sciadv.aba0682. PMID: 33115731; PMCID: PMC7608785. (2020) (IF14.957)
11. Cui S, Wang C, Bai W, Li J, Pan Y, Huang X, Yang H, Feng Z, Xiang Q, Fei L, Zheng L, Huang J, Zhang Q, Wu Y, Chen Y. CD1d1 intrinsic signaling in macrophages controls NLRP3 inflammasome expression during inflammation. **Science Advances** 2020 Oct 21;6(43):eaaz7290. doi: 10.1126/sciadv.aaz7290. PMID: 33087357; PMCID: PMC7577718. (2020) (IF14.957)
12. Lv X, Chen K, Shi G, Lin W, Bai H, Li H, Tang G, Wang C. Design and tuning of ionic liquid-based HNO donor through intramolecular hydrogen bond for efficient inhibition of tumor growth. **Science Advances** 2020 Nov 6;6(45):eabb7788. doi: 10.1126/sciadv.abb7788. PMID: 33158861; PMCID: PMC7673712. (2020) (IF14.957)
13. Dou G, Tian R, Liu X, Yuan P, Ye Q, Liu J, Liu S, Zhou J, Deng Z, Chen X, Liu S, Jin Y. Chimeric apoptotic bodies functionalized with natural membrane and modular delivery system for inflammation modulation. **Science Advances** 2020 Jul 22;6(30):eaba2987. doi: 10.1126/sciadv.aba2987. PMID: 32832662; PMCID: PMC7439513. (2020) (IF14.957)
14. Wang L, Wang C, Wang Z, Gan J, Liu C, Xia S, Niu Y, Chen D, Zhang J, Dong L. Transforming the spleen into a liver-like organ in vivo. **Science Advances** 2020 Jun 10;6(24):eaaz9974. doi: 10.1126/sciadv.aaz9974. PMID: 32577515; PMCID: PMC7286668. (2020) (IF14.957)
15. Sun H, Fu S, Cui S, Yin X, Sun X, Qi X, Cui K, Wang J, Ma L, Liu FY, Liao FF, Wang XH, Yi M, Wan Y. Development of a CRISPR-SaCas9 system for projection- and function-specific gene editing in the rat brain. **Science Advances** 2020 Mar 18;6(12):eaay6687. doi: 10.1126/sciadv.aay6687. PMID: 32206715; PMCID: PMC7080442. (2020) (IF14.957)
16. Fu Y, Ding Y, Wang Q, Zhu F, Tan Y, Lu X, Guo B, Zhang Q, Cao Y, Liu T, Cui L, Xu W. Blood-stage malaria parasites manipulate host innate immune responses through the induction of sFGL2. **Science Advances** 2020 Feb 26;6(9):eaay9269. doi: 10.1126/sciadv.aay9269. PMID: 32133407; PMCID: PMC7043914. (2020) (IF14.957)
17. Yao B, Wang R, Wang Y, Zhang Y, Hu T, Song W, Li Z, Huang S, Fu X. Biochemical and structural cues of 3D-printed matrix synergistically direct MSC differentiation for functional sweat gland regeneration. **Science Advances** 2020 Mar 4;6(10):eaaz1094. doi: 10.1126/sciadv.aaz1094. PMID: 32181358; PMCID: PMC7056319. (2020) (IF14.957)
18. Chen H, Cong X, Wu C, Wu X, Wang J, Mao K, Li J, Zhu G, Liu F, Meng X, Song J, Sun X, Wang X, Liu S, Zhang S, Yang X, Song Y, Yang YG, Sun T. Intratumoral delivery of CCL25 enhances immunotherapy against triple-negative breast cancer by recruiting CCR9⁺ T cells. **Science**

蛋白产品引用文献摘选

- Advances** 2020 Jan 29;6(5):eaax4690. doi: 10.1126/sciadv.aax4690. PMID: 32064335; PMCID: PMC6989134. (2020) **(IF14.957)**
19. Li H, Yang J, Tian C, et al., Organized cannabinoid receptor distribution in neurons revealed by super-resolution fluorescence imaging. **Nature Communications** 11, 5699 (2020). (2020) **(IF17.694)**
20. Xu S, Zheng H, Ma R. et al. Vacancies on 2D transition metal dichalcogenides elicit ferroptotic cell death. **Nature Communications**, 11, 3484 (2020). (2020) **(IF17.694)**
21. Zhang FF, Ma DS, Zhao WL, et al., Obesity-induced overexpression of miR-802 impairs insulin transcription and secretion. **Nature Communications**, Volume 11, Article number: 1822 (2020). (2020) **(IF17.694)**
22. He W, Xu JZ, Mu RY, et al., High-salt diet inhibits tumour growth in mice via regulating myeloid-derived suppressor cell differentiation. **Nature Communications**, Volume 11, Article number: 1732 (2020). **(IF17.694)**
23. Wang XJ, Ma MM, Zhou LB, et al., Autonomic ganglionic injection of α -synuclein fibrils as a model of pure autonomic failure α -synucleinopathy. **Nature Communications** Volume 11, Article number: 934 (2020). (2020) **(IF17.694)**
24. Li M, Li SY, Zhou H, Tang XF, et al., Chemotaxis-driven delivery of nano-pathogenoids for complete eradication of tumors post-phototherapy. **Nature Communications** Volume 11, Article number: 1126 (2020). (2020) **(IF17.694)**
25. Shan YL, Zhang YQ, et al., JMJD3 and UTX determine fidelity and lineage specification of human neural progenitor cells. **Nature Communications**, 11, Article number: 382 (2020). (2020) **(IF17.694)**
26. Liu TT, Du XF, Zhang BB, et al., Piezo1-Mediated Ca^{2+} Activities Regulate Brain Vascular Pathfinding during Development. **Neuron**, Volume 108, ISSUE 1, P180-192.E5, OCTOBER 14, 2020. (2020) **(IF18.688)**
27. Wang H, Dong P, He C, et al., Incerta-thalamic Circuit Controls Nocifensive Behavior via Cannabinoid Type 1 Receptors. **Neuron**, Volume 107, ISSUE 3, P538-551.E7, AUGUST 05, 2020. (2020) **(IF18.688)**
28. Yuan YK, Miao Y, Qian LP, Zhang Y., et al., Targeting UBE4A Revives Viperin Protein in Epithelium to Enhance Host Antiviral Defense. **Molecular Cell**, Volume 77, Issue 4, 20 February 2020, Pages 734-747.e7. (2020) **(IF19.328)**
29. Chen HM, Cong XX, Wu CX, et al. Intratumoral delivery of CCL25 enhances immunotherapy against triple-negative breast cancer by recruiting CCR9+ T cells. **Science Advances** 29 Jan 2020:Vol. 6, no. 5, eaax4690. (2020) **(IF14.957)**
30. Chen K, et al., Drosophila Histone Demethylase KDM5 Regulates Social Behavior through Immune Control and Gut Microbiota Maintenance. **Cell Host&Microbe**, DOI: 10.1016/j.chom.2019.023. (2019) **(IF31.316)**
31. Hu XY, et al., Nutrient Sensing by the Intestinal Epithelium Orchestrates Mucosal Antimicrobial Defense via Translational Control of Hes1. **Cell Host&Microbe**, Volume 25, Issue 5, P706-718.E7, May 08, 2019. **(IF31.316)**
32. Ma X, Lu Y, Zhou Z. et al., Human expandable pancreatic progenitor-derived β cells ameliorate diabetes. **Science Advances**. Volume 8. Article number: 1826 (2022) **(IF14.957)**
33. Zou Y, Sun X, Yang Q. et al., Blood-brain barrier-penetrating single CRISPR-Cas9 nanocapsules for effective and safe glioblastoma gene therapy. **Science Advances**. Volume 8. Article number: 8011 (2022) **(IF14.957)**
34. Xu L, Wang X, Wang W, et al., Enantiomer-dependent immunological response to chiral nanoparticles. **Nature**. Pub Date 2019-09-12. DOI: 10.1038/s41586-021-04243-2. (2022) **(IF69.504)**
35. Chen W, Chen S, Yan C, et al., Allergen protease-activated stress granule assembly and gasdermin D fragmentation control interleukin-33 secretion. **Nature Immunology**. Volume 23, Pages1021–1030 (2022) **(IF31.25)**
36. Xia J, Zhang J, Wu X, et al., Blocking glycine utilization inhibits multiple myeloma progression by disrupting glutathione balance. **Nature Communications**. Volume 13, Article number: 4007 (2022) **(IF17.694)**
37. Liu J, Wang Y, Mu C, et al., Pancreatic tumor eradication via selective Pin1 inhibition in cancer-associated fibroblasts and T lymphocytes engagement. **Nature Communications**. Volume 13, Article number: 4308 (2022) **(IF17.694)**
38. Fei L, Chen H, Ma L, et al., Systematic identification of cell-fate regulatory programs using a single-cell atlas of mouse development. **Nature Genetics**. Volume 54, Pages1051–1061 (2022) **(IF41.307)**
39. Zhang S, Li Y, Sun S, et al., Single-atom nanozymes catalytically surpassing naturally occurring enzymes as sustained stitching for brain trauma. **Nature Communications**. Volume 13, Article number: 4744 (2022) **(IF17.694)**
40. Lan X, Ding S, Zhang T, et al., PCGF6 controls neuroectoderm specification of human pluripotent stem cells by activating SOX2 expression. **Nature Communications**. Volume 13, Article number: 4601 (2022) **(IF17.694)**
41. Lau P, Zhang G, Zhao S, et al., Sphingosine kinase 1 promotes tumor immune evasion by regulating the MTA3-PD-L1 axis. **Cellular & Molecular Immunology**. Volume 19, Pages1153–1167 (2022) **(IF22.096)**

42. Yao H, Song W, Cao R, et al., An EGFR/HER2-targeted conjugate sensitizes gemcitabine-sensitive and resistant pancreatic cancer through different SMAD4-mediated mechanisms. **Nature Communications**. Volume 13, Article number: 5506 (2022) (IF17.694)

蛋白检测>蛋白定量

1. Wang J, Xu YH, Chen ZH, et al., Liver Immune Profiling Reveals Pathogenesis and Therapeutics for Biliary Atresia. **Cell**, Volume 183, ISSUE 7, P1867-1883.E26, DECEMBER 23, 2020. (2020) (IF66.85)
2. Li QK, Chen Q, Klausner PC, et al., Developing Covalent Protein Drugs via Proximity-Enabled Reactive Therapeutics. **Cell**, Volume 182, ISSUE 1, P85-97.E16, JULY 09, 2020. (2020) (IF66.85)
3. Xu JY, Zhang CC, Wang X. Integrative Proteomic Characterization of Human Lung Adenocarcinoma. **Cell**, Volume 182, ISSUE 1, P245-261.E17, JULY 09, 2020. (2020) (IF66.85)
4. Liu H, Kuang XW, Zhang YC. et al., ADORA1 Inhibition Promotes Tumor Immune Evasion by Regulating the ATF3-PD-L1 Axis. **Cancer Cell**, Volume 37, ISSUE 3, P324-339.e8, March 16, 2020. (2020) (IF38.585)
5. Zheng J, Li HL, Tian N, et al., Interneuron Accumulation of Phosphorylated tau Impairs Adult Hippocampal Neurogenesis by Suppressing GABAergic Transmission. **Cell Stem Cell**, 2020;26(3):462-466. doi:10.1016/j.stem. (2020) (IF25.269)
6. Yu K, Tian H, Deng H. PPM1G restricts innate immune signaling mediated by STING and MAVS and is hijacked by KSHV for immune evasion. **Science Advances** 2020 Nov 20;6(47):eabd0276. doi: 10.1126/sciadv.abd0276. PMID: 33219031; PMCID: PMC7679160. (2020) (IF14.957)
7. Zhou Y, Zhu F, Liu Y, et al., Blood-brain barrier-penetrating siRNA nanomedicine for Alzheimer's disease therapy. **Science Advances** 2020 Oct 9;6(41):eabc7031. doi: 10.1126/sciadv.abc7031. PMID: 33036977; PMCID: PMC7546706. (2020) (IF14.957)
8. Liu D, Shu G, Jin F, Qi J, Xu X, Du Y, Yu H, Wang J, Sun M, You Y, Zhu M, Chen M, Zhu L, Shen Q, Ying X, Lou X, Jiang S, Du Y. ROS-responsive chitosan-SS31 prodrug for AKI therapy via rapid distribution in the kidney and long-term retention in the renal tubule. **Science Advances** 2020 Oct 9;6(41):eabb7422. doi: 10.1126/sciadv.abb7422. PMID: 33036968; PMCID: PMC7546709. (2020) (IF14.957)
9. Zhu D, Wu X, Zhou J, Li X, Huang X, Li J, Wu J, Bian Q, Wang Y, Tian Y. NuRD mediates mitochondrial stress-induced longevity via chromatin remodeling in response to acetyl-CoA level. **Science Advances** 2020 Jul 31;6(31):eabb2529. doi: 10.1126/sciadv.abb2529. PMID: 32789178; PMCID: PMC7400466. (2020) (IF14.957)
10. Qiao Y, Yang F, Xie T, Du Z, Zhong D, Qi Y, Li Y, Li W, Lu Z, Rao J, Sun Y, Zhou M. Engineered algae: A novel oxygen-generating system for effective treatment of hypoxic cancer. **Science Advances** 2020 May 20;6(21):eaba5996. doi: 10.1126/sciadv.aba5996. PMID: 32490207; PMCID: PMC7239646. (2020) (IF14.957)
11. Li Z, Wang Y, Shen Y, Qian C, Oupicky D, Sun M. Targeting pulmonary tumor microenvironment with CXCR4-inhibiting nanocomplex to enhance anti-PD-L1 immunotherapy. **Science Advances** 2020 May 15;6(20):eaaz9240. doi: 10.1126/sciadv.aaz9240. PMID: 32440550; PMCID: PMC7228744. (2020) (IF14.957)
12. Xue CC, Li MH, Zhao Y, Zhou J, Hu Y, Cai KY, Zhao Y, Yu SH, Luo Z. Tumor microenvironment-activatable Fe-doxorubicin preloaded amorphous CaCO₃ nanoformulation triggers ferroptosis in target tumor cells. **Science Advances** 2020 Apr 29;6(18):eaax1346. doi: 10.1126/sciadv.aax1346. PMID: 32494659; PMCID: PMC7190311. (2020) (IF14.957)
13. Zeng SL, Li SZ, Xiao PT, Cai YY, Chu C, Chen BZ, Li P, Li J, Liu EH. Citrus polymethoxyflavones attenuate metabolic syndrome by regulating gut microbiome and amino acid metabolism. **Science Advances** 2020 Jan 3;6(1):eaax6208. doi: 10.1126/sciadv.aax6208. PMID: 31922003; PMCID: PMC6941918. (2020) (IF14.957)
14. Liu, H., Li, Y., Sun, S. et al. Catalytically potent and selective clusterzymes for modulation of neuroinflammation through single-atom substitutions. **Nature Communications** 12, 114 (2021). (2021) (IF17.694)
15. Wang, Y., Tang, B., Long, L. et al. Improvement of obesity-associated disorders by a small-molecule drug targeting mitochondria of adipose tissue macrophages. **Nature Communications** 12, 102 (2021). (2021) (IF17.694)
16. Xu, W., Li, H., Wang, L. et al. Endocannabinoid signaling regulates the reinforcing and psychostimulant effects of ketamine in mice. **Nature Communications** 11, 5962 (2020). (2020) (IF17.694)
17. Zhang, Y., Li, M., Li, L. et al. β -arrestin 2 as an activator of cGAS-STING signaling and target of viral immune evasion. **Nature Communications** 11, 6000 (2020). (IF17.694)
18. He, HP., Luo, M., Cao, YL. et al. Structure of Epstein-Barr virus tegument protein complex BBRF2-BSRF1 reveals its potential role in viral envelopment. **Nature Communications** 11, 5405 (2020). (IF17.694)
19. Huang YH, Wang SB, Zhou J, et al. IRF1-mediated downregulation of PGC1 α contributes to cardiorenal syndrome type 4. **Nature**

- Communications**, Volume 11, Article number: 4664 (2020). (IF17.694)
20. Xu XH, Li XL, Liu YF, et al., Pyruvate-responsive genetic circuits for dynamic control of central metabolism. **Nature Chemical Biology**, Volume 16, pages1261–1268(2020). (IF16.174)
 21. Huang YK, Chen Y, Zhou SL, Chen L, et al. Dual-mechanism based CTLs infiltration enhancement initiated by Nano-sapper potentiates immunotherapy against immune-excluded tumors. **Nature Communications** Volume 11, Article number: 622 (2020). (IF17.694)
 22. Xue CC, Li MH, Zhao Y. et al. Tumor microenvironment-activatable Fe-doxorubicin preloaded amorphous CaCO₃ nanoformulation triggers ferroptosis in target tumor cells. **Science Advances** 29 Apr 2020:Vol. 6, no. 18, eaax1346 DOI: 10.1126/sciadv.aax1346. (2020) (IF14.957)
 23. Zeng SL, Li SZ, Xiao PT. et al., Citrus polymethoxyflavones attenuate metabolic syndrome by regulating gut microbiome and amino acid metabolism. **Science Advances** 03 Jan 2020: Vol. 6, no. 1, eaax6208. (2020) (IF14.957)
 24. Jin N, Bi AW, Lan XJ, et al. Identification of metabolic vulnerabilities of receptor tyrosine kinases-driven cancer. **Nature Communications** Volume 10, Article number: 2701 (2019) (IF17.694)
 25. Tan, T., Hu, H., Wang, H. et al. Bioinspired lipoproteins-mediated photothermia remodels tumor stroma to improve cancer cell accessibility of second nanoparticles. **Nature Communications** 10, 3322 (2019) (IF17.694)
 26. Zhang Z, Guan J, Jiang, Z. et al. Brain-targeted drug delivery by manipulating protein corona functions. **Nature Communications** 10, 3561 (2019) (IF17.694)
 27. Fang Y, Shen Z, Zhan Y, et al. CD36 inhibits β -catenin/c-myc-mediated glycolysis through ubiquitination of GPC4 to repress colorectal tumorigenesis. **Nature Communications** 10, 3981 (2019) (IF17.694)
 28. Li YP, et al. Bioinspired lipoproteins-mediated photothermia remodels tumor stroma to improve cancer cell accessibility of second nanoparticles. **Nature Communications** volume 10, Article number: 3322 (2019) (IF17.694)
 29. Tan WH, et al. Phosphorylated lipid-conjugated oligonucleotide selectively anchors on cell membranes with high alkaline phosphatase expression. **Nature Communications** volume 10, Article number: 2704 (2019) (IF17.694)
 30. Huang M, et al. Identification of metabolic vulnerabilities of receptor tyrosine kinases-driven cancer. **Nature Communications**, Volume 10, Article number: 2701 (2019) (IF17.694)
 31. Yan J, Shen M, Sui B, et al. Autophagic LC3+ calcified extracellular vesicles initiate cartilage calcification in osteoarthritis. **Science Advances**. Volume 8. Article number: 1556 (2022) (IF14.957)
 32. Qi M, Xia Y, Wu Y, Lin28B-high breast cancer cells promote immune suppression in the lung pre-metastatic niche via exosomes and support cancer progression. **Nature Communications**. Volume 13, Article number: 897 (2022) (IF14.957)
 33. Wang R, Yang X, Liu J, et al. Gut microbiota regulates acute myeloid leukaemia via alteration of intestinal barrier function mediated by butyrate. **Nature Communications**. Volume 13, Article number: 2522 (2022) (IF17.694)
 34. Ye N, Han W, Toseland A, et al. The role of zinc in the adaptive evolution of polar phytoplankton. **Nature ecology & evolution**. Volume 6, pages 965–978 (2022) (IF19.1)
 35. Lu L, Zhai X, Li X, et al. Met1-specific motifs conserved in OTUB subfamily of green plants enable rice OTUB1 to hydrolyse Met1 ubiquitin chains. **Nature Communications**. Volume 13, Article number: 4672 (2022) (IF17.694)
 36. Chen Y, Hysolli E, Chen A, et al. Multiplex base editing to convert TAG into TAA codons in the human genome. **Nature Communications**. Volume 13, Article number: 4482 (2022) (IF17.694)
 37. Zou X, Xiao X, Mo Z, et al. Systematic strategies for developing phage resistant Escherichia coli strains. **Nature Communications**. Volume 13, Article number: 4491 (2022) (IF17.694)
 38. Hu L, Long J, Lin Y, Gu Z, et al. Arctic introgression and chromatin regulation facilitated rapid Qinghai-Tibet Plateau colonization by an avian predator. **Nature Communications** Volume 13, Article number: 6413 (2022) (IF17.694)
 39. Luo M, Ye L, Chang R, et al. Multi-omics characterization of autophagy-related molecular features for therapeutic targeting of autophagy. **Nature Communications**. Volume 13, Article number: 6345 (2022) (IF17.694)
 40. Chen X, Wang Y, Wang Y, et al. Ectopic expression of sericin enables efficient production of ancient silk with structural changes in silkworm. **Nature Communications**. Volume 13, Article number: 6295 (2022) (17.694)
 41. Wang Z, Wang S, Qin J, et al. Splicing factor BUD31 promotes ovarian cancer progression through sustaining the expression of anti-apoptotic BCL2L12. **Nature Communications**. Volume 13, Article number: 6246 (2022) (IF17.694)
 42. Sun F, Zhao Z, Mathilda M, et al. HRG-9 homologues regulate haem trafficking from haem-enriched compartments. **Nature**. Volume 610, Pages768–774 (2022) (IF69.504)

43. Liu Y, Liu K, Thorne RF, et al. Mitochondrial SENP2 regulates the assembly of SDH complex under metabolic stress. **Cell Reports**. Volume 42, ISSUE 2, 112041, (2023) (IF9.995)
44. Wang Y, Luo R, Zhang X, et al. Proteogenomics of diffuse gliomas reveal molecular subtypes associated with specific therapeutic targets and immune-evasion mechanisms. **Nature Communications**. Volume 14, Article number: 505 (2023) (IF17.694)

蛋白检测>蛋白电泳

1. Kang YL, Liu R, Wu JX, et al. Structural insights into the mechanism of human soluble guanylate cyclase. **Nature**, Volume 574, pages206–210(2019) (IF69.504)
2. Shi HL, Zhang XL, Weng YL, Lu ZY, et al. m⁶A facilitates hippocampus-dependent learning and memory through YTHDF1. **Nature**, Pub Date: 2018-10-31, DOI: 10.1038/s41586-018-0666-1 (2018) (IF69.504)
3. Gao L, Su C, Du XX, et al. FAD-dependent enzyme-catalysed intermolecular [4+2] cycloaddition in natural product biosynthesis. **Nature Chemistry**, Volume 12, pages620–628(2020). (2020) (IF24.274)
4. Dou G, Tian R, Liu X, Yuan P, Ye Q, Liu J, Liu S, Zhou J, Deng Z, Chen X, Liu S, Jin Y. Chimeric apoptotic bodies functionalized with natural membrane and modular delivery system for inflammation modulation. **Science Advances** 2020 Jul 22;6(30):eaba2987. doi: 10.1126/sciadv.aba2987. PMID: 32832662; PMCID: PMC7439513. (2020) (IF14.957)
5. Wan C, Sun Y, Tian Y, Lu L, Dai X, Meng J, Huang J, He Q, Wu B, Zhang Z, Jiang K, Hu D, Wu G, Lovell JF, Jin H, Yang K. Irradiated tumor cell-derived microparticles mediate tumor eradication via cell killing and immune reprogramming. **Science Advances** 2020 Mar 25;6(13):eaay9789. doi: 10.1126/sciadv.aay9789. PMID: 32232155; PMCID: PMC7096163. (2020) (IF14.957)
6. Xu, W., Li, H., Wang, L. et al. Endocannabinoid signaling regulates the reinforcing and psychostimulant effects of ketamine in mice. **Nature Communications** 11, 5962 (2020). (2020) (IF17.694)
7. Song YL, Yang WB, Fu Q, et al., irCLASH reveals RNA substrates recognized by human ADARs. **Nature Structural & Molecular Biology**, Volume 27, pages351–362(2020). (2020) (IF18.361)
8. Zuo YB, Feng Q, Jin LC, et al. Regulation of the linear ubiquitination of STAT1 controls antiviral interferon signaling. **Nature Communications** Volume 11, Article number: 1146 (2020). (2020) (IF17.694)
9. Yuan YK, Miao Y, Qian LP, Zhang Y, et al., Targeting UBE4A Revives Viperin Protein in Epithelium to Enhance Host Antiviral Defense. **Molecular Cell**, Volume 77, Issue 4, 20 February 2020, Pages 734-747.e7. (2020) (IF19.328)
10. Wan C, Sun YJ, Tian Y, et al. Irradiated tumor cell-derived microparticles mediate tumor eradication via cell killing and immune reprogramming. **Science Advances** 25 Mar 2020, Vol. 6, no. 13, eaay9789. (2020) (IF14.957)
11. Song YL, Yang WB, Fu Q, et al. irCLASH reveals RNA substrates recognized by human ADARs. **Nature Structural & Molecular Biology** Volume 27, pages 351–362(2020) (IF18.361)
12. Lv L, Liu YL, Xie JX, Wu Y, et al. Interplay between α 2-chimaerin and Rac1 activity determines dynamic maintenance of long-term memory. **Nature Communications** Volume10, Article number: 5313 (2019) (IF17.694)
13. Huang FJ, Zheng XJ, et al., Theabrownin from Pu-erh tea attenuates hypercholesterolemia via modulation of gut microbiota and bile acid metabolism. **Nature Communications** Volume 10, Article number: 4971 (2019) (IF17.694)
14. Zhong S., et al., Acetaldehyde dehydrogenase 2 interactions with LDLR and AMPK regulate foam cell formation. **The Journal of Clinical Investigation**, 2019 Jan 2;129(1):252-267. (2019) (IF19.456)
15. Zhang Z, Guan J, Jiang Z. et al. Brain-targeted drug delivery by manipulating protein corona functions. **Nature Communications** 10, 3561 (2019) (IF17.694)
16. Liu XH, Mao DS, Song YC, et al. Computer-aided design of reversible hybridization chain reaction (CAD-HCR) enables multiplexed single-cell spatial proteomics imaging. **Science Advances**, volume 8. Article number: 0133 (2022) (IF14.957) Fan N, Chen K, Zhu R, et al. Manganese-coordinated mRNA vaccines with enhanced mRNA expression and immunogenicity induce robust immune responses against SARS-CoV-2 variants. **Science Advances**, volume 8. Article number: 3500 (2022) (IF14.957)
17. Zhang JJ, Qiu JX, Zhou WY, et al. Neuropilin-1 mediates lung tissue-specific control of ILC2 function in type 2 immunity. **Nature Immunology**. Volume 23, Article number:237–250 (2022) (IF31.25)
18. Chen Z,Xu D, Wang L, et al. Structural basis of substrate recognition and translocation by human very long-chain fatty acid transporter ABCD1. **Nature Communications**. Volume 13, Article number: 3299 (2022) (IF17.694)
19. Yang H, Liu X, Zhu X, et al. GINS1 promotes the proliferation and migration of glioma cells through USP15-mediated deubiquitination of

- TOP2A. **iScience**. Volume 25, ISSUE 9 (2022) (IF6.107)
20. Ren R, Fan Y, Peng Z, et al. Characterization and perturbation of CTCF-mediated chromatin interactions for enhancing myogenic transdifferentiation. **Cell Reports**. Volume 40, ISSUE 7 (2022) (IF9.995)
21. He Y, Hao F, Fu H, et al. N-glycosylated intestinal protein BCF-1 shapes microbial colonization by binding bacteria via its fimbrial protein. **Cell Reports**. Volume 42, ISSUE 1, 111993, (2023) (IF9.995)

蛋白检测>Western 检测

1. Yang Y, et al., Derivation of Pluripotent Stem Cells with In Vivo Embryonic and Extraembryonic Potency. **Cell**, Volume 169, ISSUE 2, P243-257.e25. (2017) (IF66.85)
2. Zhu Y, Wang R, Yu L, Sun H, Tian S, Li P, Jin M, Chen H, Ma W, Zhou H. Human TRA2A determines influenza A virus host adaptation by regulating viral mRNA splicing. **Science Advances** 2020 Jun 19;6(25):eaaz5764. doi: 10.1126/sciadv.aaz5764. PMID: 32596447; PMCID: PMC7304988. (2020) (14.957)
3. Wan C, Sun Y, Tian Y, Lu L, Dai X, Meng J, Huang J, He Q, Wu B, Zhang Z, Jiang K, Hu D, Wu G, Lovell JF, Jin H, Yang K. Irradiated tumor cell-derived microparticles mediate tumor eradication via cell killing and immune reprogramming. **Science Advances** 2020 Mar 25;6(13):eaay9789. doi: 10.1126/sciadv.aay9789. PMID: 32232155; PMCID: PMC7096163. (2020) (IF14.957)
4. Zhao Y, Fan M, Chen Y, Liu Z, Shao C, Jin B, Wang X, Hui L, Wang S, Liao Z, Ling D, Tang R, Wang B. Surface-anchored framework for generating RhD-epitope stealth red blood cells. **Science Advances** 2020 Mar 20;6(12):eaaw9679. doi: 10.1126/sciadv.aaw9679. PMID: 32219154; PMCID: PMC7083617. (2020) (14.957)
5. Pan M, Zheng Q, Yu Y. et al. Seesaw conformations of Npl4 in the human p97 complex and the inhibitory mechanism of a disulfiram derivative. **Nature Communications** 12, 121 (2021). (2021) (IF17.694)
6. Lei H, Xu HZ, Shan HZ, et al. Targeting USP47 overcomes tyrosine kinase inhibitor resistance and eradicates leukemia stem/progenitor cells in chronic myelogenous leukemia. **Nature Communications** 12, 51 (2021). (2021) (IF17.694)
7. Xu W, Li H, Wang L, et al. Endocannabinoid signaling regulates the reinforcing and psychostimulant effects of ketamine in mice. **Nature Communications** 11, 5962 (2020). (2020) (IF17.694)
8. Liu Y, Chen Q, Zhang N, et al. Proteomic profiling and genome-wide mapping of O-GlcNAc chromatin-associated proteins reveal an O-GlcNAc-regulated genotoxic stress response. **Nature Communications**, 11, 5898 (2020). (2020) (IF17.694)
9. Guo L, Cui CH, Wang JX, et al., PINCH-1 regulates mitochondrial dynamics to promote proline synthesis and tumor growth. **Nature Communications**, Volume 11, Article number: 4913 (2020). (2020) (IF17.694)
10. Liu S, Yuan SC, Gao XM, et al., Functional regulation of an ancestral RAG transposon ProtoRAG by a trans-acting factor YY1 in lancelet. **Nature Communications**, Volume 11, Article number: 4515 (2020). (2020) (IF17.694)
11. Song YI, Yang WB, Fu Q, et al., irCLASH reveals RNA substrates recognized by human ADARs. **Nature Structural & Molecular Biology**, Volume 27, pages351–362(2020). (2020) (IF18.361)
12. Zheng X, Chen T, Jiang R, et al. Hyocholic acid species improve glucose homeostasis through a distinct TGR5 and FXR signaling mechanism[J]. **Cell Metabolism**, 2021, 33: 1-13. (2021) (IF31.373)
13. Chen XF, He YF, Zhu YL, et al. linc-AAM Facilitates Gene Expression Contributing to Macrophage Activation and Adaptive Immune Responses. **Cell Reports**, Volume 34, ISSUE 1, 108584, JANUARY 05, 2021. (2021) (IF9.995)
14. Yi Fu, Yu Sun, Mei Wang, et al. Elevation of JAML Promotes Diabetic Kidney Disease by Modulating Podocyte Lipid Metabolism. **Cell Metabolism**, Volume 32, ISSUE 6, P1052-1062.E8, DECEMBER 01, 2020. (2020) (IF31.373)
15. Han et al. Elevated CXorf67 Expression in PFA Ependymomas Suppresses DNA Repair and Sensitizes to PARP Inhibitors. **Cancer Cell**, Volume 38, ISSUE 6, P844-856.E7, DECEMBER 14, 2020. (2020) (IF38.585)
16. Chen SS, Liu SD, Wang JX, et al. TBK1-Mediated DRP1 Targeting Confers Nucleic Acid Sensing to Reprogram Mitochondrial Dynamics and Physiology. **Molecular Cell**, Volume 80, ISSUE 5, P810-827.E7, DECEMBER 03, 2020. (2020) (IF19.328)
17. Zhao QY, Liu JY, Deng H, et al. Targeting Mitochondria-Located circRNA SCAR Alleviates NASH via Reducing mROS Output. **Cell**, Volume 183, ISSUE 1, P76-93.E22, OCTOBER 01, 2020. (2020) (IF66.85)
18. Wang QY, Wang YP, Ding JJ, et al. A bioorthogonal system reveals antitumour immune function of pyroptosis. **Nature**. Volume 579, pages 421–426(2020) (IF69.504)
19. Zhou YG, Fu BQ, Xu XX, et al. PBX1 expression in uterine natural killer cells drives fetal growth. **Science Translational Medicine** 01 Apr 2020:Vol.

- 12, Issue 537, eaax1798. (2020) (IF19.319)
20. Zhang LQ, Xu W, Gao XL, et al. lncRNA Sensing of a Viral Suppressor of RNAi Activates Non-canonical Innate Immune Signaling in *Drosophila*. **Cell Host & Microbe**, Volume 27, ISSUE 1, P115-128.e8, January 08, 2020. (2020) (IF31.316)
21. Xing MC, Zhang FJ, Liao HW, et al. Replication Stress Induces ATR/CHK1-Dependent Nonrandom Segregation of Damaged Chromosomes. **Molecular Cell**, Volume 78, ISSUE 4, P714-724.e5, May 21, 2020. (2020) (IF19.328)
22. Zhao YQ, et al. Surface-anchored framework for generating RhD-epitope stealth red blood cells. **Science Advances**, 2020; DOI: 10.1126/sciadv.aaw9679. (2020) (IF14.957)
23. Chen YW, Shen WL, Tang CQ, et al. Targeted pathological collagen delivery of sustained-release rapamycin to prevent heterotopic ossification. **Science Advances** 29 Apr 2020:Vol. 6, no. 18, eaay9526. (2020) (IF14.957)
24. Jin C, He JX, Zou JM, et al. Phosphorylated lipid-conjugated oligonucleotide selectively anchors on cell membranes with high alkaline phosphatase expression. **Nature Communications**, volume 10, Article number: 2704 (2019) (IF17.694)
25. You J, et al., Targeting photodynamic and photothermal therapy to the endoplasmic reticulum enhances immunogenic cancer cell death. **Nature Communications**, volume 10, Article number: 3349 (2019) (17.694)
26. Sun X, Liu C, Lu X, et al. Unique binding pattern for a lineage of human antibodies with broad reactivity against influenza A virus. **Nature Communications**. Volume 13, Article number: 2378 (2022) (IF17.694)
27. Sun X, Yi C, Zhu Y, et al. Neutralization mechanism of a human antibody with pan-coronavirus reactivity including SARS-CoV-2. **Nature Microbiology**. Volume 7, pages1063–1074 (2022) (IF30.964)
28. Si L, Shen Q, Li J, et al. Generation of a live attenuated influenza A vaccine by proteolysis targeting. **Nature Biotechnology**. Volume 40, Pages1370–1377 (2022) (IF68.164)
29. Wang W, Zheng H, Jiang J, et al. Engineering micro oxygen factories to slow tumour progression via hyperoxic microenvironments. **Nature Communications**. Volume 13, Article number: 4495 (2022) (IF17.694)
30. Xiong X, Yang C, He W, et al. Sirtuin 6 maintains epithelial STAT6 activity to support intestinal tuft cell development and type 2 immunity. **Nature Communications**. Volume 13, Article number: 5192 (2022) (IF17.694)
31. Yan Y, Niu Z, Sun C, et al. Hepatic thyroid hormone signalling modulates glucose homeostasis through the regulation of GLP-1 production via bile acid-mediated FXR antagonism. **Nature Communications**. Volume 13, Article number: 6408 (2022) (IF17.694)
32. Qi Y, Ding L, Zhang S, et al. A plant immune protein enables broad antitumor response by rescuing microRNA deficiency. **Cell**. Volume 185, Pages1888-1904 (2022) (IF66.85)
33. Liu H, Wu L, Liu B, et al. Two pan-SARS-CoV-2 nanobodies and their multivalent derivatives effectively prevent Omicron infections in mice. **Cell Reports Medicine**. Volume 4, ISSUE 2, 100918, (2023) (IF16.988)
34. Wang YQ, Wu DH, Wei D, et al. TEAD4 is a master regulator of high-risk nasopharyngeal carcinoma. **Science Advances**. Volume 9, Issue 1 (2022) (IF14.957)

蛋白检测>免疫沉淀

1. Wang Y, Zhang L, Wu GR, Zhou Q, Yue H, Rao LZ, Yuan T, Mo B, Wang FX, Chen LM, Sun F, Song J, Xiong F, Zhang S, Yu Q, Yang P, Xu Y, Zhao J, Zhang H, Xiong W, Wang CY. MBD2 serves as a viable target against pulmonary fibrosis by inhibiting macrophage M2 program. **Science Advances** 2021 Jan 1;7(1):eabb6075. doi: 10.1126/sciadv.abb6075. PMID: 33277324; PMCID: PMC7775789. (2021) (IF14.957)
2. Liu D, Zhang P, Zhou JJ et al., TNFAIP3 Interacting Protein 3 Overexpression Suppresses Nonalcoholic Steatohepatitis by Blocking TAK1 Activation. **Cell Metabolism**, Volume 31, ISSUE 4, P726-740.e8, April 07, 2020. (2020) (IF31.373)
3. Zheng J, Li HL, Tian N, et al. Interneuron Accumulation of Phosphorylated tau Impairs Adult Hippocampal Neurogenesis by Suppressing GABAergic Transmission. **Cell Stem Cell**, 2020;26(3):462-466. doi:10.1016/j.stem. (2020) (IF25.269)
4. Ge WJ, et al. iASPP Is an Antioxidative Factor and Drives Cancer Growth and Drug Resistance by Competing with Nrf2 for Keap1 Binding. **Cancer Cell**, Volume 32, ISSUE 5, P561-573.e6, November 13, 2017 (2017) (IF38.585)
5. Cao Z., et al. Melatonin alleviates cadmium-induced liver injury by inhibiting the **TXNIP-NLRP3 inflammasome**. *J Pineal Res*, 2017 Apr;62(3). (2017) (IF12.081)
6. Niu ZY, et al, Caspase-1 cleaves PPAR γ for potentiating the pro-tumor action of TAMs. **Nature Communications**, Volume 8, Article number: 766 (2017) (IF17.694)
7. Yao YF, et al. A non-canonical pathway regulates ER stress signaling and blocks ER stress-induced apoptosis and heart failure. **Nature**

- Communications**, Volume 8, Article number: 133 (2017) (IF17.694)
8. Wang Y, et al. Saturated palmitic acid induces myocardial inflammatory injuries through direct binding to TLR4 accessory protein MD2. **Nature Communications**, Volume 8, Article number: 13997 (2017) (IF17.694)
 9. Huang C, Wu SR, Ji H, Yan XS, et al. Identification of XBP1-u as a novel regulator of the MDM2/p53 axis using an shRNA library. **Science Advances**, 18 Oct 2017:Vol. 3, no. 10, e1701383 (2017) (IF17.694)
 10. Tang S, Cao Y, Cai Z, et al. The lncRNA PILA promotes NF- κ B signaling in osteoarthritis by stimulating the activity of the protein arginine methyltransferase PRMT1. **Science Signaling**. Volume 15. Article number: 6265. (2022) (IF9.517)
 11. Zhao J, Wang J, Pang X, et al. An anti-influenza A virus microbial metabolite acts by degrading viral endonuclease PA. **Nature Communications**. Volume 13, Article number: 2079 (2022) (IF17.694)
 12. Ning Z, Guo X, Liu X, et al. USP22 regulates lipidome accumulation by stabilizing PPAR γ in hepatocellular carcinoma. **Nature Communications**. Volume 13, Article number: 2187 (2022) (IF17.694)
 13. Liang Y, Zhu Z, Qiao S, et al. Migrating photon avalanche in different emitters at the nanoscale enables 46th-order optical nonlinearity. **Nature Nanotechnology**. Volume 17, pages524–530 (2022) (IF40.523)
 14. Wang Y, Zhao W, Bai S, et al. MRNIP condensates promote DNA double-strand break sensing and end resection. **Nature Communications**. Volume 13, Article number: 2638 (2022) (IF17.694)
 15. Shi P, Ren X, Meng J, et al. Mechanical instability generated by Myosin 19 contributes to mitochondria cristae architecture and OXPHOS. **Nature Communications**. Volume 13, Article number: 2673 (2022) (IF17.694)
 16. Huang T, Song J, Gao J, et al. Adipocyte-derived kynurenine promotes obesity and insulin resistance by activating the AhR/STAT3/IL-6 signaling. **Nature Communications**. Volume 13, Article number: 3489 (2022) (IF17.694)
 17. Sun X, Yuan Y, Chen Q, et al. Metabolic pathway assembly using docking domains from type I cis-AT polyketide synthases. **Nature Communications**. Volume 13, Article number: 5541 (2022) (IF17.694)
 18. Liu X, Li S, Zhang W, et al. PRG-1 prevents neonatal stimuli-induced persistent hyperalgesia and memory dysfunction via NSF/Glu/GluR2 signaling. **iScience**. Volume 25, ISSUE 9 (2022) (IF6.107)

蛋白检测>免疫染色

1. Li FZ, Sun QQ, Liu K, et al., OTUD5 cooperates with TRIM25 in transcriptional regulation and tumor progression via deubiquitination activity. **Nature Communications**, 11, 4184 (2020). (2020) (IF17.694)
2. He W, Xu JZ, Mu RY, et al., High-salt diet inhibits tumour growth in mice via regulating myeloid-derived suppressor cell differentiation. **Nature Communications**, Volume 11, Article number: 1732 (2020). (2020) (IF17.694)
3. Chi ZX, Chen S, Xu T, et al. Histone Deacetylase 3 Couples Mitochondria to Drive IL-1 β -Dependent Inflammation by Configuring Fatty Acid Oxidation. **Molecular Cell**, Volume 80, ISSUE 1, P43-58.E7, OCTOBER 01, 2020. (2020) (IF19.328)
4. Xue S, Gong R, He F, et al. Low-complexity domain of U1-70K modulates phase separation and aggregation through distinctive basic-acidic motifs. **Science Advances** 2019;5(11):eaax5349. Published 2019 Nov 6. doi:10.1126/sciadv.aax5349. (2020) (IF14.957)
5. Li Z, et al., Symbiotic cardiac pacemaker. **Nature Communications**, Volume 10, Article number: 1821(2019) (IF17.694)
6. Cao C., et al. Bidirectional juxtacrine ephrinB2/Ephs signaling promotes angiogenesis of ECs and maintains self-renewal of MSCs. **Biomaterials**, 2018 Jul;172:1-13. (2018) (IF15.304)
7. Shen S., et al, Folate-conjugated nanobubbles selectively target and kill cancer cells via ultrasound-triggered intracellular explosion. **Biomaterials**, 2018 Oct;181:293-306. (2018) (IF15.304)
8. Ren H, Zeng XZ, Zhao XX, A bioactivated in vivo assembly nanotechnology fabricated NIR probe for small pancreatic tumor intraoperative imaging. **Nature Communications**. Volume 13, Article number: 418 (2022) (IF17.694)
9. Gao H, Zhou L, Zhong Y, et al. Kindlin-2 haploinsufficiency protects against fatty liver by targeting Foxo1 in mice. **Nature Communications**. Volume 13, Article number: 1025 (2022) (IF17.694)
10. Xia X, Zhang Z, Zhu C, et al. Neutrophil extracellular traps promote metastasis in gastric cancer patients with postoperative abdominal infectious complications. **Nature Communications**. Volume 13, Article number: 1017 (2022) (IF17.694)
11. Cheng X, Chen R, Zhou T, et al. Leveraging the multivalent p53 peptide-MdmX interaction to guide the improvement of small molecule inhibitors. **Nature Communications**. Volume 13, Article number: 1087 (2022) (IF17.694)
12. Luo W, Yun D, Hu Y, et al. Acquiring new memories in neocortex of hippocampal-lesioned mice. **Nature Communications**. Volume 13, Article

蛋白产品引用文献摘选

- number: 1601 (2022) (IF17.694)
13. Dai L, Yao M, Fu Z, et al. Multifunctional metal-organic framework-based nanoreactor for starvation/oxidation improved indoleamine 2,3-dioxygenase-blockade tumor immunotherapy. **Nature Communications**. Volume 13, Article number: 2688 (2022) (IF 17.694)
 14. Ma Y, Zeng W, Ba Y, et al. A single-cell transcriptomic atlas characterizes the silk-producing organ in the silkworm. **Nature Communications**. Volume 13, Article number: 3316 (2022) (IF17.694)
 15. Liu R, Liu C, He X, et al. MicroRNA-21 promotes pancreatic β cell function through modulating glucose uptake. **Nature Communications**. Volume 13, Article number: 3545 (2022) (IF17.694)
 16. Bai X, Sui C, Liu F, et al. The protein arginine methyltransferase PRMT9 attenuates MAVS activation through arginine methylation. **Nature Communications**. Volume 13, Article number: 5016 (2022) (IF17.694)
 17. Cui H, Yi H, Bao H, et al. The SWI/SNF chromatin remodeling factor DPF3 regulates metastasis of ccRCC by modulating TGF- β signaling. **Nature Communications**. Volume 13, Article number: 4680 (2022) (IF17.694)
 18. Chen S, Zhu Y, Xu Q, et al. Photocatalytic glucose depletion and hydrogen generation for diabetic wound healing. **Nature Communications**. Volume 13, Article number: 5684 (2022) (IF17.694)
 19. Yu Y, Zhang Z, Dong X, et al. Pangenomic analysis of Chinese gastric cancer. **Nature Communications**. Volume 13, Article number: 5412 (2022) (IF17.694)
 20. Li Z, Wang B, Luo W, Xu Y, et al. Natural variation of codon repeats in COLD11 endows rice with chilling resilience. **Science Advance**. Volume 9, Issue 1 (2023) (14.957)

蛋白检测>ELISA

1. Wang K, Zheng BY, Zhang L, et al. Serotype specific epitopes identified by neutralizing antibodies underpin immunogenic differences in Enterovirus B. **Nature Communications**, Volume 11, Article number: 4419 (2020) (2020) (IF17.694)
2. Zhang Y, Xi X, Yu H, et al. Chemically modified <i>in-vitro</i>-transcribed mRNA encoding thrombopoietin stimulates thrombopoiesis in mice. **Molecular Therapy**. Volume 29, Pages657-671 (2022) (IF12.91)
3. Huang B, Tang T, Chen S, et al. Near-infrared-IIb emitting single-atom catalyst for imaging-guided therapy of blood-brain barrier breakdown after traumatic brain injury. **Nature Communications**. Volume 14, Article number: 197 (2023) (IF17.694)

蛋白表达与纯化>蛋白纯化

1. Qin Y, Chen W, Jiang G, Zhou L, Yang X, Li H, He X, Wang HL, Zhou YB, Huang S, Liu S. Interfering MSN-NONO complex-activated CREB signaling serves as a therapeutic strategy for triple-negative breast cancer. **Science Advances** 2020 Feb 19;6(8):eaaw9960. doi: 10.1126/sciadv.aaw9960. PMID: 32128390; PMCID: PMC7030932. (2020) (IF14.957)
2. Qin JS, Guo YT, Xue BX, et al., ER-mitochondria contacts promote mtDNA nucleoids active transportation via mitochondrial dynamic tubulation. **Nature Communications**, 11, 4471 (2020). (2020) (IF17.694)
3. Lin JJ, Chen K, Chen WF, et al., Paradoxical Mitophagy Regulation by PINK1 and TUFm. **Molecular Cell**, Volume 80, ISSUE 4, P607-620.E12, NOVEMBER 19, 2020. (2020) (IF19.328)
4. Wan N, Wang N, Yu S, et al. Cyclic immonium ion of lactyllysine reveals widespread lactylation in the human proteome. **Nature Methods**. Volume 19, pages854–864 (2022) (IF47.99)
5. Chen W, Luo H, Zeng L, et al. A suite of PCR-LwCas13a assays for detection and genotyping of *Treponema pallidum* in clinical samples. **Nature Communications**. Volume 13, Article number: 4671 (2022) (IF17.694)
6. Zhai X, Mao C, Shen Q, et al. Molecular insights into the distinct signaling duration for the peptide-induced PTH1R activation. **Nature Communications**. Volume 13, Article number: 6276 (2022) (IF17.694)
7. He LL, Liu Y, He H., et al., A molecular framework underlying the compound leaf pattern of *Medicago truncatula*. **Nature Plants**, volume 6, pages 511–521(2020) (IF13.256)

酶及活性检测>酶活性检测

1. Tai H., et al. Autophagy impairment with lysosomal and mitochondrial dysfunction is an important characteristic of oxidative stress-induced senescence. **Autophagy**, 2017 Jan 2;13(1):99-113. (2017) (IF9.770)
2. Zhao TB, et al. USP8 maintains embryonic stem cell stemness via deubiquitination of EPG5. **Nature Communications**, volume 10, Article

- number: 1465 (2019) **(IF12.121)**
3. Tan WH, et al. Phosphorylated lipid-conjugated oligonucleotide selectively anchors on cell membranes with high alkaline phosphatase expression. **Nature Communications**, volume 10, Article number: 2704 (2019) **(IF12.121)**
 4. Liu J, Guan D, Dong MG, et al. UFMylation maintains tumour suppressor p53 stability by antagonizing its ubiquitination. **Nature Cell Biology**, Volume 22, Pages1056–1063(2020). (2020) **(IF28.213)**
 5. Wang QY, Wang YP, Ding JJ, et al. A bioorthogonal system reveals antitumour immune function of pyroptosis. **Nature**, Volume 579, pages421–426(2020). (2020) **(IF69.504)**
 6. Wang J, Ge J, Wang Y, et al. EBV miRNAs BART11 and BART17-3p promote immune escape through the enhancer-mediated transcription of PD-L1. **Nature Communications**. Volume 13, Article number: 866 (2022) **(IF17.694)**
 7. Liu C, Xiong Q, Li Q, et al. CHD7 regulates bone-fat balance by suppressing PPAR- γ signaling. **Nature Communications**. Volume 13, Article number: 1989 (2022) **(IF17.694)**

一抗

1. Li ZY, Wang C, Wang ZY et al. Allele-selective lowering of mutant HTT protein by HTT-LC3 linker compounds. **Nature**. Volume 575, Pages 203–209(2019) **(IF69.504)**
2. Yan L., et al. Maternal Huluwa dictates the embryonic body axis through β -catenin in vertebrates. **Science**,23 Nov 2018:Vol. 362, Issue 6417, eaat1045. (2018) **(IF63.714)**
3. Niu L, Lou F, Sun Y,et al. A micropeptide encoded by lncRNA MIR155HG suppresses autoimmune inflammation via modulating antigen presentation. **Science Advances** 2020 May 20;6(21):eaaz2059. doi: 10.1126/sciadv.aaz2059. PMID: 32671205; PMCID: PMC7314557. (2020) **(IF14.957)**
4. Chen Y, Shen W, Tang C, et al. Targeted pathological collagen delivery of sustained-release rapamycin to prevent heterotopic ossification. **Science Advances** 2020 Apr 29;6(18):eaay9526. doi: 10.1126/sciadv.aay9526. PMID: 32494667; PMCID: PMC7239699. (2020) **(IF14.957)**
5. Ke, M., Yuan, X, He, A, et al. Spatiotemporal profiling of cytosolic signaling complexes in living cells by selective proximity proteomics. **Nature Communications** 12, 71 (2021). (2021) **(IF17.694)**
6. Wang, Y, Tang, B, Long L, et al. Improvement of obesity-associated disorders by a small-molecule drug targeting mitochondria of adipose tissue macrophages. **Nature Communications** 12, 102 (2021). (2021) **(IF17.694)**
7. Zhao C., Liu H, Xiao T, et al. CRISPR screening of porcine sgRNA library identifies host factors associated with Japanese encephalitis virus replication. **Nature Communications** 11, 5178 (2020). **(IF17.694)**
8. Huang YH, Zhang H, et al. JMJD3 acts in tandem with KLF4 to facilitate reprogramming to pluripotency. **Nature Communications**, Volume 11, Article number: 5061 (2020). (2020) **(IF17.694)**
9. Huang YH, Wang SB, Zhou J, et al. IRF1-mediated downregulation of PGC1 α contributes to cardiorenal syndrome type 4. **Nature Communications**, Volume 11, Article number: 4664 (2020). (2020) **(IF17.694)**
10. Tang DJ, Du XY, Shi Q, et al. A SAM-I riboswitch with the ability to sense and respond to uncharged initiator tRNA. **Nature Communications**, Volume 11, Article number: 2794 (2020). (2020) **(IF17.694)**
11. Lin JJ, Chen K, Chen WF, et al. Paradoxical Mitophagy Regulation by PINK1 and TUFm. **Molecular Cell**, Volume 80, ISSUE 4, P607-620.E12, NOVEMBER 19, 2020. (2020) **(IF19.328)**
12. Yang S, Zhao YY, Yu JJ et al. Sugar Alcohols of Polyol Pathway Serve as Alarmins to Mediate Local-Systemic Innate Immune Communication in Drosophila. **Cell Host & Microbe**, Volume 26, Issue 2, 14 August 2019, Pages 240-251.e8. (2020) **(IF31.316)**
13. Ma SS, Shen QYa, Zhao LH et al. Molecular Basis for Hormone Recognition and Activation of Corticotropin-Releasing Factor Receptors. **Molecular Cell**, Volume 77, ISSUE 3, P669-680.e4, February 06, 2020. (2020) **(IF19.328)**
14. Xing MC, Zhang FJ, Liao HW et al. Replication Stress Induces ATR/CHK1-Dependent Nonrandom Segregation of Damaged Chromosomes. **Molecular Cell**, Volume 78, ISSUE 4, P714-724.e5, May 21, 2020. (2020) **(IF19.328)**
15. Ma R, Ma L, Weng W, et al. DUSP6 SUMOylation protects cells from oxidative damage via direct regulation of Drp1 dephosphorylation. **Science Advances** 2020;6(13):eaaz0361. Published 2020 Mar 25. doi:10.1126/sciadv.aaz0361. (2020) **(IF14.957)**
16. Huang FJ, Zheng XJ, et al. Theabrownin from Pu-erh tea attenuates hypercholesterolemia via modulation of gut microbiota and bile acid metabolism. **Nature Communications** Volume 10, Article number: 4971 (2019) **(IF17.694)**
17. Zhou J, Huang S, Wang ZY, et al. Targeting EZH2 histone methyltransferase activity alleviates experimental intestinal inflammation. **Nature**

- Communications**. Volume 10, Article number: 2427 (2019) (IF12.121)
18. 8. Hao, Y, Fan, X, Shi, Y, et al. Next-generation unnatural monosaccharides reveal that ESRRB O-GlcNAcylation regulates pluripotency of mouse embryonic stem cells. **Nature Communications**. 10, 4065 (2019) (IF17.694)
19. Phillip J Hsu, et al. Ythdc2 is an N6-methyladenosine binding protein that regulates mammalian spermatogenesis. **Cell Research**, Volume 27, pages 1115–1127 (2017) (IF46.297)
20. Shi CM., et al., Cordycepin prevents radiation ulcer by inhibiting cell senescence via NRF2 and AMPK in rodents. **Nature Communications**, Volume 10, Article number: 2538 (2019) (IF12.121)
21. Bo Zhu, et al. Targeting EZH2 histone methyltransferase activity alleviates experimental intestinal inflammation. **Nature Communications**, Volume 10, Article number: 2427 (2019) (IF17.694)
22. Zheng QY, et al. Oraniod-derived C-Kit/SSEA4-human retinal progenitor cells promote a protective retinal microenvironment during transplantation in rodents. **Nature Communications**. Volume 10, Article number: 1205 (2019) (IF17.694)
23. Xu XD, et al. A viral expression factor behaves as a prion. **Nature Communications**. Volume 10, Article number: 359 (2019) (IF17.694)
24. Xiao FH, Yu Q, Deng ZL, et al. ETS1 acts as a regulator of human healthy aging via decreasing ribosomal activity. **Science Advances**. Volume 8. Article number: 2017. (2022) (IF14.957)
25. Jiang H, Bian W, Sui Y, et al. FBXO42 facilitates Notch signaling activation and global chromatin relaxation by promoting K63-linked polyubiquitination of RBPJ. **Science advances**. Volume 8. Article number: 4831. (2022) (IF14.957)
26. Wan L, Gao Q, Deng Y, et al. GP73 is a glucogenic hormone contributing to SARS-CoV-2-induced hyperglycemia. **Nature Metabolism**. Volume 4, Article number: 29-43 (2022) (IF19.865)
27. Qin X, Zhao Y, Zhang T, et al. TrkB agonist antibody ameliorates fertility deficits in aged and cyclophosphamide-induced premature ovarian failure model mice. **Nature Communications**. Volume 13, Article number: 914 (2022) (IF17.694)
28. Ma X, Zhu X, Xiao Y, et al. Restoring nuclear entry of Sirtuin 2 in oligodendrocyte progenitor cells promotes remyelination during ageing. **Nature Communications**. Volume 13, Article number: 1225 (2022) (IF17.694)
29. Yuan K, Li Z, Kuang W, et al. Targeting dual-specificity tyrosine phosphorylation-regulated kinase 2 with a highly selective inhibitor for the treatment of prostate cancer. **Nature Communications**. Volume 13, Article number: 2903 (2022) (IF17.694)
30. Wan L, Gao Q, Deng Y, et al. GP73 is a glucogenic hormone contributing to SARS-CoV-2-induced hyperglycemia. **Nature Metabolism**. Volume 4, pages 29–43 (2022) (IF19.865)
31. Zhuang X, Wang Z, Fan J, et al. Structure-guided and phage-assisted evolution of a therapeutic anti-EGFR antibody to reverse acquired resistance. **Nature Communications**. Volume 13, Article number: 4431 (2022) (IF17.694)
32. Chen N, Liu Y, Fan Y, et al. A single gene integrates sex and hormone regulators into sexual attractiveness. **Nature Ecology & Evolution**. Volume 6, Pages 1180–1190 (2022) (IF19.1)
33. Fu H, Wang T, Kong X, et al. A Nodal enhanced micropeptide NEMEP regulates glucose uptake during mesendoderm differentiation of embryonic stem cells. **Nature Communications**. Volume 13, Article number: 3984 (2022) (IF17.694)
34. Zhang G, Cong Y, Liu F, et al. A nanomaterial targeting the spike protein captures SARS-CoV-2 variants and promotes viral elimination. **Nature Nanotechnology** Volume 17, Pages 993–1003 (2022) (IF40.523)
35. Bao W, Xing H, Cao S, et al. Neutrophils restrain sepsis associated coagulopathy via extracellular vesicles carrying superoxide dismutase 2 in a murine model of lipopolysaccharide induced sepsis. **Nature Communications**. Volume 13, Article number: 4583 (2022) (IF17.694)
36. Xu Y, Zhou Z, Kang X, et al. Mettl3-mediated mRNA m6A modification controls postnatal liver development by modulating the transcription factor Hnf4a. **Nature Communications**. Volume 13, Article number: 4555 (2022) (IF17.694)
37. Zhang K, Huang M, Li A, et al. DIAPH3 condensates formed by liquid-liquid phase separation act as a regulatory hub for stress-induced actin cytoskeleton remodeling. **Cell Reports**. Volume 42, ISSUE 1, 111986, (2023) (IF9.995)

二抗

1. Lou FZ, Sun Y, Xu ZY, et al. Excessive Polyamine Generation in Keratinocytes Promotes Self-RNA Sensing by Dendritic Cells in Psoriasis. **Immunity**, Volume 53, ISSUE 1, P204-216.E10, JULY 14, 2020. (2020) (IF43.474)
2. Liu D, Shu G, Jin F, et al. ROS-responsive chitosan-SS31 prodrug for AKI therapy via rapid distribution in the kidney and long-term retention in the renal tubule. **Science Advances**. 2020 Oct 9;6(41):eabb7422. doi: 10.1126/sciadv.abb7422. PMID: 33036968; PMCID: PMC7546709. (2020) (IF14.957)

3. Wang Z, Zheng Y, Wang F, et al. Mfsd2a and Spns2 are essential for sphingosine-1-phosphate transport in the formation and maintenance of the blood-brain barrier. **Science Advances** 2020 May 29;6(22):eaay8627. doi: 10.1126/sciadv.aay8627. PMID: 32523984; PMCID: PMC7259944. (2020) **(IF14.957)**
4. Ke, M, Yuan, X, He, A, et al. Spatiotemporal profiling of cytosolic signaling complexes in living cells by selective proximity proteomics. **Nature Communications** 12, 71 (2021). (2021) **(17.694)**
5. Wang Y, Tang B, Long L, et al. Improvement of obesity-associated disorders by a small-molecule drug targeting mitochondria of adipose tissue macrophages. **Nature Communications** 12, 102 (2021). **(IF17.694)**
6. Wang Y, Deng P, Liu Y, et al. Alpha-ketoglutarate ameliorates age-related osteoporosis via regulating histone methylations. **Nature Communications**, 11, 5596 (2020). (2020) **(IF17.694)**
7. Zhao C, Liu H, Xiao T, et al. CRISPR screening of porcine sgRNA library identifies host factors associated with Japanese encephalitis virus replication. **Nature Communications** 11, 5178 (2020). <https://doi.org/10.1038/s41467-020-18936-1>. (2020) **(IF17.694)**
8. Huang YH, Wang SB, Zhou J, et al. IRF1-mediated downregulation of PGC1 α contributes to cardiorenal syndrome type 4. **Nature Communications**, Volume 11, Article number: 4664 (2020). (2020) **(IF17.694)**
9. Wang ZF, Wang F, Zhong JJ, et al. Using apelin-based synthetic Notch receptors to detect angiogenesis and treat solid tumors. **Nature Communications**, 11, 2163 (2020). (2020) **(IF17.694)**
10. Wang ZF, Wang Fan, Zhong JJ, et al. Using apelin-based synthetic Notch receptors to detect angiogenesis and treat solid tumors. **Nature Communications**, Volume 11, Article number: 2163 (2020). **(IF17.694)**
11. Niu YY, Yang LG, Gao T, et al. A Type I-F Anti-CRISPR Protein Inhibits the CRISPR-Cas Surveillance Complex by ADP-Ribosylation. **Molecular Cell**, Volume 80, ISSUE 3, P512-524.E5, NOVEMBER 05, 2020. (2020) **(IF19.328)**
12. Zhang LQ, Xu W, Gao XL et al. lncRNA Sensing of a Viral Suppressor of RNAi Activates Non-canonical Innate Immune Signaling in Drosophila. **Cell Host & Microbe**, Volume 27, ISSUE 1, P115-128.e8, January 08, 2020. (2020) **(IF31.316)**
13. Wang ZF, Wang F, Zhong JJ, et al. Using apelin-based synthetic Notch receptors to detect angiogenesis and treat solid tumors. **Nature Communications**, Volume 11, Article number: 2163 (2020) **(IF17.694)**
14. Tang DJ, Du XY, Shi Q, et al. A SAM-I riboswitch with the ability to sense and respond to uncharged initiator tRNA. **Nature Communications**. Volume 11, Article number: 2794 (2020) **(IF17.694)**
15. Ma SS, Shen QY, Zhao LH et al. Molecular Basis for Hormone Recognition and Activation of Corticotropin-Releasing Factor Receptors. **Molecular Cell**. Volume 77, ISSUE 3, P669-680.e4, February 06, 2020. (2020) **(IF19.328)**
16. Wang ZF, Zheng YT, Wang F, et al. Mfsd2a and Spns2 are essential for sphingosine-1-phosphate transport in the formation and maintenance of the blood-brain barrier. **Science Advances**, Science Advances 6(22):eaay8627. (2020) **(IF14.957)**
17. Niu LM, Lou FZ, Sun Y, et al. A micropeptide encoded by lncRNA MIR155HG suppresses autoimmune inflammation via modulating antigen presentation. **Science Advances** 20 May 2020:Vol. 6, no. 21, eaaz2059. (2020) **(IF14.957)**
18. Li YP, et al. Bioinspired lipoproteins-mediated photothermia remodels tumor stroma to improve cancer cell accessibility of second nanoparticles. **Nature Communications**, Volume 10, Article number: 3322 (2019) **(IF17.694)**
19. Zhang XZ, et al. Cytomembrane nanovaccines show therapeutic effects by mimicking tumor cells and antigen presenting cells. **Nature Communications**, Volume 10, Article number: 3199 (2019) **(17.694)**
20. Shi CM, et al. Cordycepin prevents radiation ulcer by inhibiting cell senescence via NRF2 and AMPK in rodents. **Nature Communications**, Volume 10, Article number: 2538 (2019) **(IF17.694)**
21. Zhu B, et al. Targeting EZH2 histone methyltransferase activity alleviates experimental intestinal inflammation. **Nature Communications**, Volume 10, Article number: 2427 (2019) **(IF17.694)**
22. Zhou J, Huang S, Wang ZY, et al. Targeting EZH2 histone methyltransferase activity alleviates experimental intestinal inflammation. **Nature Communications** Volume 10, Article number: 2427 (2019) **(IF17.694)**
23. Yong T, Zhang X, Bie N, et al. Tumor exosome-based nanoparticles are efficient drug carriers for chemotherapy. **Nature Communications** 10, 3838 (2019) **(IF17.694)**
24. Tan T, Hu H, Wang H, et al. Bioinspired lipoproteins-mediated photothermia remodels tumor stroma to improve cancer cell accessibility of second nanoparticles. **Nature Communications**. 10, 3322 (2019) **(IF17.694)**
25. Lin GN, Song W, Wang W, et al. De novo mutations identified by whole-genome sequencing implicate chromatin modifications in obsessive-compulsive disorder. **Science Advances** Volume 8, Article number: 6180 (2022) **(IF14.957)**

26. Lei Y, Wang Y, Shen J, et al. Injectable hydrogel microspheres with self-renewable hydration layers alleviate osteoarthritis. **Science Advances** Volume 8, Article number: 6449 (2022) (IF14.957)
27. Xue S, Zhou F, Zhao T, et al. Phase separation on cell surface facilitates bFGF signal transduction with heparan sulphate. **Nature Communications**. Volume 13, Article number: 1112 (2022) (IF17.694)
28. Liu Y, Teng L, Lyu Y, et al. Ratiometric afterglow luminescent nanoplatform enables reliable quantification and molecular imaging. **Nature Communications** Volume 13, Article number: 2216 (2022) (IF17.694)
29. Mo W, Zhang J, Zhang L, Arabidopsis cryptochrome 2 forms photobodies with TCP22 under blue light and regulates the circadian clock. **Nature Communications**. Volume 13, Article number: 2631 (2022) (IF17.694)
30. Zhu F, Zheng H, Chen S, et al. Malaria oocysts require circumsporozoite protein to evade mosquito immunity. **Nature Communications**. Volume 13, Article number: 3208 (2022) (IF17.694)
31. He P, Liu B, Gao X, et al. SARS-CoV-2 Delta and Omicron variants evade population antibody response by mutations in a single spike epitope. **Nature Microbiology**. Volume 7, Pages1635–1649 (2022) (IF30.964)
32. Yuan Y, Wang C, Zhuang X, et al. PIM1 promotes hepatic conversion by suppressing reprogramming-induced ferroptosis and cell cycle arrest. **Nature Communications**. Volume 13, Article number: 5237 (2022) (IF17.694)

重组蛋白>细胞因子

1. Zheng DW, Gao F, Cheng Q, et al. A vaccine-based nanosystem for initiating innate immunity and improving tumor immunotherapy. **Nature Communications**. Volume 11, Article number: 1985 (2020). (2020) (IF17.694)
2. Liu W, Zou M, Liu T, et al. Cytomembrane nanovaccines show therapeutic effects by mimicking tumor cells and antigen presenting cells. **Nature Communications**. 10, 3199 (2019). (IF17.694)
3. Zheng DW, Gao F, Cheng Q, et al. A vaccine-based nanosystem for initiating innate immunity and improving tumor immunotherapy. **Nature Communications**. Volume 11, Article number: 1985 (2020) (IF17.694)